

184-1
1980

ISSN 0135-281X
საქართველოს სსრ მეცნიერებათა აკადემიის მაცნე
ИЗВЕСТИЯ АКАДЕМИИ НАУК ГРУЗИНСКОЙ ССР
PROCEEDINGS OF THE ACADEMY OF SCIENCES
OF THE GEORGIAN SSR

ЭПАПЛЬ
СЕРИЯ
ХИМИЧЕСКАЯ

58

1980 N 1 • თბილისი - TBILISI ■ 8мнн
• ТОМ VOL. 6

საქართველოს ხელმისაწვდომობრივი სამსახურის მინისტრის მიერ გამოცემის
ИЗВЕСТИЯ АКАДЕМИИ НАУК ГРУЗИНСКОЙ ССР



გეობის ჟურნალი СЕРИЯ ХИМИЧЕСКАЯ

ტომი 6, № 1
Том 6, № 1

თერნალი დაარსდა 1975 წელს
Журнал основан в 1975 году

გამაცემა „მეცნიერება“ თაღილის
ИЗДАТЕЛЬСТВО „МЕЦНИЕРЕБА“ ТБИЛИСИ 1980

რედაქციის მინისტრი:

380060, თბილისი-60, კუტურული ქ. 19, ოთახი 16.
ტელ. 37-93-82

Адрес редакции:

380060, Тбилиси-60, ул. Кутузова, 19, комната 16.
тел. 37-93-82

Корректор М. Брегвадзе

Сдано в набор 4.1.1980; подписано к печати 21.III.1980; формат
бумаги 70×108^{1/16}; бумага № 1; печатных л. 8.4; уч.-изд. л. 4.7;
УЭ 09063 ; тираж 1300 экз.; заказ 52;

цена 70 коп.

გამოიცემლობა „მდგრადი კულტურის“ თბილისი, 380060, კუტურული ქ., 19
Издательство «Мецнериба», Тбилиси, 380060, ул. Кутузова, 19

საქ. სსრ მეცნ. იუდემის სტამბა, თბილისი, 380060, კუტურული ქ., 19
Типография АН Груз. ССР, Тбилиси, 380060, ул. Кутузова, 19

სარედაქციო კოლეგია

რ. აგლაძე, ა. ავალიანი, თ. ანდრონიკაშვილი (რედაქტორის მოადგილე), ქ. არტ-
ზებე, ფ. პროუჩეკი (სწავლული მდივანი), ფ. თავაძე, ნ. ლამდია, ლ. შელიქაძე,
ნ. ფირცხალავა, ე. ქემერტელიძე, ქ. ჭუთათველაძე, გ. ციციშვილი (რედაქტორი),
პ. ცისკარიშვილი, ქ. ჭავარიძე (რედაქტორის მოადგილე).

პასუხისმგებელი მდივანი ვ. შუბლაძე

РЕДАКЦИОННАЯ КОЛЛЕГИЯ

Р. И. Агладзе, А. Ш. Авалиани, Т. Г. Андronikashvili (зам. редактора), Х. И. Арешидзе, Ф. И. Броучек (ученый секретарь), К. Г. Джапаридзе (зам. редактора), Э. П. Кемертелидзе, К. С. Кутателадзе, Н. А. Ландия, Л. Д. Меликадзе, Н. И. Пирцхалава, Ф. Н. Тавадзе, Г. В. Цицишвили (редактор), П. Д. Чискаришвили.

Ответственный секретарь В. В. Шубладзе

EDITORIAL BOARD

R. I. Agladze, A. Sh. Avaliani, T. G. Andronikashvili (Associate Editor)
Kh. I. Areshidze, F. I. Brouchek (Scientific Secretary), K. G. Japaridze
(Associate Editor), E. P. Kemertelidze, K. S. Kutateladze, N. A. Landia,
I. D. Melikadze, N. I. Pirtskhalava, F. N. Tavadze, G. V. Tsitsishvili
(Editor), P. D. Tsiskarishvili.

Executive Secretary V. V. Shubladze

ფურნალი გამოდის 3 თვეში ერთხელ
Журнал выходит раз в 3 месяца

୪୦୬୧୯୮୦

არაორგანული და ადალიტური ქიმია

და ვითაშვილი, მოღვაწე გ. ერბიშვილისა და სპილენძის ოქსალატების ერთ-
არისტოლი დალუკევის გამოცდება
ვ. და ლ. შ. ვ. დ. ბარაბაშვილის შ. ინკისტორის-N, N, N', N'-ტეტრამეთილ-4,4'-
დიამინდიფენილმეთანის („ორნოლის ლუსის“) სპექტროფარმეტორი გან-
სახურის მომზადებელის მანდარინის ნაყოფებში 12
ლ. ვ. რ. ე. ლ. ვ. ვ. ლ. ვ. ა. ს. ხ. ვ. ი. ა. ძ. რ. წ. ე. ნ. ე. რ. ე. ი. ნ. გ. ღ. ღ. ღ. ღ. ს.
რევილი მოლიბდინისა და ლინგრამის გასილისტოსათვის ბუნებრივ წარმოშენი 18
მ. ა. ნ. გ. ა. ლ. ა. კ. მ. გ. ვ. ა. დ. გ. ბ. ბ. ა. ზ. ე. რ. ა. შ. ვ. ი. ლ. ი. ქ. 1-2(3)-ინტენსიუმი- 24
-2,4-დიამინდიფენილლობა ცისკონიუმის თონების ურთიერთქმედების სპექ-
ტროფორმეტრული შესწავლა 31
კარასვე ვ. ვ. ჩ. ა. გ. ა. ვ. რ. ა. ლ. რ. ნ. ე. ნ. ნ. ტ. ბ. ბ. ბ. ნ. ე. ტ. ც. ვ. ვ. რ. მ.-
უმის ფანილიტრიფორმულურების ლინგრამა და სპექტროლურ-ლუმინესციუნ-
ციური თვისებების მოლიბდილში 36

ମନ୍ଦିର ପାତ୍ର

ଓଡ଼ିଆ କବିତା

ଶ୍ରୀମଦ୍ଭଗବତ

ბათქონი ვა. გიგილი შველი ც. სალარე ცვილი ც. გრძელი ლ-
აირის კატალიზორი განვითარებულისაგან 78
→ ვალინი ც. ცული ასოლი. მინდინი ც. ბარიუმის მიღება Al—Cu—Ba-ს
შენარჩობის დიტრილაციით 83

ଓনଟାଇପ ଫୋରମାଟାବି

ფრთხილების მიზანის გადაცემის შემთხვევაში	86
დოკუმენტის მიზანის გადაცემის შემთხვევაში	90
ბავარიუმის მიზანის გადაცემის შემთხვევაში	93
ინსტრუმენტის მიზანის გადაცემის შემთხვევაში	96

СОДЕРЖАНИЕ

НЕОРГАНИЧЕСКАЯ И АНАЛИТИЧЕСКАЯ ХИМИЯ

Давиташвили Е. Г., Модебадзе М. Е. Исследование совместного осаждения оксалатов эрбия и меди	7
Эдилашвили И. Л., Барабадзе Ш. Ш. Спектрофотометрический метод определения остаточного количества ингибитора N,N,N',N'-тетраметил-4,4'-динамиодифенилметана («Основания Арнольда») в мандариновых плодах, обработанных препаратом КЭИМ	14
Лаврелашвили Л. В., Васнев А. Н., Дзоценидзе И. Е., Крейнгольд С. У. Реакция для определения молибдена и вольфрама в природных водах	20
Манджгаладзе О. В., Мгеладзе Н. С., Базиерашвили К. Г. Спектрофотометрическое изучение взаимодействия ионов циркония с 1-(2-пиридиназо)-2,4-диоксibenзолом	27
Карасев В. Е., Чагулов В. С., Жалонкина Н. Ф., Чубинидзе Ц. А. Строение и спектрально-люминесцентные свойства фенонитрифторацетонатов европия в полистироле	33

ОРГАНИЧЕСКАЯ ХИМИЯ

Хананиашвили Л. М., Ахобадзе Д. Ш., Кипиани Л. Г. Взаимодействие а, ω -бис(аминометил)дiallyксилоксанов с у-глицидокситриметилентриэтиоксисиланом	38
Долидзе А. В., Баларджишвили Г. И., Арешидзе Х. И. Превращения 1,2-диметилцикlopентенов на синтетических цеолитах	44
Ногайдели А. И., Накайдзе Л. И., Чховребашвили В. С. Анионная полимеризация арил/диарил/этил- и винилорганоциклоксилоксанов	50

ФИЗИЧЕСКАЯ ХИМИЯ

Цицишвили Г. В., Банах О. С., Андronикашвили Т. Г. Термодинамические функции газов на цеолитах типа Y, содержащих максимальные количества катионов щелочных металлов и серебра	54
Цвениашвили В. Ш., Малашхия М. В., Стрелец Б. Х., Еремеева Г. И., Гаприанашвили В. Н. Полярографическое исследование соединений 1-метил-2,1,3-бензтина- и селенодиазолиев в водной среде	60
Гзиришвили Т. Г., Чочишвили К. М., Бибилури Л. Ш., Балахвицава Т. Н. Исследование льдообразующей активности модифицированной сажи	66
Микадзе О. И., Кешелава Н. П. Влияние гафния на жаростойкость хрома	71

ТЕХНОЛОГИЯ

Бахтадзе В. Ш., Гигилашвили Ц. З., Сагареишвили Ц. Ш., Гулуа Л. П. Катализическая очистка газов от цианистого водорода	75
Авалиани А. Ш., Шулая Л. Н., Миндин В. Ю. Получение бария дистилляцией сплава Al-Cu-Ba	80

КРАТКИЕ СООБЩЕНИЯ

Пхенидзе Т. А., Леселидзе Э. М., Григолова Б. Л., Кемертелидзе Э. П. Влияние условий сушки на содержание тиггенина в листьях <i>Yucca Gloriosa</i> L.	85
Долидзе А. В., Коданашвили М. В., Арешидзе Х. И. О получении 1,2-диметилцикlobутена	88
Бацарадзе Л. И., Сарджвеладзе Э. Э., Долидзе Л. Д. Влияние ионов калия из качества электролитической двуокиси марганца	91
Иосава И. Г., Джапаридзе К. К. Исследование смол бензольных экстрактов керогеновых термопластификаторов	94

CONTENTS

INORGANIC AND ANALYTICAL CHEMISTRY

Davitashvili E. G., Modebadze M. E. Studies of the joint sedimentation of erbium and copper oxalates	13
Edilashvili I. L., Barabadze Sh. Sh. Spectrophotometric method of determination of residual amount of the inhibitor N, N, N', N'-tetramethyl-4,4'-diamino diphenyl methane ("Arnold's base") in tangerines processed by the preparation KEIM	19
Lavrelashvili L. V., Vasnev A. N., Dzotsenidze M. E., Krein-gold S. U. Reaction for determination of molybdenum and tungsten in natural waters	25
Manjgaladze O. V., Mgelandze N. S., Bazierashvili K. G. Spectro-photometric studies of interaction between zirconium and 1-(2-pyridilazo)-2,4-dioxibenzeno	31
Karasev V. E., Chagulov V. S., Zhalonkina N. F., Chubinidze Ts. A. Structure and spectral-luminiscent properties of europium fenoiltrifluoroacetones in polystyrene	37

ORGANIC CHEMISTRY

Khananashvili L. M., Akhobadze D. Sh., Kipiani L. G. Interaction between α , ω -bis(amino-methyl)dialkyloxanes and γ -glycidoxetrimethylene triethoxysilane	43
Dolidze A. V., Balardzhishvili G. I., Arechidze Kh. I. Conversion of 1,2-dimethyl cyclopentenes on synthetic zeolites	49
Nogaideli A. I., Nakaidze L. I., Tskhovrebashvili V. S. The reactions of anionic polymerisation of the aryl/diaryl-/ethyl- and vinyl organo-cyclosiloxanes	52

PHYSICAL CHEMISTRY

Tsitsishvili G. V., Banakh O. S., Andronikashvili T. G. Thermodynamic functions of gases on type Y zeolites containing maximum quantities of cations of alkaline metals and silver	59
Tsveniashvili V. Sh., Malashkiya M. V., Strelets B. Kh., Ere-meeva G. I., Gaprindashvili V. N. Polarographic studies of salts 1-methyl-2, 1, 3-benzthia- and selenodiazols in aqueous medium	65
Gzirishvili T. G., Chochishvili K. M., Bibiluri L. Sh., Balakh-vantseva T. N. Studies of ice forming activity of modified soot	69
Mikadze O. I., Keshelava N. P. Effect of hafnium on chromium heat resistance	74

TECHNOLOGY

Bakhtadze V. Sh., Gigilashvili Ts. Z., Sagareishvili Ts. Sh., Gu-lua L. P. Catalytic purification of gases from cyan hydrogen	78
Avaliani A. Sh., Shulaya L. N., Mindin V. Ya. Barium obtaining by distillation of the alloy Al—Ca—Ba	83

SHORT COMMUNICATIONS

Pkheidze T. A., Leselidze E. M., Grigolava B. L., Kemerteli-dze E. P. Influence of the conditions of drying on the content of tigogenin in <i>yucca gloriosa</i> leaves	87
Dolidze A. V., Kodanashvili M. V., Arechidze Kh. I. On obtaining of 1,2-dimethylcyclobutene	90
Batsanadze L. I., Sardzhveladze E. E., Dolidze I. D. Influence of potassium ions on the quality of electrolytic manganese dioxide	93
Iosava I. G., Japaridze K. K. Studies of resins of benzene extracts of kerogen thermoplasticizers	96



НЕОРГАНИЧЕСКАЯ И АНАЛИТИЧЕСКАЯ ХИМИЯ

УДК 546.666.56:547.461.2

Е. Г. ДАВИТАШВИЛИ, М. Е. МОДЕБАДЗЕ

ИССЛЕДОВАНИЕ СОВМЕСТНОГО ОСАЖДЕНИЯ ОКСАЛАТОВ ЭРБИЯ И МЕДИ

16535

Сведения о взаимодействии компонентов в системах $\text{Er}(\text{NO}_3)_3 - \text{Cu}(\text{NO}_3)_2 - \text{M}_2\text{C}_2\text{O}_4 - \text{H}_2\text{O}$ (где $\text{M} = \text{H}^+$, K^+ , NH_4^+) в литературе отсутствуют.

Изучение этих систем является интересным как для разработки методов разделения эрбия и меди, так и для получения твердофазных продуктов, содержащих одновременно два металла, необходимых в ряде случаев для решения некоторых практических задач.

Настоящая работа посвящена исследованию совместного осаждения ионов Er^{3+} и Cu^{2+} с помощью $\text{M}_2\text{C}_2\text{O}_4$ в зависимости от концентрации и соотношений исходных компонентов в растворе, а также изучению состава и некоторых свойств образующихся твердых фаз.

В качестве исходных растворов использовались 0,1 М водные растворы $\text{Er}(\text{NO}_3)_3 \cdot 6\text{H}_2\text{O}$, $\text{Cu}(\text{NO}_3)_2 \cdot 6\text{H}_2\text{O}$ и 0,1 и 0,3 М $\text{M}_2\text{C}_2\text{O}_4$ (где $\text{M} = \text{H}^+$, K^+ , NH_4^+), приготовленные из соответствующих солей марки «х. ч.». Общий объем реакционной смеси поддерживали постоянным. Ионное отношение $\text{C}_2\text{O}_4^{2-}$ к сумме $(\text{Er}^{3+} + \text{Cu}^{2+}) = n$ варьировалось от 0,5 до 4,0.

Приготовление смесей исходных компонентов и изучение их взаимодействия с оксалат-ионом производилось по методике, описанной ранее [1]. Исследование систем проводилось методом остаточной концентрации.

Выделенные из систем совместно осажденные оксалаты эрбия и меди, высущенные при комнатной температуре до постоянной массы, подвергались полному химическому анализу и термографическому и термогравиметрическому исследованию.

Ввиду отсутствия систематических данных о взаимодействии ионов меди с $\text{M}_2\text{C}_2\text{O}_4$, были изучены системы $\text{Cu}(\text{NO}_3)_2 - \text{M}_2\text{C}_2\text{O}_4 - \text{H}_2\text{O}$ (где $\text{M} = \text{H}^+$, K^+ , NH_4^+). Предварительно была изучена также система $\text{Er}(\text{NO}_3)_3 - \text{H}_2\text{C}_2\text{O}_4 - \text{H}_2\text{O}$.

Результаты экспериментов приведены в табл. 1—3.

В табл. 1 приведены результаты взаимодействия $\text{Cu}(\text{NO}_3)_2$ с $\text{H}_2\text{C}_2\text{O}_4$, $\text{K}_2\text{C}_2\text{O}_4$ и $(\text{NH}_4)_2\text{C}_2\text{O}_4$. Как видно из полученных данных, при значениях n от 0,5 до 4,0 реакция протекает с образованием только одного соединения — среднего оксалата меди — CuC_2O_4 . Однако ход образования и растворимость оксалата меди в избытке соответствующих оксалатов различны. Так, в системе с $\text{H}_2\text{C}_2\text{O}_4$ количество выпавшего в осадок оксалата меди сначала хотя и возрастает, но не пропорционально прибавленному количеству $\text{H}_2\text{C}_2\text{O}_4$. Увеличение концентраций щавелевой кислоты до отношения $n=1$ не приводит к полному выделению меди из раствора. Растворимость оксалата меди в



эквивалентной точке составляет $1,2 \cdot 10^{-3}$ г-ион/л. Такая повышенная растворимость CuC_2O_4 обусловлена увеличением концентрации в растворе ионов водорода $[\text{Cu}(\text{NO}_3)_2 + \text{H}_2\text{C}_2\text{O}_4 - \text{CuC}_2\text{O}_4 + 2\text{HNO}_3]$. Полное осаждение меди из раствора достигается при повышении концентрации $\text{H}_2\text{C}_2\text{O}_4$ до $n = 1,25$. Дальнейшее увеличение n до 4 не изменяет состав осадка и не увеличивает его растворимость.

Таблица 1

Данные по растворимости в системе $\text{Cu}(\text{NO}_3)_2 - \text{M}_2\text{C}_2\text{O}_4 - \text{H}_2\text{O}$ при 25°C
(Постоянное содержание $\text{Cu}^{2+} - 0,02$ г-ион/л)

n	Найдено, Cu^{2+} в растворе, г-ион/л $\times 100$		n ₁	Найдено, Cu^{2+} в растворе, г-ион/л $\times 100$		n ₁	Найдено, Cu^{2+} в растворе, г-ион/л $\times 100$	
	M=H ⁺	M=K ⁺		M=N H ₄ ⁺	M=N H ₄ ⁺		M=N H ₄ ⁺	M=N H ₄ ⁺
0,50	1,19	1,0	1,05	1,0	1,02	1,0		
0,75	0,60	1,0	0,52	1,0	0,52	1,0		
1,00	0,12	1,0	0,10	1,0	не обн.	1,0		
1,25	не обн.	1,0	0,48	1,0	0,88	1,0		
1,50	"	1,0	0,84	1,0	0,94	1,0		
2,00	"	1,0	1,40	1,0	1,39	1,0		
4,00	"	1,0	2,00	1,0	2,00	1,0		

*) n_1 — ионные отношения в осадке $\frac{\text{C}_2\text{O}_4^{2-}}{\text{Cu}^{2+}}$

В системе с $\text{K}_2\text{C}_2\text{O}_4$ осаждение меди в виде CuC_2O_4 достигает максимума при $n = 1$, после чего в равновесных растворах появляется все увеличивающееся количество меди, что свидетельствует о повышении растворимости осадка в избытке $\text{K}_2\text{C}_2\text{O}_4$. При $n > 1$ наблюдается заметное растворение осадка, которое полностью завершается при $n = 4$.

Таблица 2

Данные по растворимости в системе $\text{Er}(\text{NO}_3)_3 - \text{H}_2\text{C}_2\text{O}_4 - \text{H}_2\text{O}$ при 25°C
(Постоянное содержание $\text{Er}^{3+} - 0,02$ г-ион/л)

n	Найдено, Er^{3+} в растворе г-ион/л $\times 100$	n ₁
0,50	1,37	1,5
0,75	1,02	1,5
1,00	0,70	1,5
1,50	не обнаруж.	1,5
4,00	"	1,5
10,00	"	1,5
20,00	"	1,5

вычислено, масс.%: $\text{Cu}^{2+} - 41,93$; $\text{C}_2\text{O}_4^{2-} - 58,07$.

Дериватограмма оксалата меди (рис. 1 а) характеризуется наличием на ДТА одного экзотермического эффекта с максимумом при 280°C , отвечающего окислению продуктов разложения оксалата с потерей 48,49 % массы и образованию CuO .

Результаты изучения системы $\text{Er}(\text{NO}_3)_3 - \text{H}_2\text{C}_2\text{O}_4 - \text{H}_2\text{O}$ представлены в табл. 2. Как следует из данных таблицы, полное осаждение эрбия происходит при $n = 1,5$ в виде среднего оксалата — $\text{Er}_2(\text{C}_2\text{O}_4)_3 \cdot x\text{H}_2\text{O}$. Дальнейшее увеличение концентрации $\text{H}_2\text{C}_2\text{O}_4$ до $n = 20$ не приводит к изменению состава соли и не влияет на его растворимость.



Химический анализ твердой фазы, выделенной при $n=1,5$, дал следующие результаты. Найдено, масс. %: Er^{3+} — 42,76; $\text{C}_2\text{O}_4^{2-}$ — 39,24; H_2O — 23,51. Для $\text{Er}_2(\text{C}_2\text{O}_4)_3 \cdot 10\text{H}_2\text{O}$ вычислено, масс. %: Er^{3+} — 42,97; $\text{C}_2\text{O}_4^{2-}$ — 33,91; H_2O — 23,12.

Дериватограмма $\text{Er}_2(\text{C}_2\text{O}_4)_3 \cdot 10\text{H}_2\text{O}$ (рис. 1 б) показала, что легиратация соли протекает в три стадии в интервале температур 30—90°C, 20—140°C и 280—360°C, при которых происходит удаление 6 (13,84%), 2 (4,61%) и 2 (4,61%) молекул воды соответственно. Как видно из ТГ, удаление последних двух молекул воды происходит при более высокой температуре и совпадает с началом процесса разложения оксалата, что, очевидно, вызвано разными связями гидратной воды с молекулой среднего оксалата эрбия. Экзотермические эффекты с максимумами при 420 и 580°C являются результатом окисления продуктов разложения оксалата. При $\sim 960^\circ\text{C}$ происходит окончательное разложение окси-карбонатных соединений и образование Er_2O_3 . Потеря при этом по кривой ТГ составляет 50,77%, а для Er_2O_3 теоретически вычислено 50,88%.

Таблица 3

Данные по растворимости в системах
 $\text{Er}(\text{NO}_3)_3 - \text{Cu}(\text{NO}_3)_2 - M_2\text{C}_2\text{O}_4 - \text{H}_2\text{O}$ при 25°C

$n = \frac{\text{C}_2\text{O}_4^{2-}}{\text{Er}^{3+} + \text{Cu}^{2+}}$	Найдено в растворе г — ион/л $\times 100$		Состав твердой фазы
	Er^{3+}	Cu^{2+}	
Система $\text{Er}(\text{NO}_3)_3 - \text{Cu}(\text{NO}_3)_2 - \text{H}_2\text{C}_2\text{O}_4 - \text{H}_2\text{O}$			
0,50	0,40	1,00	{ $\text{Er}_2(\text{C}_2\text{O}_4)_3 \cdot x\text{H}_2\text{O}$
0,75	0,21	1,00	
1,00	0,12	0,44	$\text{Er}_2(\text{C}_2\text{O}_4)_3 \cdot m \text{CuC}_2\text{O}_4 \cdot x\text{H}_2\text{O}$ ($m < 1$)
1,25	не обн.	не обн.	
2,00	"	"	{ $\text{ErCu}(\text{C}_2\text{O}_4)_{2,5} \cdot x\text{H}_2\text{O}$
4,00	"	"	
Система $\text{Er}(\text{NO}_3)_3 - \text{Cu}(\text{NO}_3)_2 - \text{K}_2\text{C}_2\text{O}_4 - \text{H}_2\text{O}$			
0,50	0,66	1,00	{ $\text{K}[\text{Er}(\text{C}_2\text{O}_4)_2] \cdot x\text{H}_2\text{O}$
0,75	0,38	1,00	
1,00	0,16	0,55	$\text{K}[\text{Er}(\text{C}_2\text{O}_4)_2] \cdot m \text{CuC}_2\text{O}_4 \cdot x\text{H}_2\text{O}$ ($m < 1$)
1,25	не обн.	не обн.	$\text{KErCu}(\text{C}_2\text{O}_4)_3 \cdot x\text{H}_2\text{O}$
2,00	"	1,00	{ $\text{K}[\text{Er}(\text{C}_2\text{O}_4)_2] \cdot x\text{H}_2\text{O}$
4,00	"	1,00	
Система $\text{Er}(\text{NO}_3)_3 - \text{Cu}(\text{NO}_3)_2 - (\text{NH}_4)_2\text{C}_2\text{O}_4 - \text{H}_2\text{O}$			
0,50	0,40	1,00	{ $\text{Er}_2(\text{C}_2\text{O}_4)_3 \cdot x\text{H}_2\text{O}$
0,75	0,18	1,00	
1,00	0,12	0,48	$\text{Er}_2(\text{C}_2\text{O}_4)_3 \cdot m \text{CuC}_2\text{O}_4 \cdot x\text{H}_2\text{O}$ ($m < 1$)
1,25	не обн.	не обн.	$\text{NH}_4\text{ErCu}(\text{C}_2\text{O}_4)_3 \cdot x\text{H}_2\text{O}$
2,00	"	1,00	{ $\text{NH}_4[\text{Er}(\text{C}_2\text{O}_4)_2] \cdot x\text{H}_2\text{O}$
4,00	"	1,00	



Для установления оптимальных условий разделения эрбия и меди из выяснения природы образующихся твердых фаз было изучено взаимодействие в системе $\text{Er}(\text{NO}_3)_3 - \text{Cu}(\text{NO}_3)_2 - M_2\text{C}_2\text{O}_4 - \text{H}_2\text{O}$ ($M = \text{H}^+, \text{K}^+, \text{NH}_4^+$) при 25°C в водных растворах. Опыты проводили с растворами, содержащими по 0,01 г-ион/л Er^{3+} и Cu^{2+} в виде их нитратов и возрастающее количество $M_2\text{C}_2\text{O}_4$. Общий объем реакционной смеси поддерживали постоянным и равным 100 мл. Молекулярное отношение $n = M_2\text{C}_2\text{O}_4 : [\text{Er}(\text{NO}_3)_3 + \text{Cu}(\text{NO}_3)_2]$ изменялось от 0,5 до 4,0. После перемешивания в течение 2-х часов осадок отделяли от маточного раствора и по результатам определения остаточных концентраций эрбия, меди и оксалат-ионов рассчитывали состав выделенных соединений. Эти же твердые фазы были исследованы для их изучения методом термогравиметрии.

При совместном присутствии эрбия и меди их сначала разделяли аммиаком в присутствии хлористого аммония, после чего медь определяли иодометрическим методом [2], а определение эрбия заканчивали оксалатным методом. При больших значениях n избыток оксалат-ионов, мешающих определению меди, удаляли выпариванием раствора с H_2SO_4 .

Результаты опытов представлены в табл. 3.

Как следует из данных таблицы 3, при действии оксалат-иона на раствор, содержащий смесь нитратов эрбия и меди, во всех трех системах вначале до $n \leq 0,75$ осаждается преимущественно только эрбий в виде среднего оксалата эрбия в системах с $\text{H}_2\text{C}_2\text{O}_4$ и $(\text{NH}_4)_2\text{C}_2\text{O}_4$ и комплексной соли — $\text{K}[\text{Er}(\text{C}_2\text{O}_4)_2] \cdot x\text{H}_2\text{O}$ — в системе с $\text{K}_2\text{C}_2\text{O}_4$.

По мере увеличения $n > 0,75$ наряду с эрбием начинает осаждаться медь, полное выделение которой заканчивается при $n = 1,25$. В этой точке концентрации эрбия и меди в равновесных растворах становятся практически равными нулю, и оба металла почти полностью переходят в твердую фазу в отношении 1:1.

Результаты химического анализа твердых фаз, выделенных во всех трех системах при $n = 1,25$, приводятся ниже:

Найдено, масс. %: $\text{Er}^{3+} - 29,52$; $\text{Cu}^{2+} - 10,78$; $\text{C}_2\text{O}_4^{2-} - 37,83$; $\text{H}_2\text{O} - 21,58$.

Для $\text{ErCu}(\text{C}_2\text{O}_4)_{2,5} \cdot 7\text{H}_2\text{O}$

вычислено, масс. %: $\text{Er}^{3+} - 28,99$; $\text{Cu}^{2+} - 11,01$; $\text{C}_2\text{O}_4^{2-} - 38,15$; $\text{H}_2\text{O} - 21,85$.

Найдено, масс. %: $\text{Er}^{3+} - 27,03$; $\text{Cu}^{2+} - 10,49$; $\text{K}^+ - 6,72$; $\text{C}_2\text{O}_4^{2-} - 42,74$; $\text{H}_2\text{O} - 12,87$.

Для $\text{K ErCu}(\text{C}_2\text{O}_4)_3 \cdot 4,5\text{H}_2\text{O}$

вычислено, масс. %: $\text{Er}^{3+} - 27,21$; $\text{Cu}^{2+} - 10,33$; $\text{K}^+ - 6,35$; $\text{C}_2\text{O}_4^{2-} - 42,93$; $\text{H}_2\text{O} - 13,18$.

Найдено, масс. %: $\text{Er}^{3+} - 30,20$; $\text{Cu}^{2+} - 11,69$; $\text{NH}_4^+ - 3,58$; $\text{C}_2\text{O}_4^{2-} - 48,01$; $\text{H}_2\text{O} - 6,32$.

Для $\text{NH}_4\text{ErCu}(\text{C}_2\text{O}_4)_3 \cdot 2\text{H}_2\text{O}$

вычислено, масс. %: $\text{Er}^{3+} - 30,48$; $\text{Cu}^{2+} - 11,58$; $\text{NH}_4^+ - 3,28$; $\text{C}_2\text{O}_4^{2-} - 48,11$; $\text{H}_2\text{O} - 6,55$.

Дальнейшее увеличение n не оказывает влияния на состав эсдака в системе с $\text{H}_2\text{C}_2\text{O}_4$, а в системах с $\text{K}_2\text{C}_2\text{O}_4$ и $(\text{NH}_4)_2\text{C}_2\text{O}_4$ при $n = 2$ медь полностью растворяется и находится в растворе в виде $M_2[\text{Cu}(\text{C}_2\text{O}_4)_2]$ (где $M = \text{K}^+$ или NH_4^+).

Для изучения термических свойств совместно осажденных оксалатов проведено термографическое исследование на дериваторрафе тип-10

па Ф. Паулик, И. Паулик и Л. Эрдей со скоростью нагрева 10⁰ С/мин на воздухе. Кривые ДТА, Т и ТГ приведены на рис. I в, г, д.

Как видно из приведенных дериватограмм, термолиз смешанных оксалатов эрбия и меди протекает однотипно.

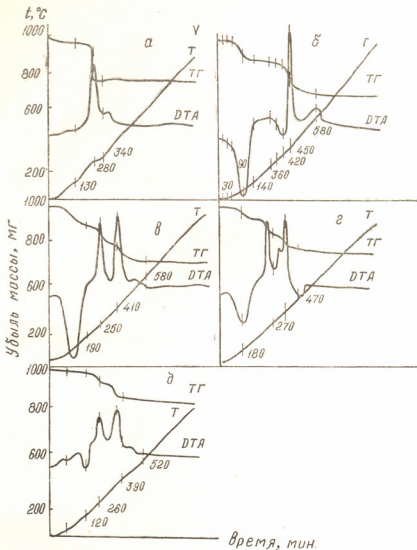


Рис. 1. Термограммы: а — CuC_2O_4 , б — $\text{Er}_2(\text{C}_2\text{O}_4)_3 \cdot 10\text{H}_2\text{O}$, в — $\text{ErCu}(\text{C}_2\text{O}_4)_{2,5} \cdot 7\text{H}_2\text{O}$, г — $\text{KErCu}(\text{C}_2\text{O}_4)_3 \cdot 4,5\text{H}_2\text{O}$, д — $\text{NH}_4\text{ErCu}(\text{C}_2\text{O}_4)_3 \cdot 2\text{H}_2\text{O}$. 1 — T°C , 2 — Δt , град.; 3 — убыль массы, мг.

Термическое разложение $\text{MErCu}(\text{C}_2\text{O}_4)_3 \cdot x\text{H}_2\text{O}$ носит многоступенчатый характер и включает процессы дегидратации и разложения безводной соли с образованием промежуточных продуктов различных оксалато-карбонатных и окси-карбонатных соединений. Разложение безводных солей происходит при температурах, превышающих 250°C, что сопровождается экзотермическими эффектами и значительной потерей массы. Конечным продуктом термического разложения являются смешанные окислы:

$\text{ErC}_4\text{O}_{2.5}$ из $\text{ErCu}(\text{C}_2\text{O}_4)_{2.5}\cdot\text{H}_2\text{O}$ и $\text{NH}_4\text{ErCu}(\text{C}_2\text{O}_4)_3\cdot2\text{H}_2\text{O}$ и $\text{K}\text{ErCu}(\text{C}_2\text{O}_4)_3\cdot4.5\text{H}_2\text{O}$.



Проведенное исследование позволило установить, что при действии оксалат-иона на раствор, содержащий одновременно катионы эрбия и меди, первоначально до $n \leq 0.75$ осаждается эрбий в виде $\text{Er}_2(\text{C}_2\text{O}_4)_3\cdot x\text{H}_2\text{O}$ в системах с $\text{H}_2\text{C}_2\text{O}_4$ и $(\text{NH}_4)_2\text{C}_2\text{O}_4$ и $\text{K}[\text{Er}(\text{C}_2\text{O}_4)_2]\cdot x\text{H}_2\text{O}$ в системе с $\text{K}_2\text{C}_2\text{O}_4$. После этого начинает осаждаться медь и в точке $n = 1.25$ во всех системах оба металла количественно находятся в осадке в виде смешанных оксалатов эрбия и меди. Дальнейшее увеличение n не оказывает влияния на состав осадка в системе с $\text{H}_2\text{C}_2\text{O}_4$, а в остальных системах при $n = 2$ осадок состоит только из комплексного оксалата эрбия, а медь полностью растворяется и переходит в раствор в виде $\text{M}_2[\text{Cu}(\text{C}_2\text{O}_4)_2]$ ($\text{M} = \text{K}^+$ или NH_4^+).

Найденная закономерность осаждения эрбия и меди из их совместного раствора оксалат-ионом может быть использована для подбора условий разделения этих элементов.

Институт физической и органической химии
им. П. Г. Меликишивили АН ГССР

Поступило 10.VII.1978

Ю. АЗВОДАЧВОЛИ, В. АМДЖАДО

СЕАНСЫОНА და საილენის ოქალაზების ერთონოული დალექციის გამოვალება

რეზიუმე

მოყვანილია $\text{Er}(\text{NO}_3)_3\text{--H}_2\text{C}_2\text{O}_4\text{--H}_2\text{O}$; $\text{Cu}(\text{NO}_3)_2\text{--M}_2\text{C}_2\text{O}_4\text{--H}_2\text{O}$ და $\text{Er}(\text{NO}_3)_3\text{--Cu}(\text{NO}_3)_2\text{--M}_2\text{C}_2\text{O}_4\text{--H}_2\text{O}$ ($\text{M} = \text{H}^+$, K^+ , NH_4^+) სისტემების კვლევის შედეგები ნარჩენ კონცენტრაციათა მეოთხდით 25°C წყალსნარებში.

ოქსალატ-იონებით ერბიუმისა და სპილენძის ერთდროული დალექვა შესავლილია სსნარში გამოსავალი კომპონენტების თანაფარდობისა და კონცენტრაციისაგან დამოკიდებულებით.

დადგენილია, რომ $\text{Er}(\text{NO}_3)_3\text{--H}_2\text{C}_2\text{O}_4\text{--H}_2\text{O}$ და $\text{Cu}(\text{NO}_3)_2\text{--M}_2\text{C}_2\text{O}_4\text{--H}_2\text{O}$ სისტემებში კომპონენტების ურთიერთქმედების პროცესის წარმოადგენს ერბიუმისა და სპილენძის საშუალო ოქსალატები — $\text{Er}_2(\text{C}_2\text{O}_4)_3\cdot10\text{H}_2\text{O}$ და CuC_2O_4 .

$\text{Er}(\text{NO}_3)_3\text{--Cu}(\text{NO}_3)_2\text{--M}_2\text{C}_2\text{O}_4\text{--H}_2\text{O}$ ($\text{M} = \text{H}^+$, K^+ , NH_4^+) სისტემებში $\text{Er}_2(\text{C}_2\text{O}_4)_3\cdot x\text{H}_2\text{O}$ და $\text{M}[\text{Er}(\text{C}_2\text{O}_4)_2]\cdot x\text{H}_2\text{O}$ -ს გარუა მყარ ფაზაში გამოიყოფა ურეოთვე შედეგი შედეგნარობის შერეული მარილები: $\text{ErCu}(\text{C}_2\text{O}_4)_{2.5}\cdot7\text{H}_2\text{O}$; $\text{K}\text{ErCu}(\text{C}_2\text{O}_4)_3\cdot4.5\text{H}_2\text{O}$ და $\text{NH}_4\text{ErCu}(\text{C}_2\text{O}_4)_3\cdot2\text{H}_2\text{O}$.

დადგენილია ერბიუმისა და სპილენძის ოქსალატების განსხვავებული სსნადობა შესაბამის ტუტე ლითონების ოქსალატების სიჭარებში. ჩატარებულია გამოყოფილი მყარი ფაზების ქიმიური და თერმოგრავიმეტრული ანალიზი.

ოქსალატ-იონებით ერბიუმისა და სპილენძის ერთდროული დალექვისას მიღებული კანონზომიერება შეიძლება გამოვიყენოთ ამ ელემენტების დაყოფის პირობების შესარჩევად.

STUDIES OF THE JOINT SEDIMENTATION OF ERBIUM AND
 COPPER OXALATES

Summary

The results of the studies of the systems $\text{Er}(\text{NO}_3)_3 - \text{H}_2\text{C}_2\text{O}_4 - \text{H}_2\text{O}$, $\text{Cu}(\text{NO}_3)_2 - \text{M}_2\text{C}_2\text{O}_4 - \text{H}_2\text{O}$ and $\text{Er}(\text{NO}_3)_3 - \text{Cu}(\text{NO}_3)_2 - \text{M}_2\text{C}_2\text{O}_4 - \text{H}_2\text{O}$ ($\text{M} = \text{H}^+$, K^+ , NH_4^+) using the method of residual concentration at 25°C in aqueous solutions are given.

A joint sedimentation of erbium and copper ions was studied at the molar ratios $\text{M}_2\text{C}_2\text{O}_4 : [\text{Er}(\text{NO}_3)_3 + \text{Cu}(\text{NO}_3)_2]$ in the original mixtures from 0.5 to 4.

It is established that in the systems $\text{Er}(\text{NO}_3)_3 - \text{H}_2\text{C}_2\text{O}_4 - \text{H}_2\text{O}$ and $\text{Cu}(\text{NO}_3)_2 - \text{M}_2\text{C}_2\text{O}_4 - \text{H}_2\text{O}$ the products of the interaction of the components are middle oxalates of erbium and copper — $\text{Er}_2(\text{C}_2\text{O}_4)_3 \cdot 10\text{H}_2\text{O}$ and CuC_2O_4 .

In the systems $\text{Er}(\text{NO}_3)_3 - \text{Cu}(\text{NO}_3)_2 - \text{M}_2\text{C}_2\text{O}_4 - \text{H}_2\text{O}$ ($\text{M} = \text{H}^+$, K^+ , NH_4^+), in addition to $\text{Er}_2(\text{C}_2\text{O}_4)_3 \cdot x\text{H}_2\text{O}$ and $\text{M}[\text{Er}(\text{C}_2\text{O}_4)_2] \cdot x\text{H}_2\text{O}$ in a solid phase also mixed salts of the following composition $\text{ErCu}(\text{C}_2\text{O}_4)_{2.5} \cdot 7\text{H}_2\text{O}$; $\text{KErCu}(\text{C}_2\text{O}_4)_3 \cdot 4.5\text{H}_2\text{O}$ and $\text{NH}_4\text{ErCu}(\text{C}_2\text{O}_4)_3 \cdot 2\text{H}_2\text{O}$ are formed.

Different solubility of erbium and copper oxalates in the excess of the corresponding oxalate of alkali metal was established.

Chemical and thermogravimetric analyses of the isolated solid phase are given.

The found regularity of erbium and copper sedimentation from their joint solution by oxalate ion can be used for the choice of the conditions for separation of these elements.

ღონისძიება — ЛИТЕРАТУРА — REFERENCES

1. Давиташвили Е. Г., Модебадзе М. Е. Сообщения АН ГССР, 39, 2, 305 (1965).
2. Анализ минерального сырья (под общей редакцией Ю. Н. Киповица, Ю. В. Морачевского). Л., Госуд. научно-технич. изд. химич. литературы, 464—465, 1956.



УДК 543,063+543,42

И. Л. ЭДИЛАШВИЛИ, Ш. Ш. БАРАБАДЗЕ

**СПЕКТРОФОТОМЕТРИЧЕСКИЙ МЕТОД ОПРЕДЕЛЕНИЯ
ОСТАТОЧНОГО КОЛИЧЕСТВА ИНГИБИТОРА
 N,N,N',N' -ТЕТРАМЕТИЛ-4,4'-ДИАМИНОДИФЕНИЛМЕТАНА
(«ОСНОВАНИЯ АРНОЛЬДА») В МАНДАРИНОВЫХ ПЛОДАХ,
ОБРАБОТАННЫХ ПРЕПАРАТОМ КЭИМ**

Химические средства широко используются в защите растений от вредителей, болезней и сорняков. В последние годы значительно увеличился ассортимент пестицидов, рекомендованных для применения в сельском хозяйстве СССР [1]. Соответственно интенсивно расширяются исследования по изучению токсичности применяемых препаратов, их нормированию в различных средах, разработке надежных методов количественного определения ядохимикатов и продуктов их превращения.

Институтом физической и органической химии им. П. Г. Меликисвili АН ГССР совместно с НИИ защиты растений МСХ ГССР разработан и внедрен в производство препарат «КЭИМ» — концентрат эмульсии ингибитированного масла для защиты цитрусовых культур от вредителей [2, 3]. В состав препарата входят: трансформаторное масло, концентрат сульфитно-спиртовой барды, поверхностноактивное вещество (ОП-7 или ОП-10) и ингибитор — N,N,N',N' -тетраметил-4,4'-диаминодифенилметана («основание Арнольда»), предохраняющий масло от фотохимического окисления под действием солнечного света и образования при этом фитотоксических продуктов. Компоненты препарата, за исключением «основания Арнольда», ранее использовались для аналогичных целей [4] и их токсические свойства и методы анализа описаны в литературе.

Согласно «Положению о порядке прохождения испытаний новых химических средств защиты растений» [5], необходим был надежный метод количественного определения «основания Арнольда» в мандариновых плодах, обработанных препаратом КЭИМ. Разработанный нами спектрофотометрический метод определения остаточных количеств «основания Арнольда» основан на экстракции препарата из мандарин-и-гексаном, нитрозировании азотистой кислотой и спектрофотометрическом определении образовавшегося окрашенного нитрозамина.

Предварительными опытами было установлено, что «основание Арнольда», подобно многим третичным ароматическим аминам [6], подвергается нитрозированию с образованием окрашенного в желтый цвет нитрозамина, имеющего максимум поглощения на длине волны 425 нм (рис. 1). При проведении анализа в качестве растворителя использовался изопропиловый спирт, который не только хорошо растворял компоненты препарата КЭИМ («основание Арнольда», трансформаторное масло и др.), но и образовывал истинный раствор при смешивании с водным раствором нитрозирующего реагента. Нитрозирующими реаген-

том служила смесь: 1:1 10% нитрита натрия и 1% соляной кислоты, компоненты которой хранились раздельно и смешивались за 0,5–1 ч перед использованием.

Условия фотометрирования и предел чувствительности метода определяли при использовании «стандартного раствора», содержащего 100 мкг «основания Арнольда» и 10000 мкг трансформаторного масла в 1 мл изопропилового спирта, что соответствовало соотношению указанных компонентов в препарате КЭИМ. Спектры поглощения продуктов взаимодействия «основания Арнольда» с азотистой кислотой записывались на регистрирующем спектрофотометре «Specord UV VIS» с рабочей длиной 1 см, в кювете сравнения находился раствор, содержащий 0,5 мл изопропилового спирта и 2 мл нитрозирующего раствора. Установлено, что между содержанием «основания Арнольда» в пробе (в пределах 10–50 мкг) и оптической плотностью раствора, обусловленной образованием окрашенного нитрозамина, наблюдается линейная зависимость. При этом относительная ошибка определения концентрации не превышает $\pm 5\%$. Предел чувствительности метода — 10 мкг анализируемого соединения в пробе — можно считать вполне приемлемым для контроля остаточных количеств «основания Арнольда» в плодах мандарин, т. к. по результатам токсикологических исследований Института фармакохимии АН ГССР «основание Арнольда» является малотоксичным для теплокровных (LD_{50} для мышей >3000 мг/кг) и характеризуется слабовыраженными кумулятивными свойствами.

Экстракцию «основания Арнольда» из кожуры* мандарин проводили н-гексаном, бензолом, ацетоном и др. В результате было установлено, что при фактически одинаковой степени извлечения анализируемого амина н-гексаном из субстрата экстрагировалось значительно меньшее количество пигментов и других органических соединений, чем бензолом и ацетоном. Последнее обстоятельство, как было установлено, имеет важное значение, т. к. экстрагируемые из кожуры соединения и продукты их взаимодействия с нитрозирующим агентом создают дополнительное «фоновое» поглощение в спектре, влияя тем самым на точность спектрофотометрирования. Для учета «фонового» погло-

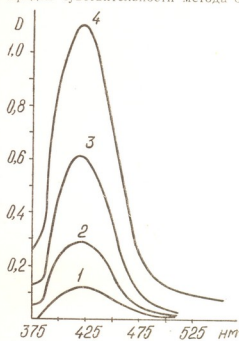


Рис. 1. Спектры поглощения нитрозамина, образующегося при взаимодействии «основания Арнольда» с «нитрозирующим реагентом». Содержание «основания Арнольда» в пробе: 1) 5 мкг, 2) 15 мкг, 3) 30 мкг, 4) 50 мкг

* Ранее методом меченых атомов было установлено, что «основание Арнольда» при обработке мандарин препаратором КЭИМ в мякоть плодов не проникает.



щения нами был применен «разностный метод» [7], который позволил без дополнительного разделения экстракта определить содержание «основания Арнольда» введением соответствующей поправки на «фоновое» поглощение.

Величину поправки определяли по поглощению продуктов взаимодействия экстрактов спелых плодов мандарин разных партий (не подвергшихся обработке препаратором КЭИМ) с нитрозирующим реагентом. В результате было установлено, что при вышеописанных стандартных условиях получения экстрактов и их спектрофотометрировании значения оптической плотности исследуемых проб при длине волны 425 нм колеблются в пределах 0,205—0,215. Исходя из этого, в предлагаемом методе анализа для учета «фонового» поглощения используется усредненная величина оптической плотности ($D_{\text{фон}}$), равная 0,210.

Для установления условий экстракции и степени извлечения «основания Арнольда» из кожуры мандарин были проведены серии опытов. На предварительно измельченные навески (≈ 50 г) кожуры спелых мандарин наносили определенное количество «стандартного раствора» или 5% водного раствора препарата КЭИМ. После испарения растворителя проводили экстракцию «основания Арнольда» и фотометрический анализ согласно разработанной методике. Результаты исследований, приведенные в таблице, свидетельствуют, что в принятых условиях н-гексаном из кожуры мандарин в среднем извлекается 84% введенного количества «основания Арнольда», что необходимо учитывать при соответствующих расчетах.

Таблица 1

Степень извлечения «основания Арнольда» н-гексаном из мандариновых плодов

Введено «основания Арнольда» (мкг)	Найденное количество «основания Арнольда» в экстракте (мкг)	Экстрагированное количество «основания Арнольда» (%)
25	21,7	86,7
25	21,2	84,8
41,7	34,3	82,6
41,7	33,5	80,3
58,3	50,4	86,5
58,3	48,4	83,0
		84,0 \pm 2

В результате проведенных исследований рекомендованы следующие оптимальные условия анализа мандариновых плодов на содержание остаточных количеств «основания Арнольда».

Измельченная на мелкие куски кожура, снятая с навески спелых мандарин ($\approx 150 \pm 10$ г) помещается в колбу Эрленмейера, заливается н-гексаном (2 мл на 1 г массы), закрывается пробкой и экстрагируется на аппарате для встряхивания в течение 1,5 часов. Н-гексановый экстракт декантируется, фильтруется через воронку с маленьким тампоном из ваты. После повторной экстракции масса кожуры вместе с растворителем оставляется на ночь. Затем вся масса переносится на воронку, отфильтровывается, дважды промывается 10 миллилитровыми порциями растворителя. Полученный экстракт под вакуумом (~ 20 мм рт. столба, температура 35—40°C) концентрируется до объема ~ 10 мл, а окончательное удаление н-гексана производится в вакуумтермостате при комнатной температуре.

Перед анализом сухой экстракт растворяется (40°C) в 6 мл изопропилового спирта, из которого отбираются по 0,5 мл раствора (па-



ралльные пробы), добавляется по 2 мл нитрозирующего агента и раствор в течение 15 минут несколько раз встряхивается. В течение указанного времени раствор первоначально теряет светло-желтую окраску, обусловленную присутствием пигментов, извлеченных из плодов, и к концу указанного периода вновь приобретает не исчезающую стабильную окраску в результате образования нитрозамина. Оптическая плотность раствора при 425 нм определяется на спектрофотометре в 1-сантиметровых кюветах по отношению к смеси 0,5 мл изопропилового спирта и 2 мл нитрозирующего агента. Для определения искомой оптической плотности пробы необходимо пользоваться выражением, учитывющим «фоновое» поглощение:

$$D_{\text{иск}}^{425} = D_{\text{опр}}^{425} - D_{\text{фон}}^{425},$$

где $D_{\text{иск}}^{425}$ — искомая оптическая плотность, $D_{\text{опр}}^{425}$ — определяемая на спектрофотометре плотность и $D_{\text{фон}}^{425}$ — усредненная «фоновая» оптическая плотность раствора, равная 0,21.

На основе $D_{\text{иск}}^{425}$ по градуированному графику (рис. 2) определяется количество «основания Арнольда» в мкг, содержащееся в анализируемой пробе.

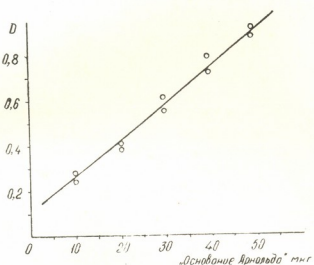


Рис. 2. Калибровочный график зависимости оптической плотности растворов (толщина слоя 1 см) от содержания «основания Арнольда»

Остаточное количество «основания Арнольда» в мандариновых плодах (x), обработанных препаратом КЭИМ, в миллиграммах на 1 кг (мг/кг) плодов вычисляется по выражению:

$$x = \frac{A \cdot V_1}{V_2 P \cdot 0,84},$$

где A — количество «основания Арнольда», найденное в анализируемом объеме экстракта (мкг),

V_1 — объем экстракта всей пробы (мл),

V_2 — объем экстракта, взятого для анализа (мл),

P — вес пробы мандарин (г),

0,84 — коэффициент, учитывающий степень извлечения «основания Арнольда» и-гексаном из мандариновых плодов.

Предложенный спектрофотометрический метод позволяет получать воспроизводимые результаты с чувствительностью 10 мкг в анализируемой пробе. Вместе с тем метод характеризуется доступностью рекомендованных реагентов, простотой выполнения, возможностью определения оптической плотности не только на спектрофотометре, но и на любом фотоколориметре отечественного производства. Исходя из всего указанного, данный метод рекомендован для практического применения при анализе мандариновых плодов на остаточное содержание в них ингибитора — «основания Арнольда».

Институт физической и органической химии им. П. Г. Медикисвили АН ГССР

Поступило 6.11.1978

ဦ. ဒေါက်တာရွှေ့၊ ဒ. နောက်များ

၄၁၈

პრეპარატ კეიმ-ით დამუშავებულ მანდარინის ნაყოფებში ფოტოქიმიური ჟანგვის ინპიძიტორად გამოყენებული „არნოლდის ფუძის“ ნაჩერნირაოლენობის განსაზღვრისათვის შემუშავებულია სპექტროფოტომეტრული მეთოდი.

პრეპარატის გამოწვლილებას ნაყოფებიდან ახლენენ ნ-ჰექსანით ორჯერადი ექსტრაქციით, რის შემდეგაც ვაკუუმში ოთახის ტემპერატურაზე აცილებენ გამხსნელს და დებულობენ შშრალ ექსტრაქტს. ინალიზის ჩატარებისათვის ექსტრაქტს ხსნიან განსაზღვრულ რაოდენობა იზოპროპილის სპირტში და აზოტოვანი მჟავას დამატებით მარილმჟავას არეში, „არნოლდის ფუძე“ გადაყვევით ყვითელი ფერის შესაბამის ნიტროზამინში. 15 წუთის შემდევ საზღვრავენ საანალიზო ხსნარის აპტიკურ სიმკერივეს 1-სანტრიმეტრიან კაუვეტში 425 ნმ უბანში და მაგრადუირებელი გრაფიკის საშუალებით გამოთვლიან „არნოლდის ფუძის“ შემცველობას სინჯში. ნაყოფებიდან ექსტრაგირებული ორგანული ნერტოების აზოტოვან მჟავასთან ურთიერთქმედების შედეგად წარმოქმნილი პროდუქტებით გაპირობებულ შთანთქმას 425 ნმ უბანში მხედველობაში დებულობენ შესაბამისი შესწორების შეტანით.

შემუშავებული მეთოდის მგრძნობიარობა ტოლია 10 მკგ „არნოლდის ფუძისა“ სინცში, ფარდობითი ცდომილება აღწევს $\pm 5\%$.

**SPECTROPHOTOMETRIC METHOD OF DETERMINATION OF
RESIDUAL AMOUNT OF THE INHIBITOR N, N, N',
N'-TETRAMETHYL-4,4'-DIAMINO DIPHENYL METHANE
("ARNOLD'S BASE") IN TANGERINES PROCESSED
BY THE PREPARATION KEIM**

Summary

To determine the residual amount of the inhibitor N, N, N', N'-tetramethyl-4,4'-diamino diphenyl methane ("Arnold's base") being a constituent of the preparation KEIM used in the combating pests of citrus plants a spectrophotometric method of the analysis was developed.

The method provides extraction of the preparation from tangerine rind cut in very small pieces by n-hexan and obtaining of the dry extract. Before the analysis the extract is dissolved in isopropyl alcohol and nitrous "reagent" is added, the latter is a mixture (1:1) 10% of aqueous solution of sodium nitrite and 1% of hydrochloric acid. The concentration of the formed nitrous amine is determined by measurements of the solution optical density at 425nm and recalculation by the calibrated graph. To take into account absorption caused by products of interaction of organic compounds extracted from tangerines with the "reagent", a correction for "background" absorption is introduced. The sensitivity of the method is 10mkg of "Arnold's base" in the sample. The relative error of the determination is $\pm 5\%$.

ЛІТЕРАТУРА — REFERENCES

1. Список химических и биологических средств борьбы с вредителями, болезнями растений и сорняками, разрешенных для применения в сельском хозяйстве на 1976—1977 г., М., «Колос», 1976.
2. Меликадзе Л. Д., Эдилашвили И. Л., Кипиани Р. Я., Гургенидзе З. И., Шония Д. И. Авторское свидетельство № 237315, 1968. Бюлл. открытий и изобр. пром. обр., товарные знаки, № 8, 1969.
3. Меликадзе Л. Д., Эдилашвили И. Л., Гургенидзе З. И. Изв. АН ГССР, серия хим., 4, 245 (1978).
4. Безуглый С. Ф., Луканина В. С. Труды НИИУНФ, вып. 171, Госхимиздат (1961).
5. Положение о порядке прохождения испытаний новых химических средств защиты растений, М., 1975.
6. Коренман И. М. Методы определения органических соединений, М., «Химия», 305, 1975.
7. Штерн Э., Тимmons К. Электронная абсорбционная спектроскопия в органической химии, М., «Мир», 248, 1974.



ХЛК 54678

Л. В. ЛАВРЕЛАШВИЛИ, А. Н. ВАСНЕВ, Н. Е. ДЗОЦЕНИДЗЕ,
С. У. КРЕИНГОЛЬД

РЕАКЦИЯ ДЛЯ ОПРЕДЕЛЕНИЯ МОЛИБДЕНА И ВОЛЬФРАМА В ПРИРОДНЫХ ВОДАХ

Для определения молибдена и вольфрама в минеральных водах в настоящей работе изучена реакция окисления Н-кислоты (1-нафтол-8-амино-3,6-дисульфокислота) перекисью водорода в нейтральной среде. Наиболее чувствительные кинетические методы определения молибдена и вольфрама основаны на реакции окисления перекисью водорода рубеановодородной кислоты [1] и иодида [2]. Максимальная скорость реакции наблюдается при pH 1—2 и концентрациях восстановителей $n\cdot10^{-4}$ М и перекиси водорода $n\cdot10^{-4}$ и $n\cdot10^{-3}$ М. Определению молибдена и вольфрама мешают ионы V(v) и Cu²⁺ при содержании 1—10 мкг/мл [1], а также Fe³⁺, Cd²⁺, Hg²⁺, Ti⁴⁺, PC₄³⁻, F⁻ [2]. Предел обнаружения молибдена и вольфрама составляет $(1-3)\cdot10^{-3}$ мкг/мл.

Предлагаемый метод определения молибдена и вольфрама, основанный на реакции окисления Н-кислоты перекисью водорода, отличается тем, что реакция протекает в слабокислой и нейтральной средах при сравнительно высоких концентрациях субстратов и в присутствии аминоалкилфосфоновых кислот, маскирующих ионы металлов, что обеспечивает высокую избирательность определения.

Таблица I

Влияние мешающих ионов на скорость реакции окисления Н-кислоты перекисью водорода

Введенные ионы, M	Кол-во, мкг	$\bar{t}_{ga} \cdot 10^3$, мин $^{-1}$		
		в отсутствие Mo и W	Mo+M	W+M
Mo (VI)	1	—	$7,5 \pm 0,5$	—
W (VI)	10	—	—	$2,5 \pm 0,5$
Na ⁺	1000	0,2	7,9	2,9
Ca ²⁺	1000	0,2	8,2	2,6
Mg ²⁺	1000	0,2	8,3	3,1
Ti (IV)	100	0,2	6,3	1,8
Ni ²⁺	100	0,1	7,1	2,8
Cr ³⁺	100	1,0	8,5	2,1
Al ³⁺	100	0,2	7,2	2,5
Cu ²⁺	20	0,2	6,2	2,2
Mn ²⁺	100	0,3	6,2	2,2
V(v)	10	0,3	7,0	2,0
Cr (VI)	5	1,0	7,1	2,7
Fe ³⁺	1	10	17,0	13,0
SO ₄ ²⁻	1000	0,1	7,1	2,8
J ⁻	100	0,2	7,5	2,5

Предел обнаружения молибдена и вольфрама, рассчитанный по 3Sr-критерию, равен соответственно $5 \cdot 10^{-3}$ и $5 \cdot 10^{-2}$ мкг/мл. Диапазон определяемых концентраций молибдена и вольфрама от $5 \cdot 10^{-3}$ до $0,5$ мкг/мл. Ошибка определения не превышает 15—20%. Уравнение градуировочного графика, полученное в оптимальных условиях проведения реакции при $\alpha=0,95$, $n=3$, имеет вид:

$$\bar{\text{tg}}\alpha \cdot 10^3 = (0,50 \pm 0,09) + (53 \pm 7) \cdot X,$$

где $\bar{\text{tg}}\alpha$ — изменение оптической плотности раствора за единицу времени, мин^{-1} .

X — количество молибдена, мкг/мл.

Аппаратура и техника эксперимента описаны ранее [3]. Скорость окисления H-кислоты определяют по формуле:

$$\frac{dC}{dt} = \frac{\bar{\text{tg}}\alpha}{\bar{\varepsilon} \cdot l}$$

где C — концентрация H-кислоты, М;

l — толщина кюветы, см;

Так как молярный коэффициент поглощения продуктов реакции $\bar{\varepsilon}$ при данной длине волны есть величина постоянная и толщина поглощающего слоя во всех опытах постоянна и равна 1 см, то скорость реакции $\frac{dC}{dt}$ пропорциональна $\bar{\text{tg}}\alpha$:

$$\frac{dC}{dt} = \frac{dD}{dt \cdot \bar{\varepsilon} \cdot l} = \frac{\bar{\text{tg}}\alpha}{\bar{\varepsilon} \cdot l}$$

где dD — изменение оптической плотности растворов за время dt .

Зависимость скорости некаталитической и катализируемой ионами Mo и W (VI) реакции от pH раствора приведена на рис. 1. Необходимую величину pH создают добавлением ацетатного буферного раствора.

Скорость реакции максимальна при pH 5,5—6,0.

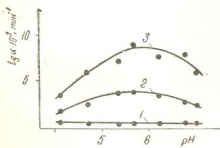


Рис. 1. Зависимость скорости реакции от pH среды: 1 — некаталитической, 2 — $C_{\text{w}} = 1 \cdot 10^{-5}$ М, 3 — $C_{\text{Mo}} = 2 \cdot 10^{-6}$ М, $\text{CH}_2\text{O}_2 = 6 \cdot 10^{-2}$ М, СЭДТА = $1 \cdot 10^{-2}$ М, СН-к-ты = $6 \cdot 10^{-2}$ М, $\lambda = 540$ нм, температура 23°C

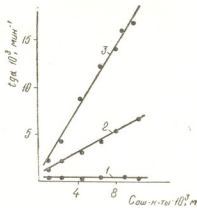


Рис. 2. Зависимость скорости реакции от концентрации H-кислоты: 1 — некаталитической, 2 — $C_{\text{w}} = 1 \cdot 10^{-5}$ М, 3 — $C_{\text{Mo}} = 2 \cdot 10^{-6}$ М, $\text{CH}_2\text{O}_2 = 2 \cdot 10^{-2}$ М, СЭДТА = $1 \cdot 10^{-2}$ М, pH = 5,5

С ростом концентрации Н-кислоты в интервале $(2-10) \cdot 10^{-3}$ М скорость катализитической реакции увеличивается линейно (рис. 2). Возможность применения более концентрированных растворов Н-кислоты ограничена ее растворимостью.

Таблица 2
Влияние комплексообразователей на скорость реакции

Комплексон	$\text{tg} \alpha \cdot 10^3, \text{мин}^{-1}$				
	некатализитическая реакция	Fe (III) 100 мкг	Mo (V) 1 мкг	Mo(VI) мкг ⁺ Fe(II) 100 мкг	W (VI) 1 мкг Fe (III) 100 мкг
Этилендиаминтетрауксусная кислота (ЭДТА)	1,7	42,2	4,1	33,2	2,0
Дизтилентриаминпентаметилфосфоновая кислота (ДТПФ)	0,5	0,8	11,0	10,7	4,0
Нитролитриметилфосфоновая кислота (НТФ)	0,1	0,3	7,5	7,0	2,5
Гексаметилендиаминтетраметилфосфоновая кислота (ГМДТФ)	0,1	1,2	8,5	9,2	2,2
Этилендиаминтетрагидрофосфоновая кислота (ЭДГФ)	0,2	0,4	7,0	8,0	2,2
Этилендиаминдиизопропилфосфоновая кислота (ЭДДИФ)	0,5	50	7,5	50	2,5
Дизтилентриаминпентауксусная кислота (ДТПА)	0,6	50	6,8	50	2,1
Калиевая соль оксистилендиfosfonовой кислоты (КОЭДФ)	0,6	1,2	6,7	6,5	2,0
					2,3

Зависимости скорости реакций от концентрации перекиси водорода имеют экстремальный характер (рис. 3). Оптимальные концентрации перекиси водорода для определения молибдена и вольфрама совпадают и равны $1 \cdot 10^{-2}$ М.

Таким образом, оптимальными условиями определения молибдена и вольфрама предлагаемым методом являются: pH 5,5—6,0; концентрации Н-кислоты и перекиси водорода $1 \cdot 10^{-2}$ М.

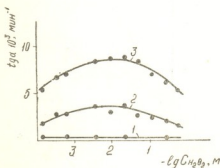


Рис. 3. Зависимость скорости реакции от концентрации перекиси водорода: 1 — некатализитической, 2 — $C_{\text{W}} = 1 \cdot 10^{-5}$ М, 3 — $C_{\text{Mo}} = 2 \cdot 10^{-6}$ М, $C_{\text{H-кисл}} = 6 \cdot 10^{-3}$ М, $C_{\text{ЭДТА}} = 1 \cdot 10^{-2}$ М, pH = 5,5

Наиболее распространенные примеси в составе минеральных вод — сульфаты, карбонаты, ионы натрия, кальция, магния, железа, алюминия, меди, титана, марганца, никеля, хрома [4]. Поэтому было изучено



влияние этих ионов на реакцию окисления Н-кислоты перекисью водорода с целью разработки методик определения молибдена в феррофрама в водах.

Характеристика избирательности определения молибдена и вольфрама дана в таблице 1. Как видно из таблицы, железо (III) как и Mo (VI) катализирует реакцию окисления Н-кислоты перекисью водорода.

С целью повышения избирательности определения молибдена и вольфрама было изучено влияние ряда комплексообразователей на скорость реакций, катализируемых ионами Fe^{3+} и Mo (VI). При использовании этилендиаминтетрауксусной кислоты в качестве маскирующего реагента, железо в присутствии перекиси водорода образует в слабокислой, нейтральной и щелочной средах каталитически активный биядерный комплекс [5].

При поиске маскирующих веществ мы обратились к фосфороганическим комплексонам. Это новая группа высокоэффективных комплексообразующих соединений, способных связывать ионы металлов в водных средах. Была изучена серия соединений, в структуру которых

включались одновременно фосфоновая, карбоксильная и гидроксильная группировки [6—7]. Результаты исследования влияния фосфороганических комплексонов на каталитическую и некаталитическую

Таблица 3

Проверка правильности анализа минеральных и речных вод

Вода	Выдано Mo(VI), мкг	Найдено Mo(VI), мкг
Боржоми	0,30	0,31
Миргородская	0,30	0,30
Наразан	0,30	0,31
р. Кванса	0,30	0,33
р. Мцхета	0,30	0,32
р. Кура	0,30	0,34

Таблица 4

Результаты анализа минеральных вод после удаления сопутствующих примесей ионами обменом

Вода	Найдено Mo (VI), мкг/л по методике	
	H-кислота	O-аминофенол
Боржоми	0,13	0,12
Миргородская	0,15	0,15
Наразан	0,17	0,17

метилфосфоновая и этилендиаминтетраметилфосфоновые кислоты могут быть успешно применены для маскирования железа при анализе природных вод.

Найденные оптимальные условия реакции окисления Н-кислоты перекисью водорода позволили разработать методику определения молибдена в минеральных и речных водах.

Исследуемую воду 50 мл помещают в платиновую или фторопластовую чашку и упаривают до объема 2—3 мл. В случае выпадения двуокиси кремния добавляют 2 мл концентрированной фтористоводородной кислоты, упаривают раствор до влажных солей на водяной бане, добавляют 2 мл насыщенного раствора борной кислоты, упаривают раствор до влажных солей и растворяют остаток в 3 мл 0,2 н раствора соляной кислоты. Далее в пробирку наливают 1 мл получен-

реакцию приведены в таблице 2. Из таблицы 2 видно, что в присутствии нитрилтриметилфосфоновой и этилендиаминтетраметилфосфоновой кислот скорость некаталитической реакции минимальна, ионы железа до 100 мкг маскируются, скорость каталитической реакции существенно не меняется. Таким образом, нитрилтриметилфосфоновые кислоты мо-

гут быть успешно применены для маскирования железа при анализе природных вод.



ного раствора, 1 мл ацетатного буферного раствора ($\text{pH } 6,0$), 0,2 мл 0,1 М раствора нитрилметилфосфоновой кислоты, 0,6 мл дистиллированной воды, 0,2 мл 0,25 М раствора перекиси водорода и 2 мл 0,025 М раствора Н-кислоты. Раствор перемешивают, помещают в кювету с толщиной поглощающего слоя 1 см и записывают изменение оптической плотности раствора во времени при $\lambda = 540 \text{ нм}$ (светофильтр № 6 ФЭК-56), на установке, описанной в работе [3].

Содержание молибдена в исследуемой воде определяют по гравировочному графику. Правильность определения содержания молибдена проверяют методом добавок.

Катионит проверяют методом добавок. Как видно из таблицы 3, для определения молибдена в водах необходимо его концентрирование. Воду объемом 1 л пропускают через катионит КУ-2 в H^+ форме. Мешающие примеси при этом поглощаются катионитом, а Mo (VI) проходит в фильтрат. Фильтрат упаривают до 5 мл и анализируют по методике, описанной выше. Определение молибдена проводили предложенным методом и по реакции окисления о-аминофенола перекисью водорода [8].

Результаты определения молибдена в минеральных водах приведены в таблице 4.

Методика определения вольфрама аналогична описанной выше.

Таким образом, предложен новый кинетический метод определения молибдена и вольфрама, основанный на реакции окисления Н-кислоты перекисью водорода в слабокислой и нейтральной средах с пределами обнаружения $5 \cdot 10^{-3}$ и $5 \cdot 10^{-2}$ мкг/л соответственно. Мешающее влияние катионов устраивается добавлением маскирующих реагентов аминоалкилфосфоновых кислот.

ВНИИ химических реагентов и
состои чистых химических веществ (г. Москва)
Тбилисский государственный университет

Поступило 29.I.1978

Digitized by srujanika@gmail.com

ଶ୍ରୀମତୀ ଅମ୍ବଲାଦେବୀ ଏବଂ ଶ୍ରୀମତୀ ପରୀକ୍ଷାନୀ ପାଇସାରୁଙ୍ଗାରୁ
ପାଇସାରୁଙ୍ଗାରୁ

Հայոց ՅՆ

Моңғорьон-аңғылбаса мөлдөлбөгөнбаса (VI) да үзүүлүктөрүмөнбаса (VII) гаңсааштэлүүрүсөн аштырылганда өндөрлөн үзүүлүр. Мөлдөлбөгөнбаса (VI) да үзүүлүктөрүмөнбаса (VII) гаңсааштэлүүрүсөн аштырылганда өндөрлөн үзүүлүр. Мөлдөлбөгөнбаса (VI) да үзүүлүктөрүмөнбаса (VII) гаңсааштэлүүрүсөн аштырылганда өндөрлөн үзүүлүр.



ბენ 2—3 მლ-მდე. სილიციუმის მჟავის გამოყოფის შემთხვევაში უმატებენ მეტად კონცენტრირებულ ფტორწყალბაზებენ, სსნარს აშრობენ მშრალ ნაშენისტე, უმატებენ 2 მლ კონცენტრირებულ ბორმევას ნაფერ სსნარს, ხელახლა აშ-რობენ სეველ მარილებამდე, ნაშთს სსნარ 3 მლ 0,2 ნ მარილმევას სსნარში და ატარებენ ანალიზს. შემდევ სინგარაში ათავსებენ 1 მლ სანალიზო, სსნარს, 1 მლ აცეტატურ ბუფერულ სსნარს, რომლის pH არის 6,0, უმატებენ 0,2 მლ 0,1 M ნიტ სსნარს, 0,6 მლ დისტილირებულ წყალს, 0,2 მლ 0,25 M წყალბაზის ზექანგის სსნარს და 2 მლ 0,025M აშ-მჟავის. სსნარს კარგად ურჩევენ. ათავსებენ 1 სმ კიუვეტაში, და იწერენ ოპტიკური სიმკვრივის ცვლილებას დროში $\lambda = 540$ ნმ ტალღის სიგრძეზე. მოლიბდენის შემცველობას პოლონდენ საკალიბრო მრუდის მიხედვით. 2 მეგ/ლ მოლიბდენის შემცველობის დროს წყალს 1 ლ მოცულობით ატარებენ KY—2-ზე H⁺-ის ფორმაში, ელუატს აშ-რობენ 5 მლ და ანალიზს ატარებენ ზემოაღწერილი მეთოდიებს მიხედვით. წყლებში, რომლის ანალიზიც ჩატარდა, Mo(VI) შემცველობა 0,12—0,17 მეგ/ლ შეადგენდა.

L. V. LAVRELASHVILI, A. N. VASNEV, M. E. DZOTSENIDZE, S. U. KREINGOLD

REACTION FOR DETERMINATION OF MOLYBDENUM AND TUNGSTEN IN NATURAL WATERS

Summary

To determine microamounts of molybdenum and tungsten a new kinetic method is proposed. It is based on the catalytic action of these ions in the oxidizing reaction of 1-amino-8-naphthol-3, 6-disulpho acid (H-acid) by hydrogen peroxide. The rate of the reaction is determined by photometry at the wavelength of 540 nm.

The limit of molybdenum and tungsten finding is 5×10^{-3} — 5×10^{-2} mg/ml, respectively. Na⁺, Ca²⁺, Mg²⁺, Ti⁴⁺, Ni²⁺, Cr³⁺, Al³⁺, Mn²⁺, SO₄²⁻, I⁻ in the amount of 100—1000mg prevent the determination.

To eliminate the preventing effect of iron nitrile — trimethylphosphonic acid (NTPH) is used.

50ml of the studied water are put into a platinum or fluoroplastic vessel and steamed to the volume of 2—3ml. In case of silica sedimentation 2ml of concentrated hydrofluoric acid are added, the solution is steamed to moist salts using a water bath, 2ml of the saturated solution of boric acid are added, the solution is steamed to moist salts and the residue is dissolved in 3ml of 0.2N hydrochloric acid. Then 1 ml of the obtained solution is poured into a test glass add 1ml of acetate buffer solution pH—6.0. 0.2ml of 0.1M solution of nitrile-trimethylphosphonic acid, 0.6ml of distilled water, 0.2ml of 0.25M of hydrogen peroxide solution and 2ml of H-acid are added. The solution is mixed, placed in a cuvette with the thickness of absorbing layer equal to 1cm and a change of the solution optical density with time is recorded at $\lambda = 540$ nm using a self-recorder connected with a photocalorimeter.

1. Панталер Р. П. Ж. аналит. химии, 18, 603—609 (1963).
2. Бабков А. К., Лисецкая Г. С., Царенко Г. Ф. Ж. аналит. химии, 23, 1342—1347 (1968).
3. Крейнгольд С. У., Васнев А. Н., Серебрякова Г. В. Заводск. лаборатория, 40, 6—8 (1974).
4. Лурье Ю. Ю. Унифицированные методы анализа вод, «Химия», М., 1971.
5. Яцмировский К. Б. Успехи химии координационных соединений, «Наукова думка», с. 223—224, 1975.
6. Дятлова Н. М., Темкина В. Я., Колпакова И. Д. Комплексоны, «Химия», М., 1970.
7. Кабачник М. И., Медведь Т. Я., Дятлова Н. М., Рудомино М. В. Успехи химии, 23, 1554—1574 (1974).
8. Крейнгольд С. У., Васнев А. Н. Заводская лаборатория, 44, 265 (1978).

УДК 543.535.2

О. В. МАНДЖГАЛАДЗЕ, И. С. МГЕЛАДЗЕ, К. Г. БАЗИЕРАШВИЛИ

СПЕКТРОФОТОМЕТРИЧЕСКОЕ ИЗУЧЕНИЕ ВЗАИМОДЕЙСТВИЯ ИОНОВ ЦИРКОНИЯ С 1-(2-ПИРИДИЛАЗО)-2,4-ДИОКСИ- БЕНЗОЛОМ

1-(2-пиридилацо)-2,4-диоксibenзол (2-пиридилацо-резорцин, в сокращении 2-ПАР) в аналитической химии циркония известен как фотометрический реагент и металлохромный индикатор [1—3]. Несмотря на то, что данные о протекании реакции, наряду со свойствами окрашенных продуктов, необходимы для составления оптимального рецепта количественного определения того или иного элемента, процесс комплексообразования между ними и продукты реакции недостаточно охарактеризованы.

Опыт показывает, что иногда окрашенные комплексные соединения существуют в определенных условиях в растворе. Так, например, в системе цирконий — ксиленоловый оранжевый [4], как и в системах палладий — 2-ПАР [5] и осмий — 2-ПАР [6], в зависимости от соотношения реагирующих компонентов в одной и той же реакционной среде, образуются несколько разных комплексов, но одинакового состава. Поэтому в данной работе была детально исследована реакция взаимодействия ионов циркония с 2-ПАР.

В литературе указано, что эта реакция протекает при такой кислотности, когда в растворе ионы циркония подвергаются гидролизу [1], т. е. 2-ПАР реагирует с цирконием в тех же пределах pH, что и другие гидроксилсодержащие азосоединения [7]. В частности, в работе [2] указан $\text{pH} \sim 0.1$ ($1-0.1\text{N H}_2\text{SO}_4$), а в работе [3] — $\text{pH}=2.4-2.6$. В последней приводится методика спектрофотометрического определения циркония, согласно которой определение производится при длине волны 540 нм ($\epsilon_{\text{в}}=6750$).

Следует отметить, что 2-ПАР является лучшим аналитическим реагентом для проявления бумажной хроматограммы при разделении ионов циркония и иттрия [8].

Стандартные растворы циркония ($1 \cdot 10^{-2}$ моль/л) и 2-ПАР ($2 \cdot 10^{-3}\text{M}$) готовили путем растворения точных навесок $\text{ZrOCl}_2 \cdot 8\text{H}_2\text{O}$ и $\text{C}_6\text{H}_8\text{O}_2\text{N}_3\text{Na} \cdot \text{H}_2\text{O}$ в 2М хлорной кислоте и воде соответственно; рабочие растворы — разбавлением стандартных растворов непосредственно перед экспериментом.

Ацетатно-аммиачные буферные растворы ($\text{pH}=3-10$) готовили из CH_3COOH (х. ч.) и NH_4OH (х. ч.), а для создания $\text{pH} 1-2$ использовали HClO_4 (х. ч.). Такие буферные смеси не влияют на оптическую плотность исследуемых растворов.

Измерения оптической плотности выполняли на спектрофотометре СФ-4А и на автоматическом регистрирующем аппарате типа «SECORD», а потенциометрические измерения — на «pH 673» со стеклянным электродом.

Измерения проводили при температуре 20—22°C после установления равновесия в растворах (4—6 ч) в стеклянных и кварцевых прямоугольных кюветах с толщиной слоя 1—2 см.

С целью изучения влияния различных факторов на комплексообразование прежде всего исследовали влияние концентрации реагирующих компонентов, времени и температуры. При комнатной температуре максимальное образование пурпурного комплекса достигается при 1,5-кратном избытке 2-ПАР, растворов фиолетового комплекса — в течение 4—6 часов при таком же избытке ионов циркония. При повышении температуры интенсивность окраски растворов комплексов изменяется незначительно. Растворы комплексов устойчивы в течение нескольких суток.

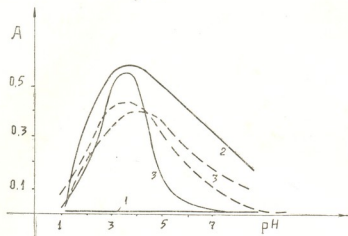


Рис. 1. Зависимость оптической плотности растворов от pH среды. 1—ПАР (555 нм); 2,2'—ПАР+Zr (555 нм); 3,3'—ПАР+Zr (605 нм). 1,6. 10^{-5} г-ион/л Zr и $3,2 \cdot 10^{-5}$ М ПАР (2,3'); 3,2· 10^{-5} г-ион/л Zr и $1,6 \cdot 10^{-5}$ М ПАР (2',3); 1=2 см

Зависимость оптической плотности растворов от pH была изучена при длине волн 555 и 605 нм. Из рис. 1 видно, что в слабокислых растворах в зависимости от соотношения компонентов образуются комплексные соединения, окрашенные в различный цвет: при стехиометрическом соотношении компонентов и избытке реагента — в пурпурный, при избытке ионов металла — в фиолетовый. Цвет самого реагента изменяется от желтого (10N HCl) с переходом в зеленовато-желтый (pH 4,8) до красного (pH 12,5).

Спектры поглощения комплексов и самого реагента представлены на рис. 2. При стехиометрическом соотношении компонентов, так же как при избытке реагента, образуется комплекс пурпурного цвета с максимумом поглощения 555 нм (рис. 2, кривые 2,3). При избытке ионов циркония — соединение фиолетового цвета с максимумом поглощения 605 нм (кривая 4).

Растворы комплексов, которые содержат избыток одного из реагирующих компонентов, при различных значениях pH имеют один и тот же максимум светопоглощения: пурпурный комплекс — при 555 нм, фиолетовый — при 605 нм. При этом количество взятых в избытке компонентов не влияет на максимум светопоглощения комплексов.

Спектры светопоглощения вместе с данными о влиянии измене-

ния рН на окрашивание растворов свидетельствуют об образовании в системе двух комплексов циркония.

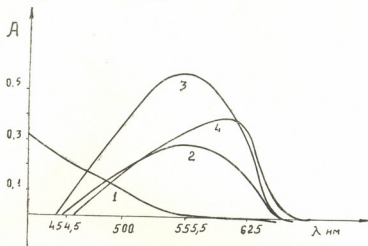


Рис. 2. Спектры светопоглощения ПАР и его комплексов с цирконием (дифференциальные кривые). 1—ПАР; 2, 3, 4—ПАР + $Zr \cdot 1,6 \cdot 10^{-5}$ г-ион/л Zr (2,3); $3,2 \cdot 10^{-5}$ г-ион/л (4); $1,6 \cdot 10^{-5}$ М ПАР (2,4); $3,2 \cdot 10^{-5}$ М ПАР (1,3); $pH = 3,6$; $l = 1$ см.

Максимум светопоглощения самого реагента при $pH_{opt.} = 3,5$ находится при 390 нм.

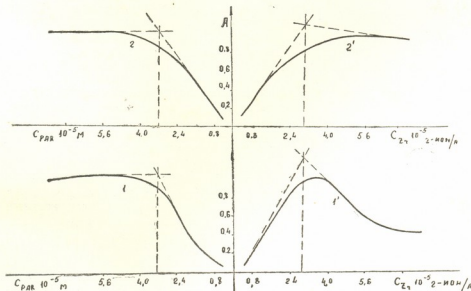


Рис. 3. Состав комплексов. Метод молярных отношений. 1,2— $3,2 \cdot 10^{-5}$ г-ион/л Zr ; 0,4— $8,0 \cdot 10^{-5}$ М R; 1,2— $3,2 \cdot 10^{-5}$ М ПАР, 0,4— $8,0 \cdot 10^{-5}$ г-ион/л Zr ; $pH = 3,5$; $l = 2$ см. 1,1—605 нм; 2,2—555 нм.

Состав комплексов был изучен методами изомолярных серий, молярных отношений и прямой линии при длине волны 555 и 605 нм.



Серии методов молярных отношений и прямой линии выполнены в двух вариантах: I — при постоянной концентрации ионов циркония и переменной — 2-ПАР; II — при постоянной концентрации 2-ПАР и переменной — ионов циркония. Результаты, полученные обоими методами, свидетельствуют о соотношении в комплексах цирконий: 2-ПАР=1:1 (как при 555, так и при 605 нм).

Кривые изомолярных серий имеют характерную вогнутую линию, что подтверждает образование более одного комплекса. Их максимумы также соответствуют соотношению 1:1. Такие результаты получаются и в случае высоких концентраций компонентов.

На рис. 3 приведены данные, полученные методом молярных отношений.

В дальнейшем мы ограничились детальным изучением соединения, которое образуется при избытке 2-ПАР, так как оно имеет практическое применение в аналитической химии.

Таким образом, в системе цирконий + 2-ПАР установлено образование двух комплексов одинакового состава (цирконий: 2-ПАР=1:1) в одной и той же реакционной среде ($pH_{opt.} = 3,5$). При эквимолярном соотношении компонентов и избытке реагента (не менее 1,5-кратного) образуется комплекс пурпурного цвета, а при избытке ионов циркония — фиолетовый.

В оптимальных условиях ($pH=3,5$; $\lambda=555$ нм) растворы пурпурного комплекса подчиняются закону Ламберта-Бера в пределах концентрации ионов циркония $0,4-8 \cdot 10^{-5}$ моль/л ($0,37-7,4$ мкг/мл). Молярные коэффициенты поглощения, рассчитанные для этих же условий, равны: $\epsilon_R = 160$, $\epsilon_k = 13400$, отсюда спектрофотометрическая чувствительность $\epsilon_R/\epsilon_k = 83,8$.

Значение pH комплексообразования и соотношение компонентов дает возможность предположить, что строение обоих соединений одинаково, но они образованы различными формами гидроксокомплексов циркония или различной анионной формой реагента, что более вероятно.

Полученные результаты дают основание для практических выводов. Образование комплексов одинакового состава не зависит от концентрации водородных ионов, и при определении циркония необходим не более чем 1,5-кратный избыток реагента для образования пурпурного комплекса ($\lambda=555$ нм) и для того, чтобы в системе практически не существовало фиолетового комплекса (605 нм).

Что касается комплексометрического определения циркония с помощью 2-ПАР как индикатора, то на основании наших опытов окончанием титрования нужно считать переход окраски от пурпурной в желтую, в противном случае результаты будут значительно занижены.

Методика фотометрического определения заключается в следующем: к нейтральному или слабокислому раствору циркония, который содержит до 185 мкг ионов этого металла, прибавляют водный раствор реагента с малым избытком, но не менее 1,5-кратного и 5—10 мл ацетатно-аммиачного буфера ($pH=3,5$). Раствор разбавляют водой до 25 мл и измеряют оптическую плотность при 555 нм в кювете с толщиной рабочего слоя 2 см. Для сравнения в аналогичных условиях готовят раствор 2-ПАР точно такой же концентрации. В чистых растворах солей циркония при фотометрическом определении получаются воспроизводимые результаты, что указывает на возможность успешного применения 2-ПАР, когда необходима высокая чувствительность.

1-(2-პირიდილაზო)-2,4-დიიდონონის კომპლექსის
მონოზო ურთიერთი განვითარებული სამართლოში განხილა

რ ე ც ვ ე

სპექტროფოტომეტრული მეთოდით გამოკვლეულია სისტემა: 2-PAR + Zr; შესწავლილია კომპლექსნარტონია წარმოქმნის ოპტიმალური პირობები, გამოთვლილი მათი ზოგიერთი სპექტროფოტომეტრული მახსიათებელი, ვაკეთებული პრაქტიკული ხასიათის დასკვნები და შემუშავებულია ცირკონიუმის ფოტომეტრული განსაზღვრის მეთოდიყა.

დადგენილია სისტემაში ორი ერთნაირი შედგენილობის ($Zr:2\text{-PAR} = 1:1$) კომპლექსის თანაარსებობა: კომპონენტების ექვიმოლური თანაფარდობისა და რეაგენტის მცირე სიჭრაბისას — მეტამული კომპლექსის ($pH_{\text{მა}} = 3,5$, $\lambda_{\text{მა}} = 555 \text{ nm}$), ხოლო ცირკონიუმის მცირე სიჭრაბისას — ისტერის ($pH_{\text{მა}} = 3,5$, $\lambda_{\text{მა}} = 605 \text{ nm}$).

ცირკონიუმის ფოტომეტრული განსაზღვრისათვის ანალიზურ ფორმას წარმოადგენს მეტამული კომპლექსი, რომელიც ლამბერტ-ბერის კანონს ემორჩილება მეტამული კონცენტრაციის შემდეგ ზღვრებში: $0,37 - 7,4 \text{ mkg/ml}$. აღნიშნული კომპლექსისათვის გამოთვლილი შთანთქმის მოლური კოეფიციენტი და სპექტროფოტომეტრული მგრძნობიარობა ოპტიმალურ პირობებში შესაბამისად იღმოჩნდა: $\epsilon_k = 13400$, $\epsilon_k/\epsilon_R = 83,8$.

O. V. MANJGALADZE, N. S. MGELADZE, K. G. BAZIERASHVILI

SPECTROPHOTOMETRIC STUDIES OF INTERACTION BETWEEN ZIRCONIUM AND 1-(2-PYRIDILAZO)-2,4-DIOXIBENZENE

S u m m a r y

Coloured compounds of zirconium with 1-(2-pyridilazo)-2,4-dioxibenzo[1] (2-pyridilazorezorcin, 2-PAR) were studied.

Depending on the concentration of the components two complexes were formed: purple one when the reagent is in excess and that of the violet colour when zirconium is in excess. The purple complex is formed at room temperature instantly, while the time for reaching equilibrium of the violet complex is 4 to 6 hours. The excess of the components at which the maximum intensity of solution colouration is 1,5-multiple. The optimal value of pH is 3,5. The maximum of light absorption is at 555 and 605 nm respectively.

The ratios of the components in the compounds for the both cases $Zr:2\text{-PAR} = 1:1$. The molar absorption coefficients of reagent and purple complex are 160 and 13400 at 555 nm. Solutions of the purple complex in the concentration range $0,37 \div 7,4 \text{ mkg/ml}$ of Zr obey the law of Lambert-Beer. The technique of zirconium photometric determination is suggested.

1. Бусев А. И., Иванов В. М. Ж. аналит. химии, 18, 208 (1963).
 2. Бусев А. И., Иванов В. М., Ж. аналит. химии, 19, 1238 (1964).
 3. Nagarkar S. G., Eshwar M. C. Mikrochim acta, 5, 797, (1974); цит. по РЖХим. 1975, 4Г81.
 4. Манджгаладзе О. В. Труды молодых научных работников Тбилисского университета, 1, 47—57 (1972).
 5. Iotsuganagi Takao, Noshio Hitoshi, Aumura Kazuo. Anal. Chim. acta 71, 348—354 (1974); цит. по РЖХим. 1975, 278.
 6. Бусев А. И., Иванов В. М., Богданович А. И. Труды комиссии по аналитической химии, изд. «Наука», М., 17, 377—380 (1969).
 7. Органические реагенты в аналитической химии циркония. (Под ред. А. Н. Ермакова), Изд. «Наука», 16, 1970.
 8. Kallistratos G., Papan, A., Ossauski B. Anal. Chim. acta., 22, 195 (1960).
-

УДК 535.37

В. Е. КАРАСЕВ, В. С. ЧАГУЛОВ, Н. Ф. ЖАЛОНКИНА, Ц. А. ЧУБИНИДЗЕ

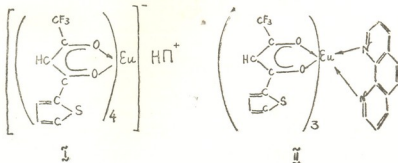
СТРОЕНИЕ И СПЕКТРАЛЬНО-ЛЮМИНЕСЦЕНТНЫЕ СВОЙСТВА ТЕНОИЛТРИФТОРАЦЕТОНАТОВ ЕВРОПИЯ В ПОЛИСТИРОЛЕ

Соединения состава $[\text{Eu}(\text{TTA})_4]\text{НП}$ и $[\text{Eu}(\text{TTA})_3]\text{Фен}$, где ТТА — теноилтрифторацетон, Фен — 1,10-фенантролин, НП — пиперидин интенсивно люминесцируют в красной области и хорошо растворимы в стироле, что позволяет использовать их в качестве активных добавок в полимерную матрицу [1]. К активированным волокнам предъявляются требования устойчивости в эксплуатации, высокого квантового выхода люминесценции, светопропускания световода и ряд других. Несомнена зависимость физических свойств материала от состава и строения примесных добавок при термической полимеризации стирола.

Представляло интерес проследить за строением и спектральными характеристиками люминесцирующих центров Eu^{+3} в кристаллическом состоянии и в полимерной основе.

Спектры люминесценции хелатных соединений европия снимались на спектрометре ДФС-12, фотоэлектрическая часть которого состоит из ФЭУ-36, усилителя постоянного тока и самописца ЭППВ-60 МЗ. Источник возбуждения — ртутная лампа ДРШ-250 ($\lambda_{\text{возб.}} = 366 \text{ нм}$), питаемая стабилизированным постоянным током. При низкотемпературных съемках образцы опускались в кварцевый сосуд Дьюара с жидким азотом.

Из работы [2] следует, что кристаллы исследуемых соединений построены из моноядерных комплексов. Координационное число центрального атома равно восьми, причем геометрия полиэдра РЗЭ в случае фторированных лигандов, как правило, является додекаэдрической [3]. В первом соединении координационный полиэдр европия образован восемью атомами кислорода четырех групп теноилтрифторацетона (I).



$[\text{Eu}(\text{TTA})_4]\text{НП}$

$\text{Eu}(\text{TTA})_3\text{Фен}$



Молекула пиперидина выступает в роли внешнесферного катиона. Строение Eu(TTA)₃ Фен подобно строению вещества приведенного в работе [4], где описаны структурные данные Eu(AA)₃ Фен, (AA₃ — тиацетон). В этом случае два координационных места восьмивершинника заняты атомами азота нейтральной молекулы фенантролина (II).

Как уже отмечалось, исследуемые соединения интенсивно люминесцируют при облучении УФ-лучами уже при 293°К (рис. 1). Однако взаимное наложение полос не позволяет установить число штарковских компонентов в области $^5D_0 - ^7F_j$ переходов. Спектр люминесценции Eu(TTA)₃Фен при 77°К в области $^5D_0 - ^7F_{0,1,2}$ переходов состоит из одного, трех и пяти штарковских компонентов соответственно. Основная доля излучения приходится на $^5D_0 - ^7F_2$ переход. Значения максимумов полос (cm^{-1}) приведены в таблице. Там же указана полуширина отдельных линий.

Таблица

Значения максимумов полос (cm^{-1}), относительных интенсивностей и полуширины (cm^{-1}) спектров люминесценции хелатов европия при 77°К.

переход	Eu(TTA) ₃ Фен			Eu(TTA) ₄ НП		
	кристал.	порош.	порош. в стироле	кристал.	порош.	порош. в стироле
$^5D_0 - ^7F_0$	17220 (9) [15]	17227 (20) [20]	17229 (21) [24]	17235 (2) [21]	17237 (?) [?]	17233 (13) [27]
$^5D_0 - ^7F_1$	16917 (17) [34]	16923 (12) [125]	16935 (12) [104]	16992 (4) [57]	16962 (5) [90]	16920 (8) [72]
	16892 (14) [16]	16873 (10) [125]	16873 (12) [123]	16794 (9) [36]	16864 (9) [100]	
	16751 (8) [25]	16758 (7) [90]	16758 (9) [90]	16784 (9) [36]	16814 (8) [?]	
					16790 (7) [72]	
					16749 (4) [?]	
$^5D_0 - ^7F$	16332 (100) [27]	16312 (90) [?]	16323 (100) [63]	16298 (100) [28]	16243 (97) [27]	
	16294 (44) [35]	16278 (100) [?]	16298 (82) [?]	16279 (58) [18]	16315 (100) [?]	
	16212 (28) [34]	16180 (25) [90]	16183 (31) [90]	16163 (11) [54]	16295 (77) [54]	
	16124 (12) [34]	16141 (7) [?]	16141 (16) [?]	16122 (3) [?]	16258 (40) [?]	
	15954 (3) [47]	16985 (3) [90]	15972 (4) [100]		16208 (27) [108]	
					16149 (13) [?]	

В круглых скобках приведена относительная интенсивность, в квадратных — полуширина.

При сопоставлении спектров Eu(TTA)₃Фен, снятых при 293 и 77°К, отмечен факт сдвига полос в красную область на 1—2 Å и сужение отдельных штарковских компонентов. Результаты спектроскопического исследования Eu(TTA)₃Фен, растворенного в стироле, приведены в таблице и на рис. 1. Отмечен факт уширения, частичного наложения, перераспределения интенсивностей отдельных полос спектра, что указывает на существенное взаимодействие комплекса и растворителя. Не исключено при этом, что для определенной концентрации раствора излучающие центры имеют окружение, отличное от исходного. При полимеризации стирола спектр люминесценции Eu(TTA)₃ Фен вновь «упрощается» и по распределению интенсивностей полос близок к кристаллическому. Такое поведение обусловлено уменьшением потерь поглощенной энергии на колебания составных частей комплекса. Анализ спектрологических данных Eu(TTA)₃ Фен однозначно указывает на то, что со-



став и строение комплекса сохраняются неизменным при внедрении его в полимерную матрицу. Это подтверждается наличием единичной линии 17224 cm^{-1} обусловленной переходом ${}^5D_0 - {}^7F_0$, трех линий, отнесенных к переходу ${}^5D_0 - {}^7F_1$ и пяти компонентов перехода ${}^5D_0 - {}^7F_2$, в которых отмечаются незначительные изменения в положении максимумов и интенсивностей полос.

Помимо трех теноилтрифторацетонатов к иону Eu^{+3} координи-

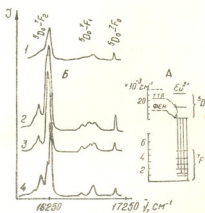


Рис. 1. Схема энергетических уровней (А) и спектры люминесценции $\text{Eu}(\text{TTA})_3\text{Фен}$ (В): 1. при 293°K , 2. в полистироле (77°K), 3. в стироле (77°K), 4. при 77°K .

руется атомами азота 1,0-фенантролина. Обладая яркой фосфоресценцией [5], молекула фенантролина значительную долю поглощенной энергии возбуждения через триплетный уровень (рис. 1) передает без излучательного на 5D уровень Eu^{+3} . Триплет находится в области 18000—22000 cm^{-1} . Этим объясняется высокая эффективность переноса возбуждения от лиганда на 5D_0 уровень иона европия, который лежит всего лишь на 800—900 cm^{-1} ниже, при этом излучение Eu^{+3} в таких смешанных соединениях с 1,10-фенантролином весьма интенсивно.

Необходимо отметить, что анион (TTA) также обладает интенсивной сине-зеленой фосфоресценцией и является хорошим донором энергии, а аддукты ряда РЭ с ним обладают достаточно высоким выходом люминесценции [6].

Тетракис-теноилтрифторацетонатоевропиат пиридиния также интенсивно люминесцирует. Его низкотемпературный спектр представлен на рис. 2. Характерные черты — интенсивная головная линия ${}^5D_0 - {}^7F_2$ перехода и незначительное расщепление (за счет практического вырождения электронных уровней) магнитного дипольного перехода ${}^5D_0 - {}^7D_1$. При растворении соединения в стироле наблюдается уширение и увеличение числа линий ${}^5D_0 - {}^7F_{0,1,2}$ переходов.

Усложнение спектра люминесценции тетракис-теноилтрифторацетонатоевропиата пиридиния при растворении в стироле обусловлено возникновением двух или более центров свечения иона европия, имеющего различное окружение. Причины такого поведения соединения при растворении может быть несколько и одна из главных, по-видимому, незначительная устойчивость комплекса, который претерпевает частичное разложение уже на солнечном свете. Испытание $[\text{Eu}(\text{TTA})_4]\text{НП}$

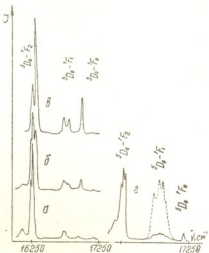
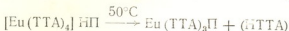


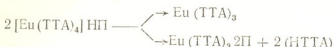
Рис. 2. Спектры люминесценции $\text{Eu}(\text{TTA})_4$ НП при 77°K : а) порошок, б) порошок высущен при 40°C вакуум $0,1 \text{ мм рт. ст.}$, в) порошок высущен при 55°C , вакуум $0,1 \text{ мм рт. ст.}$, г) в стироле

на термостойкость показывает, что уже при 50°C соединение склонно к потере в весе и изменению состава. Из низкотемпературного спектра люминесценции образца, подвергшегося предварительной термической обработке (40°C), следует, что интенсивность полос, относимых к исходному $[Eu(TTA)_4]NPF_6$, резко падает (рис. 2), появляется ряд новых полос. Дальнейшее нагревание до 50—55°C приводит к уменьшению общего числа полос переходов $^5D_0 \rightarrow ^7F_{1,2}$.

Один из возможных механизмов термического превращения



Однако не обнаружена однозначность при сопоставлении спектров люминесценции исходного продукта, растворенного в стироле, и образца, предварительно нагретого до 50°C. Так как при растворении в стироле не проводилось нагревание образца, то в этом случае не исключено превращение части тетракис-комплекса по схеме



Учитывая низкую температуру плавления теноилтрифторацетона ($42-43^{\circ}\text{C}$) и склонность к разложению уже на дневном свете [7], можно предположить, что отщепившаяся группа (TTA) не полностью уносится из реакционной зоны, а в свою очередь распадается на ацетилтиофен и трифтормукусную кислоту. Последняя склонна к вытеснению части (TTA) из сферы Eu^{+3} с образованием смешанных $\text{Eu}(\text{TTA})_x(\text{CF}_3\text{COO})_y$ примесных продуктов, также растворимых в стироле.

Тетракис-теноилтрифторацетонатоевропиат никлеридиния имеет тетрагональный центр люминесценции. Известно [8], что в случае тетрагональной симметрии C_{4v} уровень с $j=2$ расщепляется на четыре подуровня, а уровень с $j=1$ на два. Такая картина наблюдается для $[\text{Eu}(\text{TTA})_3]\text{NPF}_6$ где дублет $16794 - 16784 \text{ см}^{-1}$ перехода $^5D_0 - ^7F_1$ практически вырождается в одну полосу. Напротив, анализ числа и интенсивностей компонентов переходов $^5D_0 - ^7F_{1,2}$ кристаллического и виодренного в полимерную матрицу $[\text{Eu}(\text{TTA})_3]$ Фен указывает на более низкую симметрию центра свечения не выше C_2 , что согласуется с результатами рентгеноструктурного анализа.

Институт химии ДВНЦ АН СССР, Владивосток.
Институт кибернетики АН ГССР

Поступило 21.1.1978

3. ԳԱՐԵՎԵՐՈ, 3. ԽԱՑՈՅԾՈՅՅՈ, 6. ՊԱԼՈՎԻԿՈՎԱ, 3. ԽՈՎՈՒՅՈՎԱ

Հ Յ Ց Օ Ա Յ Ա

შესწავლითა ლუმინესცენციის სპექტრები კრისტალური და სტიროლ-ზი გახსნილი ექროპოლიმ ხელატებისა Eu(TTA)₃ ფენ და Eu(TTA)₄ ჴპ. სპექტროსკოპიული მონაცემების ანალიზის შედეგად დადგენილია, რომ ხელატი Eu(TTA)₃ ფენ ინარჩუნებს თავის შედგენილობას და ონაგობას პოლიმერულ მატრიცაში მისი ჩანერვებისას. კომპლექსი არ კარგავს თავის ლუმინეს-36



ცენტრული თვისებებს პოლიმერის შემდგომი გადამუშავებისას, კერძოდ, მიკრო-
ოპტიკური აქტიური ბოჭკოვანი შუქეგამტარების ფორმირებისას.

შესწავლით იონ-აქტივატორების ლუმინესცენციის ცენტრების წერტი-
ლოვები სიმეტრია.

დადგენილია, რომ Eu(TTA)₄NP გახსნისას სტიროლში წარმოიქმნება
ექროპიუმის იონის ნათების რამდენიმე ცენტრი, რომლებსაც აქვთ განსხვავე-
ბული გარემო.

გამოვლეულია Eu(TTA)₄NP-ს თერმული ქცევა. დადგენილია, რომ მო-
ცულ ხელატს ახასიათებს უმნიშვნელო თერმული მდგრადობა, რაც აძე-
ლებს სტიროლის პოლიმერიზაციის პროცესს ამ დანამატით.

V. E. KARASEV, V. S. CHAGULOV, N. F. ZHALONKINA, Ts. A. CHUBINIDZE

STRUCTURE AND SPECTRAL-LUMINESCENT PROPERTIES OF EUROPIUM TENOILTRIFLUOROACETONATES IN POLYSTYRENE

Summary

Luminescent spectra of crystalline and dissolved in styrene europium chelates Eu(TTA)₄PHEN and Eu(TTA)₄NP were studied.

The analysis of the spectroscopic data showed that the composition and structure of the chelate Eu(TTA)₄PHEN was conserved at its penetration into the polymer matrix. The complex does not lose its luminescent properties at the further polymer reprocessing — formation of optically active fibre light guides of it.

The point symmetry of the luminescent centres of activator ions has been studied. It is found that when Eu(TTA)₄NP is dissolved in styrene some centres of luminescence of europium ion appear, the latter having different environment.

Thermographic studies of Eu(TTA)₄NP were carried out. It is established that a given chelate is characterized by a slight thermal stability making styrene polymerization with this admixture more difficult.

ლიტერატურა — REFERENCES

1. Георгадзе Е. З., Капанадзе В. И., Кухарский Р. Н., Чагулов В. С. Сообщения АН ГССР 79, 581 (1975).
2. Порай-Кошиц М. А., Асланов Л. А., Корытный Е. Ф. Кристаллохимия 11, М. (1976).
3. Асланов Л. А., Порай-Кошиц М. А. Ж. Структ. химии 17, 836 (1974).
4. Watson W. H., Williams R. G., Stempfle N. R. g. Inorg. Nucl. Chem., 34, 501 (1972).
5. Brinen G. S., Rosebrook D. D., Hirt R. C. J. Phys. chem., 67, 2651 (1963).
6. Dawson W. R., Kropp G. L., Windson M. W. J. Chem. phys., 45, 2410 (1966).
7. Стары И. Экстракция хелатов. «Мир», М., 1966.
8. Гайдук М. И., Золин В. Ф., Гайгерова Л. С. Спектры люминесценции европия. «Наука», М., 1974.

ОРГАНИЧЕСКАЯ ХИМИЯ

УДК 541.64.547.1'128

Л. М. ХАНАНАШВИЛИ, Д. Ш. АХОБАДЗЕ, Л. Г. КИПИАНИ

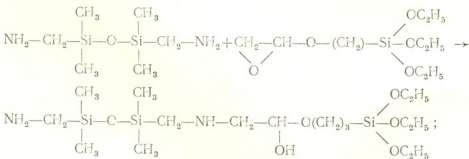
ВЗАИМОДЕЙСТВИЕ α , ω -БИС(АМИНОМЕТИЛ)ДИАЛКИЛСИЛОКСАНОВ С γ -ГЛИЦИДОКСИТРИМЕТИЛЕНТРИЭТОКСИСИЛАНОМ

Интерес к элементоорганическим эпоксисодержащим соединениям вызван тем, что они с успехом применяются для получения полимерных продуктов, отличающихся термостойкостью, хорошими диэлектрическими показателями, адгезией к металлам и др. В отверженном состоянии они устойчивы при высоких температурах и имеют хорошие термомеханические показатели [1—3]. Введение в полимерную цепь органосилоксановых фрагментов позволяет получать полимеры, характеризующиеся высокими физико-механическими и электрическими свойствами.

Настоящая работа посвящена исследованию взаимодействия 1,3-бис(аминометил)тетраметил-, 1,3-бис(аминометил)тетраэтилдисилоксанов и 1,5-бис(аминометил)гексаметилтрисилоксана с γ -глицидокситриметилентриэтоксисиланом.

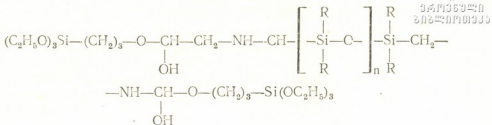
Исследования показали, что реакция α , ω -бис(аминометил)диалкилсилоксанов с γ -глицидокситриметилентриэтоксисиланом протекает при комнатной температуре как в среде растворителя, в атмосфере азота, так и без растворителя и азота.

На первой стадии, при мольном соотношении исходных компонентов 1:1 реакция 1,3-бис(аминометил)тетраметилдисилоксана с γ -глицидокситриметилентриэтоксисиланом протекает с раскрытием эпоксидного кольца по следующей схеме:



Аналогично протекают реакции 1,3-бис(аминометил)тетраэтилдисилоксана и 1,5-бис(аминометил)гексаметилтрисилоксана с γ -глицидокситриметилентриэтоксисиланом.

Если же эти реакции проводить при мольных соотношениях исходных компонентов 1:2, то образуются продукты следующего строения:



где $\text{R}=\text{CH}_3, \text{C}_2\text{H}_5$; $n=1$ и 2 .

За ходом первоначальной стадии реакции следили по уменьшению эпоксидных групп (рис. 1).

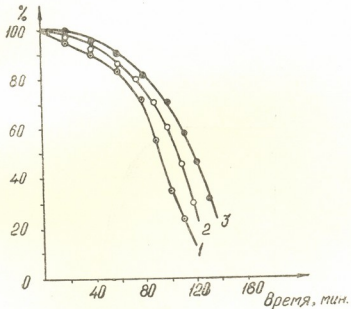


Рис. 1. Зависимость изменения во времени концентрации эпоксидных групп γ -глицидокситриметилентриэтилксиланы с 1.1. 3-бис(аминометил)тетраметилдисилоксаном, 2.1. 3-бис(аминометил)тетраэтилдисилоксаном, 3.1. 5-бис(аминометил)гексаметилтрисилоксаном

В трехгорлую колбу, снабженную мешалкой, обратным холодильником и трубкой для продувки азота, загружали 5 г 1,3-бис(аминометил)тетраметилдисилоксана и 5,93 г γ -глицидокситриметилентриэтилксилана. Реакцию проводили при комнатной температуре в течение 3 часов. Реакционную смесь растворяли в 50 мл кипящего бензола и переосаждали гексаном. Фракционным переосаждением выделили три фракции: I фр. — 60%, II фр. — 25%, III фр. — 5%. Оказалось, что все фракции имеют один и тот же элементный состав, что свидетельствует об образовании олигомеров, получаемых по вышеуказанной схеме.

Аналогично вышеприведенной методике проводили реакцию 1,3-бис(аминометил)тетраэтилдисилоксана и 1,5-бис(аминометил)гексаметилтрисилоксана с γ -глицидокситриметилентриэтилксиланом.

Непосредственно перед употреблением готовили 0,1 N раствор соляной кислоты в ацетоне. Навеску, содержащую эпоксидные группы 0,1--0,2 г, взятую на аналитических весах, помещали в колбу с притертой пробкой и заливали 15 мл раствора соляной кислоты в ацетоне. Выдерживали 2 часа при комнатной температуре. Параллельно ставили контрольный опыт, затем оттитровывали непрореагированную соляную кислоту 0,2 N раствором щелочи в присутствии фенолфталеина [4].

Содержание эпоксидных групп рассчитывали по формуле:

$$X = \frac{(V - V_1) \cdot 1,07 \cdot 0,029 \cdot 100}{q},$$

где V — объем 0,1 N раст. HCl, израсходованного на титрование контрольной пробы, /мл/;

V_1 — объем 0,1 N раст. NaOH, израсходованного на титрование рабочей пробы /мл/;

q — навеска исследуемого образца;

1,07 — поправочный коэффициент 0,1 N раствора NaOH.

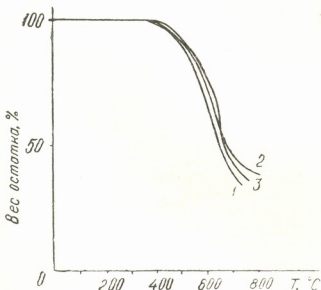


Рис. 2. Термогравиметрические кривые структурированных полимеров на основе γ -глиcidокситrimетилентриэтиксиланом и 1.1, 3-бис(аминометил)тетраметилдисилоксана, 2.1, 3-бис(аминометил)тетраэтилдисилоксана, 3.1, 5-бис(аминометил)гексаметилтрисилоксана

Результаты элементного анализа и выход продуктов взаимодействия α -бис(аминометил)дикарбонильных соединений с γ -глиcidокситrimетилентриэтиксиланом, полученных при 25°C в течение трех часов, приведены в таблице.

При мольном соотношении исходных компонентов 1:1 на первой стадии реакции образуются растворимые в органических растворителях смелообразные продукты, удельная вязкость 1%-го бензольного растворения

вора которых составляет: для продукта I — 0,08, продукта II — 0,039, и продукта III — 0,1.

В случае же мольных соотношений исходных компонентов 1:2 образуются эластичные, прозрачные, растворимые в органических растворителях продукты с удельной вязкостью 1% -го бензольного раствора 0,095 (продукт IV), 0,15 (продукт V), 0,4 (продукт VI).

Таблица 1

Условия синтеза и элементный анализ продуктов взаимодействия α, ω -бис(аминометил)диалкилсилоксанов с α -глицидокситриметильтоксисилипном

Исходные α, ω -бис(аминометил)- диалкилсилоксаны	Мольное соотн. исход. компо- нентов	Выход, %	Элементный сос- тав, %			
			Найдено			
			Вычислено			
			C	Si	N	H
I. $\text{NH}_2-\text{CH}_2-\overset{\text{CH}_3}{\underset{\text{CH}_3}{\text{Si}}}-\text{O}-\overset{\text{CH}_3}{\underset{\text{CH}_3}{\text{Si}}}-\text{CH}_2-\text{NH}_2$	1:1	90	43,0 43,2	19,1 18,2	6,8 6,3	10,0 9,9
II. $\text{NH}_2-\text{CH}_2-\overset{\text{C}_2\text{H}_5}{\underset{\text{C}_2\text{H}_5}{\text{Si}}}-\text{C}-\overset{\text{C}_2\text{H}_5}{\underset{\text{C}_2\text{H}_5}{\text{Si}}}-\text{CH}_2-\text{NH}_2$	1:1	87	50,1 49,9	17,2 19,6	6,0 5,4	10,7 9,4
III. $\text{NH}_2-\text{CH}_2-\overset{\text{CH}_3}{\underset{\text{CH}_3}{\text{Si}}}-\text{O}-\overset{\text{CH}_3}{\underset{\text{CH}_3}{\text{Si}}}-\text{O}-\overset{\text{CH}_3}{\underset{\text{CH}_3}{\text{Si}}}-\text{CH}_2-\text{NH}_2$	1:1	92	44,1 43,9	19,9 18,6	6,3 5,4	10,0 9,4
IV. $\text{NH}_2-\text{CH}_2-\overset{\text{CH}_3}{\underset{\text{CH}_3}{\text{Si}}}-\text{C}-\overset{\text{CH}_3}{\underset{\text{CH}_3}{\text{Si}}}-\text{CH}_2-\text{NH}_2$	1:2	90,5	48,1 48,7	14,5 14,0	3,3 3,8	10,2 9,32
V. $\text{NH}_2-\text{CH}_2-\overset{\text{C}_2\text{H}_5}{\underset{\text{C}_2\text{H}_5}{\text{Si}}}-\text{O}-\overset{\text{C}_2\text{H}_5}{\underset{\text{C}_2\text{H}_5}{\text{Si}}}-\text{CH}_2-\text{NH}_2$	1:2	86,9	48,1 48,9	15,8 15,2	4,0 3,8	10,7 10,3
VI. $\text{NH}_2-\text{CH}_2-\overset{\text{CH}_3}{\underset{\text{CH}_3}{\text{Si}}}-\text{O}-\overset{\text{CH}}{\underset{\text{CH}_3}{\text{Si}}}-\text{O}-\overset{\text{CH}_3}{\underset{\text{CH}_3}{\text{Si}}}-\text{CH}_2-\text{NH}_2$	1:2	88	45,8 45,3	17,2 17,6	4,0 3,5	10,1 9,3

Синтезированные продукты растворяли в кипящем бензоле, перекладали гексаном и сушили при температуре 25°C (1 мм) в течение 8 часов. Однако синтезированные продукты при стоянии при комнат-

ной температуре, а также при их переосаждении легко структурируются с образованием сетчатого строения. Это, по-видимому, объясняется протеканием в дальнейшем процессов, связанных с внутри- и межмолекулярными взаимодействиями между функциональными группами продуктов.

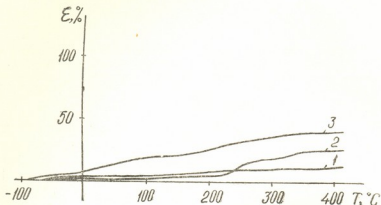


Рис. 3. Термомеханические кривые структурированных полимеров на основе 7-глицидокситриметилентриэтилкислана и 1,1, 3-бис(аминометил)тетраметилдисилоксана, 2,1, 3-бис(аминометил)тетраэтилдисилоксана, 3,1, 5-бис(амино-
метил)гексаметилдисилоксана

В ИК-спектрах продуктов, синтезированных на первой стадии (I—VI), а также структурированных полимеров отсутствуют полосы поглощения в области 1260—1240 см⁻¹, 1165—865 см⁻¹, характерные для эпоксидного кольца в цепи, и 3030 см⁻¹, характерные для СН-групп эпоксидного кольца. Это свидетельствует о том, что реакции α , ω -бис(аминометил)дикарбонильных соединений с γ -глицидокситристилентриэтиоксилином во всех случаях протекают количественно.

Термогравиметрический анализ структурированных продуктов (IV—VI) показал (рис. 2), что при нагреве со скоростью $4^{\circ}\text{C}/\text{мин}$ они начинают терять массу при температуре 390 — 400°C , а при 500°C потеря массы составляет 8 — 10% . Термомеханические свойства структурированных продуктов (рис. 3) свидетельствуют о сшитой структуре полимеров. Температура стеклования их лежит в области -90 ... $+90^{\circ}\text{C}$.

Тбилисский государственный университет

Поступило 14.VI.1977

109202009 13 - CPGWards 91 - Gloucestershire

၁၁။ မြန်မာနိုင်ငံတော်လွှာအတွက် ပေးသွေ့ချောင်းဆောင်ရွက်ရန် ပေးသွေ့ချောင်းဆောင်ရွက်ရန် ပေးသွေ့ချောင်းဆောင်ရွက်ရန်

၁၇၈၀

შესწავლილია 1,3-ბის(ამინომეთილ)ტეტრამეთილ-1,3-ბის(ამინომეთილ)ტეტ-
რაეთილდისილოქსანებისა და 1,5-ბის(ამინომეთილ)ჰექსამეთილტრისილოქსანის



ურთიერთობების რეაქცია γ -გლიციდოქსიტრიმეთოლენტრიეთოქსისილფიზიკურია დადგნილია, რომ რეაქციის შედეგად γ -გლიციდოქსიტრიმეთოლენტრიეთოქსი-სილანის ეპოქსილური რეალები ისსნება და წარმოიქმნება როგორც მონო-, ასევე დიმიკროტების პროდუქტები.

ნაჩენებია, რომ სინთეზირებული პროდუქტები დაყოვნების შემდეგ, ჰექსანდრი გადალევისას, განიცდიან სტრუქტურირებას და წარმოქმნიან სიცრ-ცით პოლიმერს.

სინთეზირებული პროდუქტები შესწავლილია ინფრაჭითელი სპექტრო-სკოპით და ელემენტური ანალიზით. შესწავლილია სტრუქტურირებული პო-ლიმერების თერმოგრავიმეტრიული და თერმომექანიკური თვისებები.

L. M. KHANANASHVILI, D. Sh. AKHOBADZE, L. G. KIRIANI

INTERACTION BETWEEN α , ω -BIS(AMINO-METHYL)DIALKY-
LOXANES AND γ -GLYCIDEOKTRIMETHYLENE
TRIETHOXYSILANE

S u m m a r y

The reaction of 1, 3-bis(amino-methyl)tetramethyl-, 1,3-bis(amino-methyl)tetraethyl disiloxanes and 1,5-bis(amino-methyl)hexamethyl trisiloxane with γ -glycideoktrimethylene were studied and it was shown that during the reaction the epoxide ring in γ -glycideoktrimethylene triethoxysilane opened and the products of mono- and di-additions were formed respectively.

It was shown that at reprecipitation of the synthesized products their structurization occurred with formation of insoluble polymers with net-shaped structure.

Thermogravimetric and thermomechanical properties of the obtained polymers were studied.

ლიტერატურა — ЛИТЕРАТУРА — REFERENCES

1. Пакен А. М. Эпоксидные соединения и эпоксидные смолы, Ленинград, 1962.
2. Соболевский М. В., Живач А. И., Саришвили И. Г., Гринева К. П., Беюл С. И. Пластические массы, № 4, 19—21, 1966.
3. Khanh P. N., Koipima H. Makromol. Chem., 134, 253 (1970).
4. Торосева А. М., Белогородская К. В., Бондаренко В. М. Лабораторный практикум по химии и технологиям высокомолек. соед., Л., изд. Химия, 137, 1972.

УДК 541.128

А. В. ДОЛИДЗЕ, Г. И. БАЛАРДЖИШВИЛИ, Х. И. АРЕШИДЗЕ

ПРЕВРАЩЕНИЯ 1,2-ДИМЕТИЛЦИКЛОПЕНТЕНОВ НА СИНТЕТИЧЕСКИХ ЦЕОЛИТАХ

В продолжение проводимых нами исследований превращений углеводородов ряда циклопентена в присутствии алюмосиликатных катализаторов в настоящей работе изучено поведение 1,2-диметилциклоалканов-1 и -2 на синтетических цеолитах типа А, X, Y, M в натриевой и водородной формах.

Указанные синтетические цеолиты имеют различные молекулярно-свойства, что позволяет выявить некоторые особенности протекания реакции.

Таблица 1

Состав катализаторов (в вес.%) 1,2-диметилциклоалкана -I, полученных в присутствии NaM и HM импульсным методом

°С, Катализатор	150		200		250		300		350	
	NaM	HM								
1,2-Диметилциклоалкан-2	12	12	18	18	20	18	21	18	17	11
Цис-1,2-Диметилциклоалкан	0	0	0	0	8	11	17	19	20	23
Транс-1,2-Диметилциклоалкан	0	0	0	0	4	5	5	7	4	7
1,3-Диметилциклоалкан	0	0	0	0	2	2	2	2	3	2
1-Метилциклогексен-1	0	0	0	0	2	2	6	6	6	9
1-Метилциклогексен-3	0	0	0	0	0	0	3	3	4	4
Метилциклогексан	0	0	0	0	0	0	3	5	4	9
Продукты разрыва C-C связи	0	0	0	0	0	0	1	1	2	9
Исходный										
1,2-Диметилциклоалкан-1	88	88	82	82	64	62	43	39	40	26

Влияние формы, а также температурного фактора на каталитические свойства цеолитов можно проследить по данным таблицы 1.

Протекают реакции миграции двойной связи, перераспределения водорода, а также расширения кольца и в малой степени разрыва C—C связей. В первую очередь, следует отметить, что на изучаемых катализаторах при реакции перераспределения водорода преимущественно образуется цис-изомер 1,2-диметилциклоалкана. С повышением температуры на цеолитах типа морденита величина соотношения цис : транс возрастает.

На катализаторах, более активных в отношении реакции перераспределения водорода (НХ и НУ), наоборот, транс-изомер получается в больших количествах (см. табл. 2).

Состав катализаторов (в вес. %) 1,2-диметилцикlopентена-1, полученных в присутствии синтетических цеолитов при 350° импульсным методом

Соединение	Катализатор								
	NaA	HA	NaX	CaX	HX	NaY	HY	NaM	HM
1,2 - Диметилцикlopентен-2	9	27	18	19	10	21	6	17	11
Цис- 1,2 - Диметилцикlopентан	0	0	10	11	8	16	8	20	23
Транс- 1,2-Диметилцикlopентан	0	0	5	4	20	6	12	4	7
1,3-Диметилцикlopентан	0	0	3	2	14	3	20	3	2
1-Метилциклогексен-1	0	0	4	6	1	6	0	6	9
1-Метилциклогексен-3	0	0	0	0	0	2	2	4	4
Метилциклогексан	0	0	4	3	18	2	14	4	9
Продукты разрыва С-С связи	0	0	0	0	26	0	36	2	9
Исходный									
1,2 - Диметилцикlopентен-1	91	73	56	55	3	44	2	40	26

Аналогичная с превращениями 1,2-диметилцикlopентена-1 (1,2-ДМЦП-1) картина наблюдается и в случае 1,2-диметилцикlopентена-2 (1,2-ДМЦП-2) (см. табл. 3). Как следует из данных этой таблицы, по-

Таблица 3

Состав катализаторов (в вес. %) 1,2-диметилцикlopентена-2, полученных в присутствии NaM HM импульсным методом

Соединение	°С. Катализатор									
	150		200		250		300		350	
	NaM	HM	NaM	HM	NaM	HM	NaM	HM	NaM	HM
1,2-Диметилцикlopентен-1	87	86	83	84	72	70	56	40	30	21
Цис-1,2-Диметилцикlopентан	0	0	0	0	3	3	6	11	12	14
Транс-1,2-Диметилцикlopентан	0	0	0	0	3	3	3	6	6	8
1-3-Диметилцикlopентан	0	0	0	0	0	2	3	6	5	7
1-Метилциклогексен -1	0	0	0	0	2	2	4	6	10	6
1-Метилциклогексен -2	0	0	0	0	0	0	2	3	5	4
Метилциклогексан	0	0	0	0	0	1	5	12	15	18
Продукты разрыва С-С связи	0	0	0	0	0	1	2	3	3	7
Исходный										
1,2 - Диметилцикlopентен-2	13	14	17	16	20	18	19	13	14	12

видимому, превращения идут, главным образом, через 1,2-ДМЦП-1, т. е. превращения можно представить по схеме (1):

Таблица 2

Состав катализаторов (в вес. %) 1,2-диметилцикlopентена-1, полученных в присутствии синтетических цеолитов при 350° импульсным методом

Соединение	Катализатор								
	NaA	HA	NaX	CaX	HX	NaY	HY	NaM	NM
1,2 - Диметилцикlopентен-2	9	27	18	19	10	21	6	17	11
Цис- 1,2 - Диметилцикlopентан	0	0	10	11	8	16	8	20	23
Транс- 1,2-Диметилцикlopентан	0	0	5	4	20	6	12	4	7
1,3-Диметилцикlopентан	0	0	3	2	14	3	20	3	2
1-Метилциклогексен-1	0	0	4	6	1	6	0	6	9
1-Метилциклогексен-3	0	0	0	0	0	2	2	4	4
Метилциклогексан	0	0	4	3	18	2	14	4	9
Продукты разрыва C-C связи	0	0	0	0	26	0	36	2	9
Исходный									
1,2 - Диметилцикlopентен-1	91	73	56	55	3	44	2	40	26

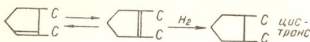
Аналогичная с превращениями 1,2-диметилцикlopентена-1 (1,2-ДМЦП-1) картина наблюдается и в случае 1,2-диметилцикlopентена-2 (1,2-ДМЦП-2) (см. табл. 3). Как следует из данных этой таблицы, по-

Таблица 3

Состав катализаторов (в вес. %) 1,2-диметилцикlopентена-2, полученных в присутствии NaM NM импульсным методом

Соединение	°С, Катализатор									
	150		200		250		300		350	
	NaM	NM	NaM	NM	NaM	NM	NaM	NM	NaM	NM
1,2-Диметилцикlopентен-1	87	86	83	84	72	70	56	40	30	24
Цис-1,2-Диметилцикlopентан	0	0	0	0	3	3	6	11	12	14
Транс-1,2-Диметилцикlopентан	0	0	0	0	3	3	3	6	6	8
1-3-Диметилцикlopентан	0	0	0	0	0	2	3	6	5	7
1-Метилциклогексен-1	0	0	0	0	2	2	4	6	10	6
1-Метилциклогексен-3	0	0	0	0	0	0	2	3	5	4
Метилциклогексан	0	0	0	0	0	1	5	12	15	18
Продукты разрыва C-C связи	0	0	0	0	0	1	2	3	3	7
Исходный										
1,2 - Диметилцикlopентен-2	13	14	17	16	20	18	19	13	14	12

видимому, превращения идут, главным образом, через 1,2-ДМЦП-1, т. е. превращения можно представить по схеме (1):



Это подтверждается и данными таблицы 4.

Кроме указанных основных направлений превращений протекают реакции расширения цикла до шестичленного с получением метилциклогексенов, при гидрировании последних получается метилциклогексан. Доля продуктов реакции расширения кольца достигает максимального значения на НМ — 22%, в случае 1,2-ДМЦП-1, и 28%, в случае 1,2-ДМЦП-2.

Таблица 4

Состав катализаторов (в вес. %) 1,2-диметилициклопентена-2, полученных в присутствии синтетических цеолитов при 350° импульсным методом

Соединение	Катализатор								
	NaA	HA	NaX	CaX	NX	NaY	НУ	NaM	HM
1,2 - Диметилициклопентен-1	16	60	43	35	3	20	2	30	24
Цис-1,2-Диметилициклопентан	0	0	10	12	10	15	14	13	14
Транс - 1,2-Диметилициклопентан	0	0	4	3	15	10	16	7	8
1,3 - Диметилициклопентаны	0	0	3	3	16	7	17	5	7
1-Метилциклогексен-1	0	0	7	7	0	6	0	10	6
1-Метилциклогексен-3	0	0	2	4	0	4	0	5	4
Метилциклогексан	0	0	12	14	12	16	14	15	18
Продукты разрыва С-С связей	0	0	0	1	36	8	30	4	7
Исходный									
1,2 - Диметилициклопентен-2	84	40	19	21	8	14	7	14	12

Происходит также перемещение метильной группы с образованием 1,3-диметилициклопентанов. Эта реакция, как и ожидалось, интенсивнее идет на катализаторах, более активных в реакции перераспределения водорода.

Отдельно следует остановиться на реакциях с разрывом С—С связи. Эти реакции, в основном, протекают на более активных катализаторах НУ и NX. Образуются несколько веществ: продукты отрыва метильных радикалов и низкомолекулярные олефины. Проведение полной идентификации продуктов разрыва С—С не сочли необходимым, так как изучение этой реакции не является предметом данного исследования.

Чтобы исключить влияние фактора различной десорбции из пор цеолитов цис- и транс-1,2-диметилициклопентанов (вследствие разного объема изомеров) в качестве катализатора использовали морденит, в присутствии которого реакции должны протекать на внешней поверхности катализатора. Поэтому преимущественное образование цис-изомера можно отнести за счет пространственных взаимодействий по-

верхности катализатора и связанного с ним карбоний — иона углеводорода.

Данные, полученные по реакциям миграции двойной связи и перераспределения водорода 1,2-диметилцикlopентенов на NaM и HM, представлены в виде кривых на рис. 1 и 2. Из сопоставления этих кривых видно, что, независимо от исходного углеводорода (в одном случае — 1,2-ДМЦП-1, а в другом — 1,2-ДМЦП-2), характер реакции одинаков. Кроме того, можно сделать вывод, что уже при 150—200°, в изучаемых условиях достигается термодинамическое равновесие



Эта реакция протекает очень быстро. Схема (1) основных превращений 1,2-диметилцикlopентенов подтверждается и подобием кривых на рис. 1 (а, б).

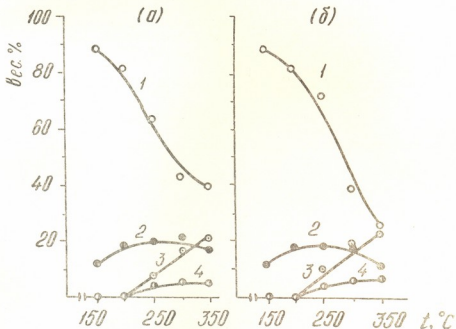


Рис. 1. Состав катализаторов 1,2-ДМЦП-1 (а) и 1,2-ДМЦП-2 (б), полученных в присутствии NaM и HM при 350° импульсным методом.



Из приведенных результатов, по нашему мнению, можно сделать вывод о том, что цис-присоединение водорода на алюмосиликатных катализаторах (в частности, синтетических цеолитах) происходит значительно легче транс-присоединения. В присутствии изученных нами менее активных неметаллических катализаторов и с повышением температуры в большей степени идет цис-присоединение, хотя на



сравнительно активных катализаторах НХ и НУ уже преобладает транс-изомер (при 350°). Здесь же следует упомянуть, что и при ¹³C-NMR в некоторых температурах протекания реакции перераспределения водорода имеет место транс-присоединение. Таким образом, в присутствии алюмосиликатных катализаторов идет присоединение как в цис-, так и в транс-форме, но преимущественным направлением является получение цис-изомера, а на сравнительно активных катализаторах, кроме того, возможно, идет изомеризация цис- в транс-форму, что согласуется с мнением других исследователей [1].

Каталитические превращения проведены импульсным методом [2]. Катализаторы достигали «постоянной активности» после 5—6 импульсов. В расчетах использовались средние значения 6—10 импульсов. Следует отметить, что в присутствии цеолитов типа фожазита часть введенной пробы остается в порах этих катализаторов. Поэтому для Х и У приведены данные, полученные лишь при 350°, так как на этой температуре необратимая адсорбция введенной пробы незначительна. Многоступенчатый синтез исходных углеводородов проводили по методу [1]. Идентификацию полученных катализаторов проводили при помощи, в основном, ГЖХ, а также спектральными методами: ИК, ЯМР и лазерного комбинированного рассеяния. Ранее было проведено подобное ИК-спектроскопическое исследование катализаторов типа У и М, а также адсорбированных на них паров 1,2-диметилцикlopентена-1 [3].

Институт физической и органической химии
им. П. Г. Меликишвили АН ГССР

Поступило 15.VI.1978

А. ՇՈՂԱՊՈՅ, Ց. ՑԱՂԱՐՃՈՅԱՆ, Ֆ. ԱԿՈՅՈՒԹՅՈՒՆ

1,2-ԳՈՎԵՏՈԼԿՈՎԱԼՈՎԱՅԻՐԵԲՈՅԱՆ ՀԱԽԵՎԱՅՈՎ ՍՈՅՄԱՉԵԿ ՅՈՎՈՎՈՎԵԶՅԱ

ՀՐՑՈՒՑ ՑԵ

Մեսֆիզոլոյա 1,2-գոմետոլկովալովենտրէնեօն ցարդայմենեծո նաւրումուս დա վայալծածու գոռմիս A, X, Y, M բանու ցըռլութեցնեց. Ցոմքունարշոմի որմացո ծմուն մօցհացուս, վայալծածու ցարդայմիլունեծու, աւազ հցոլուս ցայսարտունեծու դա մըունց եարունեու C—C ծմեծու ցաշչացունեծու հրայցունեծու. աղնունշունունուա, հոմ Մեսֆիզոլ յարալունարունեցնեց վայալծածու ցարդայմիլունեծու հրայցունեծու գումար շմերյասագ մօւլցա ցուս-1,2-գոմետոլկովալովենտրան.

Ցուպեմշունուա 1,2-գոմետոլկովալովենտրէնեօն ցարդայմենեծու սյեմա, հոմելու շուրուցա մատ սրտուրտցարդայմնաս, Մեմքագոմմա ցուս- դա ტրանս-1,2-գոմետոլկովալովենտրան մօւլցա 1,2-գոմետոլկովալովենտրէն-1-նեց ցավունու. աշ-յահաա, հոմ 1,2-գոմետոլկովալովենտրէնեօն սրտուրտցարդայմնուս հրայցունալունեց սիրացագ մօմքունարշոմի. ցըռլութեցնու ցորունցուն օնչոմքրէնուս ցան-սեցացնունու ցըսորնձուս ցայցունունուս մօնենու, Մեսֆիզոլոյա հրայցու մօհրդունիք 150—350° ներյուցալուն. ցամուխմունուս մուսանշունեծո, հոմ շմերյասագ ցուս-1,2-գոմետոլկովալովենտրանուս վարմոյմնա ցածունացնունուա յարալունարունուս նեցածունուս դա մասուն լայացնունունու նաեմունշուալմար ցարծոնումուս ունուս և ուղարկունուցու սրտուրտցարդայմենեծու. ցայցունունու դաս-կանա օմուս Մեսանեծո, հոմ Մեսֆիզոլոյա ալլումուսունույարուն յարալունարունեցնեց նշալծածու մօյուրուն մօմքունարշոմի. հոգուն մազրամ շնորհացու մօմարտունուն վարմունցն ցուս-օնչոմքրէնուս մօւլցա, եռլու Մեցարդեցու յէրուն յարալունարունեցնեց, ցարդա ամուս, սացարանուն ցուս-ցորմուս օնչոմքրունացուս մօմքունարշոմի. ტրանս-ցորմանու.

CONVERSION OF 1,2-DIMETHYL CYCLOPENTENES ON SYNTHETIC ZEOLITES

S u m m a r y

The behaviour of 1,2-dimethyl cyclopentenes on synthetic zeolites of the types A, X, Y, M in sodium and hydrogen forms has been studied. The following reactions proceed: migration of the double bond, hydrogen redistribution, expansion of the ring and to a little degree breaking of C—C bonds. It is noted that using the studied catalysts at the reaction of hydrogen redistribution most cis-isomer of 1,2-dimethyl cyclopentene is formed.

A scheme of 1,2-dimethyl cyclopentenes is given. It is shown that these conversions proceed through 1,2-dimethyl cyclopentene-1. It is concluded that on the studied aluminium silicate catalysts hydrogen addition occurs both in cis- and in trans-forms, but most cis-isomers are obtained and on relatively active catalysts, in addition, isomerization of cis-into trans-form may take place.

ЛІТЕРАТУРА — REFERENCES

1. Либерман А. Л., Брагин О. В., Гурьяннова Г. К., Казанский Б. А. Докл. АН СССР, **148**, 591 (1963).
2. Арешидзе Х. И., Эйдус Я. Т., Лапидус А. Л., Долидзе А. В. Докл. АН СССР, **198**, 90 (1971).
3. Арешидзе Х. И., Долидзе А. В., Чарквиани М. К., Баларджишишвили Г. И. Сб. Применение цеолитов в катализе, Изд. СО АН СССР, стр. 61, 1976.

УДК 547.345.

А. И. НОГАИДЕЛИ, Л. И. НАКАИДЗЕ, В. С. ЦХОВРЕБАШВИЛИ

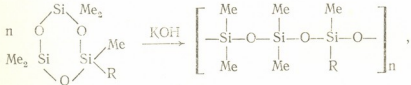
АНИОННАЯ ПОЛИМЕРИЗАЦИЯ АРИЛ/ДИАРИЛ/ЭТИЛ- И ВИНИЛОРГАНОЦИКЛОСИЛОКСАНОВ

Высокомолекулярные полирганосилоксаны линейного строения, главным образом, получаются методом катализитической полимеризации органоциклических силикоксанов.

В литературе мало сведений, касающихся реакции полимеризации органоциклических силикоксанов с жирноароматическими заместителями у атома кремния [1, 2].

С целью установления реакционной способности жирноароматических органоциклических силикоксанов в реакции анионной полимеризации, а также для получения силикоксовых полимеров с арилзамещенными этильными и винильными радикалами у атома кремния, была осуществлена реакция анионной полимеризации органоциклотрисилоксанов с арилзамещенными этильными и винильными группами у атома кремния.

Полимеризация указанных органоциклотрисилоксанов была проведена в блоке при температуре 60—70°C в присутствии порошкообразного KOH (0,20 от массы исходного цикла). Для сравнения реакционной способности органоциклотрисилоксанов с жирноароматическими радикалами в зависимости от положения фенильных заместителей относительно атому кремния в тех же случаях была проведена реакция анионной полимеризации пентаметилфенил- и пентаметилбензилциклотрисилоксанов:



где: R=—ph (VI), —CH₂ph (I), —C₂H₄ph (II), —CH₂CHph₂ (III), —CHph—CH₂ph (IV), —C(ph)=CHph (V)

Полимеризация вышеуказанных органоциклотрисилоксанов в присутствии KOH идет довольно легко и образуются высокомолекулярные соединения с η_{sp} 0,068 до 0,38.

Изменение удельной вязкости от времени полимеризации представлено на рисунке. Как видно из данных рисунка, кривые изменения вязкости от времени носят экстремальный характер. В начале полимеризация протекает с большой скоростью и с быстрым нарастанием удельной вязкости, однако вязкость начинает падать, что, видимо, связано с увеличением конкурирующего процесса деполимеризации

и в конце реакции достигает постоянной величины вследствие изменения равновесия системы цикл \rightleftharpoons полимер.

Было установлено, что повышение температуры реакционной смеси приводит к структурированию, что, очевидно, связано с процессом отщепления жирноароматических радикалов под действием KOH при повышенной температуре по связи Si—C; оптимальной температурой реакции полимеризации арил/диарил/этил- и винилоргансилоксанов можно считать 60—70°C.

Способность изученных циклов к реакции полимеризации уменьшается в следующем ряду:

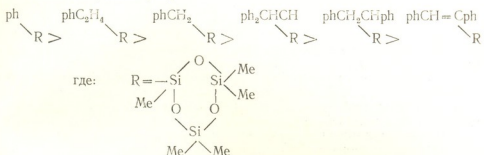
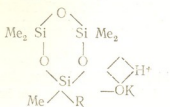


Таблица 1
Физико-химические характеристики и элементный состав синтезированных полимеров

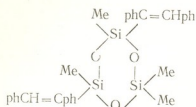
№ сост.- вз.	Формула эл. звена	$\eta_{\text{уд}}$	$T_{\text{тек.}}^{\circ}\text{C}$	Найдено, %		Вычислено, %			
				C	H	C	H		
I	$-(\text{SiMe}_2\text{O})_2 \text{SiMeO}$ $\quad \quad \quad \text{C}_6\text{H}_5\text{Ph}$	0,34	+10	47,61 47,32	7,71 7,92	28,61 28,65	47,27 47,95	7,43 7,74	28,22 26,92
II	$-(\text{SiMe}_2\text{O})_2 \text{SiMeO}$ $\quad \quad \quad \text{C}_6\text{H}_4\text{Ph}$	0,38	+10	50,03 50,21	8,00 8,05	27,00 27,03	47,95 47,71	7,74 7,26	26,92 21,68
III	$-(\text{SiMe}_2\text{O})_2 \text{SiMeO}$ $\quad \quad \quad \text{CH}_2\text{C}_6\text{H}_5$	0,128	+5	59,00 58,81	7,75 7,31	21,86 21,97	58,71 58,71	7,26 7,26	21,68 21,68
IV	$-(\text{SiMe}_2\text{O})_2 \text{SiMeO}$ $\quad \quad \quad \text{C}_6\text{H}_5(\text{Ph})\text{CH}_2\text{Ph}$	0,109	-18	58,61 58,98	6,92 6,62	22,03 21,08	58,71 58,71	7,26 7,26	21,68 21,68
V	$-(\text{SiMe}_2\text{O})_2 \text{SiMeO}$ $\quad \quad \quad \text{PhC=CHPh}$	0,068	-18	58,82 59,31	6,92 6,62	22,03 21,08	59,02 59,02	6,78 6,78	21,79 21,79

Легче всех полимеризуется гентаметилфенилциклотрисилоксан, вследствие сравнительно малого объема заместителей у атома кремния, что, видимо, не затрудняет образование активного комплекса:





Наименьшая активность к полимеризации пентаметил-/фенилстирил//циклотрисилоксана — следствие не только большого объема и жесткости заместителя. Надо отметить тот факт, что из-за большого стерического эффекта заместителя не удалось полимеризовать следующий цикл:



Состав и строение синтезированных полимеров подтверждены данными элементного анализа и ИК-спектроскопии.

В ИК-спектрах полученных полимеров наблюдаются полосы поглощения при 700, 1450, 1500, 1600, 3000—3100 см⁻¹, характерные для C₆H₅ — группы, 1260 см⁻¹ — для Si—CH₃ связи; 2800—3100 см⁻¹ — для групп CH₂ и CH₃, 1025—1030 см⁻¹ — для Si—O—Si связи.

Данные термомеханического исследования полимеров, а также результаты элементного анализа приведены в таблице.

Тбилисский государственный университет

Поступило 10.VI.1977

А. НОГАИДЕЛИ, Л. НАКАИДЗЕ, В. ТШХОВРЕБАШВИЛИ

Архив/Редактор/Редактор. А. ЗЕБЕЛОРДИАВЕЛОУЛЮСИЛОНКАСЕВАШИ. АНОНСИРОВА
АМПЛЮАТИРУЮЩИХСОЛЮСИИ 600000

რ ე ზ ი უ 3 9

შესწავლითი სილიციუმის ატომთან მდგრმი არილ/დიარილ/ალკილ-და ალკენილ ჯგუფების შემცველი სილიციუმორგანული პოლიმერების მიღების შესაძლებლობა.

ციკლოსილოქსანების ანიონური პოლიმერიზაციით მიღებულია პოლიორგანოსილოქსანები, რომლებიც სილიციუმის ატომის მიმართ სხვადასხვა მდგომარეობაში მყოფ ფენილის რადიკალს შეიცავენ.

დადგენილია, რომ ფენილ/დიფენილ/ეთილ- და ვინილპენტამეთილ-ციკლოსილოქსანები ადვილად განიცდიან პოლიმერიზაციას ანიონური კატალიზატორის თანაობისას, თუმცა ცხიმოვან-არომატული ჯგუფის შემცველი ორგანოციკლოსილოქსანი კი არა.

შესწავლითი მიღებული პოლიმერების თერმომექანიკური თვისებები.

A. I. NOGAIDELI, L. I. NAKAIDZE, V. S. TSKHOVREBASHVILI

THE REACTIONS OF ANIONIC POLYMERISATION OF THE ARYL/DIARYL-/ETHYL- AND VINYL ORGANOCYCLOSILOXANES

Summary

The possibility of obtaining of polyorganosiloxanes with aryl/diaryl-/alkyl- and alkenyl groups at the silicon atom has been indicated.



Polyorganosiloxanes with variously arranged phenyl radicals relatively to the silicon atom have been synthesized by the polymerisation of corresponding cyclosiloxanes.

The polymerisation of phenyl/diphenyl/ethyl- and vinylpentan methylcyclosiloxanes in the presence of anionic catalyst was found to proceed easily.

Two fatty-aromatic groups containing organotrycyclosiloxanes are not polymerizing compounds in such conditions.

The structure of synthesized polymers has been established by the methods of physico-chemical analysis.

The thermomechanical characteristics of obtained polymers has been investigated.

СПИСОК СОЧИНЕНИЙ — REFERENCES

1. А н д р и а н о в К. А. Полимеры с неорганическими главными цепями молекул, изд. АН СССР, М., 1962.
 2. А н д р и а н о в К. А. Методы элементоорганической химии. Кремний, изд. «Наука», М., 1968.
-



ФИЗИЧЕСКАЯ ХИМИЯ

УДК 543.544

Г. В. ЦИЦИШВИЛИ, О. С. БАНАХ, Т. Г. АНДРОНИКАШВИЛИ

ТЕРМОДИНАМИЧЕСКИЕ ФУНКЦИИ ГАЗОВ НА ЦЕОЛИТАХ
ТИПА Y, СОДЕРЖАЩИХ МАКСИМАЛЬНЫЕ КОЛИЧЕСТВА
КАТИОНОВ ЩЕЛОЧНЫХ МЕТАЛЛОВ И СЕРЕБРА

Метод газовой хроматографии позволяет [1—3] изучить термодинамические характеристики адсорбированных веществ, предоставляя дополнительные сведения о природе взаимодействий их молекул с поверхностью адсорбентов. В случае цеолитов такие термодинамические функции, как теплота, свободная энергия и энтропия адсорбции существенно зависят от типа цеолита и природы катионов. Этому вопросу посвящено очень мало публикаций [3, 4], причем почти отсутствуют работы, относящиеся к цеолитам типа Y [5]. Данное сообщение преследует цель в какой-то мере восполнить этот пробел.

Значительный интерес представляет рассмотрение термодинамических свойств газов на цеолитах типа Y, содержащих максимальные количества замещенных катионов. В этом случае наиболее полно проявляется влияние природы катиона, так как осуществляется самый тесный контакт этих катионов с адсорбированными молекулами. Методика расчета термодинамических функций приведена в работе [3].

а) Теплоты адсорбции. Величины теплот, рассчитанные по хроматографическим данным [6], приведены в табл. 1.

Как видно из табл. 1, теплоты адсорбции алканов и O_2 закономерно увеличиваются с утяжелением катионов, вследствие усиления дисперсионных взаимодействий. Похожая закономерность наблюдалась [7, 8] на цеолитах типа X. Теплоты адсорбции азота, наоборот, убывают по мере возрастания порядкового номера щелочного катиона. Зато на образце AgY величина Q для азота максимальная, превышая примерно на 2 ккал/моль свое наибольшее значение, полученное на образце LiY .

Для окиси углерода также наметилась тенденция к уменьшению теплоты Q в ряде $Li > Na > K$. Но на цеолитах RbY и CsY уже наблюдается обратная последовательность за счет усиления дисперсионных взаимодействий молекул CO с крупными катионами и атомами кислорода в каркасе цеолита, хотя вклад энергии дипольных притяжений в общую теплоту адсорбции при этом уменьшается.

На образце AgY , как и следовало ожидать, теплота адсорбции окиси углерода очень высокая (20 ккал/моль). Она свидетельствует о том, что основной вклад в величину Q вносит энергия взаимодействия за счет образования π -комплексов, возникающих между ионами Ag^+ и молекулами CO [5].

Величины теплот адсорбции олефинов в значительной мере зависят как от природы катионов щелочных металлов, так и от величины молекулы. Если теплота Q для C_2H_4 незначительно убывает от LiY к

КY, то на образце CsY она снова возрастает. На цезиевом цеолите типа X также отмечены [7] несколько повышенные величины ΔQ для C_2H_4 и C_3H_6 , которые, однако, значительно ниже (на 3—5 ккал/моль) своих значений на литиевом образце. У олефинов на цеолитах типа Y

Таблица 1

Теплоты адсорбции (ккал/моль) газов на цеолитах типа Y

Компонент	Обозначение образцов и степень замещения, %					
	86,3 LiY	100,0 NaY	97,6 K _Y	82,0 RbY	73,0 CsY	100,0 AgY
O ₂	3,2	3,4	3,8	4,3	4,3	4,4
N ₂	4,7	4,5	4,4	4,4	4,3	6,8
CH ₄	4,1	4,4	4,6	5,0	5,5	6,9
C ₂ H ₆	5,8	6,1	6,8	7,1	7,7	8,9
C ₃ H ₈	7,3	7,7	8,6	9,3	9,4	11,0
n-C ₄ H ₁₀	8,7	9,3	10,3	10,5	11,6	13,0
изо-C ₄ H ₁₀	8,6	9,2	10,2	10,5	11,7	13,1
CO	5,9	5,7	4,9	5,2	5,3	20,0
C ₂ H ₄	8,8	8,7	7,9	8,3	8,7	—
C ₃ H ₆	10,6	10,3	10,2	9,8	11,1	—
изо-C ₄ H ₈	12,6	12,0	11,7	11,7	13,4	—
/ \	11,6	11,6	11,6	11,7	13,0	—
цик	12,1	11,9	11,4	11,4	12,7	—
транс	11,1	11,0	11,6	11,7	13,2	—
ΔQ(N ₂ —O ₂)	1,5	1,1	0,6	0,1	0,0	2,4
ΔQ(CO—CH ₄)	1,8	1,3	0,3	0,2	-0,2	13,0
ΔQ(C ₂ H ₄ —C ₂ H ₆)	3,0	2,6	1,1	1,2	1,0	—
ΔQ(C ₃ H ₈ —C ₃ H ₆)	3,3	2,6	1,6	0,5	1,7	—
ΔQ(1-C ₄ H ₈ —n-C ₄ H ₁₀)	2,9	2,3	1,3	1,2	1,4	—
ΔQ(изо-C ₄ H ₈ —C ₄ H ₁₀)	4,0	2,8	1,5	1,2	1,7	—

У имеется явное отличие от типа X: при переходе от образца LiY к CsY теплота адсорбции этилена меняется U-образно, причем минимум приходится на K_Y. По мере увеличения в молекуле углеводородного звена, содержащего простые связи, намечается явиая тенденция к росту теплоты адсорбции на образце CsY, где она для бутанов уже выше, чем на LiY. Такое различие свойств цеолитов типов X и Y можно объяснить меньшей заселенностью катионов в элементарных ячейках цеолитов типа Y. На последних, как и на цеолитах типа A [9] и типа X [7], также достигается прямолинейный рост адсорбции при увеличении числа атомов углерода в молекуле алканов и олефинов (рис.).

Теплоты адсорбции CO на всех изученных нами образцах цеолитов типа Y располагаются значительно ниже прямой линии, полученной для олефинов, и поэтому на рисунке не указаны.



Приведенные в табл. 1 данные о разнице теплот ΔQ адсорбции дают определенное представление о вкладе π-связей в общую теплоту адсорбции. Как и на цеолитах типа X [8], на нашем образце NaY разница теплот для N_2 и O_2 составляет 1,1 ккал/моль, причем

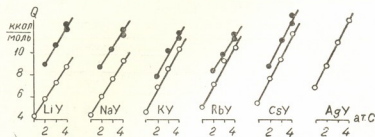


Рис. 1. Зависимость теплот адсорбции (Q) алканов (нижние линии) и олефинов (верхние линии) от числа атомов С в молекуле.

она быстро уменьшается в ряду $Li > Na > K > Rb > Cs$. В такой же последовательности уменьшается величина ΔQ для $CO - CH_4$ на цеолитах обоих типов [7]. Зато для других пар олефин-алкановых смесей, содержащих по 3—4 атома С в молекуле, разница теплот падает в той же последовательности, кроме образца CsY , где она выше, чем на RbY . Это расхождение обуславливается, по-видимому, высокой поляризуемостью катиона Cs^+ , вследствие чего значительно повышается вклад дисперсионных взаимодействий в общую энергию адсорбции.

Таблица 2
Изменения мольной свободной энергии ($-\Delta G$, ккал/моль) на образцах, содержащих максимальные количества замещенных катионов

Компонент	t ^o колон- ки, °C	Степень замещения (%) и обозначение образцов					
		86,3 LiY	100 NaY	97,6 KY	82 RbY	73 CsY	100 AgY
O_2	40	0,837	0,920	1,012	1,097	1,100	1,092
N_2	40	1,265	1,420	1,408	1,402	1,389	2,280
CH_4	40	1,575	1,740	1,963	2,104	2,286	3,019
CO	40	1,978	2,077	1,897	1,875	1,857	5,649*
C_2H_6	120	2,232	2,455	2,908	2,994	3,185	4,014
C_2H_4	200	2,379	2,686	2,614	2,654	2,771	5,875**
C_3H_8	200	2,588	2,912	3,443	3,506	3,815	4,902
C_3H_6	200	3,660	4,189	4,158	4,278	4,624	—
$n-C_4H_{10}$	200	3,711	4,047	4,671	4,852	5,261	5,342*
изо- C_4H_{10}	200	3,660	4,033	4,654	4,815	5,282	5,471*
изо- C_3H_8	260	4,289	4,739	4,753	4,980	5,420	—
1- C_3H_8	260	3,960	4,545	4,655	4,789	5,120	—
цикло- C_3H_8	260	3,975	4,655	4,685	4,918	5,334	—
транс- C_3H_8	260	3,953	4,401	4,643	4,880	5,257	—

* значения взяты при 300°C.

** значения взяты для образца 0,17 AgNaY при 300°C.



б) Изменение свободной мольной энергии (ΔG). Переход молекул из газообразного в адсорбированное состояние сопровождается уменьшением свободной энергии. С утяжелением катионов щелочных металлов наблюдается возрастающее падение (рост абсолютной величины $-\Delta G$) этой энергии для O_2 и всех алканов C_1-C_4 (табл. 2).

Такая же картина наблюдается и для всех изомеров бутилена, а частично также для C_3H_6 и C_2H_4 , которым на образце KY , аналогично KX [7], соответствует минимальное значение величины $-\Delta G$. Все это, по-видимому, является следствием превалирования роста дисперсионных составляющих над одновременным падением специфических (дипольных и π -электронных) взаимодействий молекул олефинов с тяжелыми катионами.

в) Изменение энтропии адсорбции ($-\Delta S$). При фиксации адсорбированных молекул в полостях цеолитов происходит уменьшение их энтропии, а, значит, ограничение в их движении. Перемещение этих молекул ограничивается тем сильнее, чем больше изменяется величина $-\Delta S$. Для алканов и O_2 изменение энтропии пропорционально утяжелению катионов (табл. 3).

Изменение энтропии ($-\Delta S$, кал/моль·град) газов

Таблица 3

Компонент	t ^o колон- ки, °C	Степень замещения (%) и обозначение образцов					
		86,3		100		97,6	
		LiY	NaY	KY	RbY	CsY	AgY
O_2	40	7,6	8,1	8,9	10,1	10,2	10,5
N_2	40	10,8	10,0	9,7	9,4	9,2	14,2
CH_4	40	8,0	8,0	8,4	9,6	10,2	12,2
CO	40	12,7	11,3	9,7	10,4	10,9	25,1*
C_2H_6	120	9,1	9,4	9,8	10,2	11,5	12,4
C_2H_4	200	13,7	12,5	11,1	11,8	12,2	24,6**
C_3H_8	200	10,0	10,2	10,9	11,7	11,9	12,8
C_3H_6	200	14,5	12,9	12,7	11,6	13,7	—
н— C_4H_{10}	200	10,5	10,9	11,9	11,6	13,4	13,4*
изо- C_4H_{10}	200	10,4	10,7	11,8	11,8	13,5	13,3*
изо I C_4H_8 нис транс	260	15,4	13,7	13,1	12,6	15,0	—
	260	14,3	13,2	12,9	12,8	14,7	—
	260	15,1	13,6	12,5	12,0	13,8	—
	260	13,3	13,4	13,1	12,8	14,8	—

* рассчитано по данным для 300°C,

** результат получен при 300°C для образца, содержащего 16,9% ионов Ag^+ вместо Na^+ .

У молекул азота, как и следует ожидать, изменение энтропии ($-\Delta S$) убывает в порядке увеличения веса катионов. Лишь на цеолите AgY , вследствие специфичности свойств катионов Ag^+ , величина $-\Delta S$ максимальная. На том же образце AgY она примерно в 2 раза превышает изменение энтропии для окиси углерода и этилена, полученного на LiY .



Для олефинов C_3H_6 и бутиленов энтропия заметнее изменяется на цеолитах типа Y, содержащих небольшие катионы (Li^+ , Na^+)^{34,35} только на образце CsY величина $-\Delta S$ значительно повышена, так как более ограничена свобода перемещений сравнительно крупных молекул олефинов, находящихся в поле действия больших катионов Cs^+ , вероятно, уже также вследствие пространственных затруднений.

Перемещение в полостях цеолитов адсорбированных молекул всех изученных нами газов, включая олефины и алканы, наиболее ограничены на образце AgY .

Таким образом, рассмотренные данные о термодинамических функциях свидетельствуют о том, что, в основном, природа катионов, а также тип цеолита, определяют адсорбционно-хроматографические свойства этих адсорбентов.

Львовский медицинский институт,
Институт физической и органической
химии им. П. Г. Меликешвили АН ГССР

Поступило 28 XI 1977

ଶ୍ରୀମତୀ ପାତ୍ନୀ, ମୁଖ୍ୟମନ୍ତ୍ରୀ, ମୁଖ୍ୟମନ୍ତ୍ରୀଙ୍କ ପାତ୍ନୀ

აირობიკულ თერმოდინამიკური ზოგადოებები ვარდსლისა და რეაქტორთა
კამიონების ანალიზური მოდელის შემთხვევაში. У ნიზა ციტირდება:

၄၇၀၃

ქრომატოგრაფიული მონაცემების საფუძველზე ყ ტიპის ცეოლითები-სათვის, რომლებიც მაქსიმალური რაოდენობით შეიცავს ვერცხლისა და ტუტე მეტალთა კათიონებს, მოყვანილია აღსორბულის სითბოს, მოლური თა-ვისუფალი ენერგიისა და O_2 , N_2 და CO , აგრეთვე C_1-C_4 ნახშირწყალბა-დური აირების აღსორბულის ენტროპიის მნიშვნელობები.

ნაჩვენებია კათიონთა ბუნების გავლენა ალკანებისა და O₂-ის აღსორ-ბეჭის სითბოს ზრდაზე შემდეგი მიმღერალით:

$$\text{Li} \leq \text{Na} \leq \text{K} \leq \text{Rb} \leq \text{Cs} \leq \text{Ag}.$$

განხილულია უფერო რთული კანონზომიერება CO და ოლეფინების აღ-
სორბციის სითბოს ცვლილებაში, რომელსაც მინიმალური მნიშვნელობა აქვს
K და Rb კათიონების შემცევ ცეოლითებში. დადასტურებულია აღნიშნუ-
ლი გაზებისათვის π-ბმებით გამოწვეული მნიშვნელოვანი წვლილი აღსორ-
ბციის საერთო ენერგიაში ლითიუმისა და ნატრიუმის ფორმის Y ტიპის ცეო-
ლითებისათვის.

თავისუფალი ენერგიისა და აღსორბციის ენტროპიის ცვლილების საფუძველზე დასტურდება აღსორბირებული ალკანების მოლექულების ძვრადობის შეზღუდვა ყეოლითებში ტუტე მეტალთა კათიონების რადიუსის ზრდის შედეგით.

აღნიშვნულია, რომ ყველა აღსორბირებული აირის ძერადობა განსაკუთრებით შეზღუდულია ვერცხლის კათიონების შემცველ ცეოლითებზე.

THERMODYNAMIC FUNCTIONS OF GASES ON TYPE Y ZEOLITES CONTAINING MAXIMUM QUANTITIES OF CATIONS OF ALKALINE METALS AND SILVER

Summary

The adsorption heats, changes of the mole free energy and entropy of adsorption were calculated for O_2 , N_2 , CO and hydrocarbons C_1-C_4 on the basis of chromatographic data, obtained on type Y zeolites containing maximum quantities of substituted cations of alkaline metals and silver. It is logically shown influence of the nature of cations upon the growth of adsorption heat for O_2 and alkans:



It is examined more complicated phenomenon in the changing of adsorption heats for CO and olefins, which are of little importance for contained samples K- and Rb. Available contribution of π -complexes to total adsorption energy of these gases on Li- and Na-forms of type Y zeolites is confirmed.

By means of data about changing of free energy and adsorption entropy it is shown limitation of agility for adsorbed alkane molecules within the limits of increasing of alkaline metals cations radiiuses in zeolite. It is underlined that the greatest limitation of movement freedom of all adsorbing gases reached on samples, containing silver cations.

ЛІТЕРАТУРА — REFERENCES

1. Туркельтауб Н. М., Жуховицкий А. А., Поршинева Н. В. Ж. прикл. химии, 34, 9, 1946 (1961).
2. Кап М. А. Lab. Practice, 11, 3, 195 (1962).
3. Цицишвили Г. В., Андronикашвили Т. Г. Ж. физ. химии, 40, 5, 1128 (1966).
4. Андronикашвили Т. Г., Цицишвили Г. В., Чумбуриձ է. Ա. Сообщения АН ГССР, 61, 3, 597 (1971).
5. Цицишвили Г. В., Андronикашвили Т. Г., Банах О. С., Стрильчук Л. В. Сообщения АН ГССР, 82, № 1, 97 (1976).
6. Цицишвили Г. В., Андronикашвили Т. Г., Банах О. С. Известия АН ГССР, сер. хим. 1, 2, 161 (1975).
7. Андronикашвили Т. Г., Цицишвили Г. В., Сабелаշвили Ш. Ռ., Коридзе З. И. Сб. Адсорбционные, хроматографические и катализитические свойства цеолитов, Тбилиси, Мецниереба, 1972, 158.
8. Сытенко Т. П., Цицишвили Г. В., Андronикашвили Т. Г. Там же, стр. 144.
9. Киселев А. В., Храпова Е. В., Щербакова К. Д. Нефтехимия, 1, 6, 877 (1962).

УДК 543.253

В. Ш. ЦВЕНИАШВИЛИ, М. В. МАЛАШХИЯ, Б. Х. СТРЕЛЕЦ, Г. И. ЕРЕМЕЕВА,
В. Н. ГАПРИНДАШВИЛИ

ПОЛЯРОГРАФИЧЕСКОЕ ИССЛЕДОВАНИЕ СОЛЕЙ 1-МЕТИЛ- 2,1,3-БЕНЗТИА- И СЕЛЕНОДИАЗОЛИЕВ В ВОДНОЙ СРЕДЕ

В настоящей работе объектом исследований служили перхлораты 1-метил-2,1,3-бензтии-(I) и селенодиазолии (II). 2,1,3-тии- и селено-диазолы являются слабыми основаниями. Соли их легко гидролизуются водой [1, 2]. Однако соли 2,1,3-бензтии- и селенодиазолов гидролитически более стабильны, причем селенодиазольный цикл кватернизуется легче и поэтому образующиеся соответствующие соли более устойчивы, чем соли тиоаналога [3–5]. Проведенные ранее полярографические исследования производных 2,1,3-тии- и селенодиазолов показали, что в водных растворах в результате протекания многоэлектронного процесса раскрывается гетерокольцо. В аprotонной среде удается зафиксировать стадию одноэлектронного переноса с образованием устойчивых анион-радикалов [6, 7].

Полярографическое поведение солей (I) и (II) не зависит от природы аниона, о чем свидетельствует идентичность полярограмм в

растворах перхлоратных, хлоридных и метилсульфатных солей. Этот результат указывает на то, что полярографическая активность обусловлена наличием в растворах свободных катионов (I) и (II). Следовательно, связь катионов (I) и (II) с радикалом X ($X = \text{ClO}_4^-$, Cl^- , CH_3SO_4^-) носит ионный характер.

Катион (I). На фоне 0,1 М перхлората тетраэтиламмония (ПТЭА) на полярограммах в водной среде наблюдаются две волны (рис. 1). На первой волне заметен небольшой перегиб. Зависимость величины предельных токов обеих волн от концентрации деполяризатора, высоты ртутного столба и температуры указывает на то, что они имеют диффузионное ограничение. В растворе, восстановленном в результате макроэлектролиза в потенциостатическом режиме при потенциале предельного тока суммарной волны,

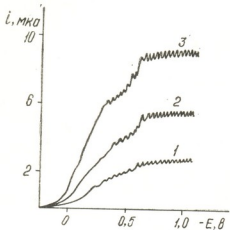


Рис. 1. Полярограммы катиона 1-метил-2,1,3-бензтиадиазолия на фоне 0,1 М водного раствора ПТЭА. Концентрация деполяризатора, М: 1— $2 \cdot 10^{-4}$, 2— $4 \cdot 10^{-4}$, 3— $6 \cdot 10^{-4}$

обнаруживается продукт расщепления гетерокольца — S^{2-} . Вторым продуктом восстановления является 1-метил-о-фениленидиамин. Судя

по продуктам макроэлектролиза, электродный процесс заключается в переносе семи электронов. Число электронов определяли и по ¹³C-NMR-спектрунию высот волн ранее изученных незаряженных молекул 2,1,3-бензтиадиазола, а также по уравнению Ильковича при использовании в расчетах коэффициента диффузии последних [6].

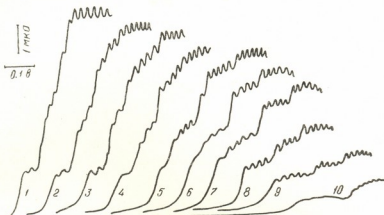


Рис. 2. Полярограммы катиона 1-метил-2,1,3-бензтиадиазолия в буферных средах. Концентрация деполяризатора — $6 \cdot 10^{-4}$ М. рН: 1—0,65, 2—1,24, 3—1,71, 4—2,32, 5—3,29, 6—3,79, 7—4,19, 8—4,76, 9—5,20, 10—5,86.

В буферных средах на полярограммах катиона (1) наблюдается разное число волн (рис. 2). В сильнокислой среде на полярограммах наблюдается адсорбционная предволнна. При росте рН предволнна исчезает, а основная волна раздваивается и уменьшается по высоте. В области $\text{pH} > 1$ на полярограммах при более отрицательных потенциалах появляется дополнительная волна, высота которой увеличивается с ростом рН. Все волны имеют разную природу. Предельный тон основной волны, уменьшаясь по высоте с ростом рН, приобретает кине-

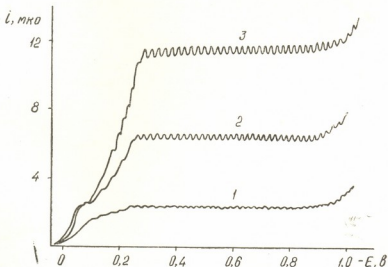


Рис. 3. Полярограммы катиона 1-метил-2,1,3-бензтиадиазолия в буферной среде с рН 0,65. Концентрация деполяризатора — М: 1— $1 \cdot 10^{-4}$, 2— $2,8 \cdot 10^{-4}$, 3— $6 \cdot 10^{-4}$.

ется и при выдерживании растворов при данном значении рН. Можно предположить, что новая волна является волной восстановления продукта гидролиза катионов (I) и (II).

В кислых растворах катионов (I) и (II) с $0,65 < \text{рН} < 3,29$ при концентрации деполяризатора 10^{-4} М на полярограммах наблюдается только одна диффузионная волна. При более высоких концентрациях деполяризатора появляется новая волна (рис. 3). Высота первой волны при концентрации деполяризатора порядка $2,8 \cdot 10^{-4}$ М достигает предельного значения. Адсорбционная природа первой волны следует из данных по изучению зависимости мгновенного тока от времени. Как было показано ранее [6], при полярографическом восстановлении незаряженных 2,1,3-бензтиа- и селенодиазолов предволна наблюдается только в подкисленных небуферных растворах 2,1,3-бензеленодиазола. В области потенциалов восстановления 2,1,3-бензтиадиазола адсорбируется сульфид ртути [10]. Катионы (I) и (II) восстанавливаются при гораздо более положительных потенциалах, чем соответствующие 2,1,3-бензтиа- и селенодиазолы и адсорбционную предволну следует приписать адсорбционному ингибираванию продуктом реакции.

Институт неорганической химии
и электрохимии АН ГССР

Поступило 1.III.1978

3. 7306048010, 8. 81124612, 8. 16101040, 8. 16101040, 3. 811246128010
1-80101-2, 1-80101-2 - და დელფინიური მარტივის პოლაროგრაფიული
გამოკვლევა

რეზიუმე

გამოკვლეულია 1-მეთილ-2,1,3-ბენზთია- და სელენდიაზორი კათიონების პოლაროგრაფიული ალგერნა ნეიტრალურ არაბუფერულ და ბუფერულ წყალხსნარებში.

დადგენილია, რომ აღნიშნულ არეებში ალდგენის პროცესში ხდება დეპოლარიზატორთა მოლექულების ჰეტეროგოლების გახლება შესაბამისი პროდუქტების წარმოქმნით. რეაქციის ერთ-ერთ პროცესში წარმოადგენს სულფიდ- ან სელენიდ-იონი, რომელიც ალდგენის პოტენციალთა ინტერვალში შესაბამისად ვერცხლისწყლის სულფიდს ან სელენიდს წარმოქმნის. ალდგენის რეაქციაში მმ რეაქციის თანდამთხვევის შედეგად ხდება დეპოლარიზატორთა პოლაროგრამების გამრება ბუფერულ არეებში. ალდგენის პროცესი მიმდინარეობს დეპოლარიზატორთა მოლექულების წინასწარი პროტონიზაციის გარეშე, რაც გამოწევეულია იმით, რომ მოლექულაში დადებითი მუტრის არსებობა ხელს უშლის პროტონიზაციას აზოტის ატომის თავისუფალი ელექტრონულ წყვილის ხარჯზე.

ბუფერულ არეების მეავა უბანში პოლაროგრამებში შეინიშნება ადსორბციული წინტალები, რომელიც გაპირობებული არიან ვერცხლისწყლის სულფიდის ან სელენიდის პოლიმოლეკულური ადსორბციით ვერცხლისწყლის მწვეთავ ელექტროდზე.

დადგენილია ელექტროდული პროცესის მექანიზმი. რეაქციაში მონაწილე ელექტრონების რიცხვი განსაზღვრულია გათვლის მეთოდით ილკოვიჩის განტოლების საფუძველზე და იგრეთვე ალდგენის პროცესტების იდენტიფიკა-

ცით გამური ტალღების კონტროლირებულ პოტენციალზე პრეპარატულ გლევეროლიზის დროს. განსაზღვრულია აღდვენის პოლაროგრაფიული მეტრები ბუფერული ხსნარების მთელ ინტერვალში.

V. SH. TSVENIASHVILI, M. V. MAIASHKHIYA, B. KH. STRELETS,
G. I. EREMEEVA, V. N. GAPRINDASHVILI

POLAROGRAPHIC STUDIES OF SALTS 1-METHYL-2, 1,3-BENZTHIA- AND SELENODIAZOLS IN AQUEOUS MEDIUM

Summary

Polarographic reduction of cations of 1-methyl-2,1,3-benzthia- and selenodizols in aqueous neutral non buffer and buffer media has been studied.

It was found that in the reduction process in these media splitting of heterorings of the depolarizer occurred with the formation of corresponding products. One of the products of the reaction is sulphide-/selenide/ ion, which in the range of reduction potentials forms mercury sulphide (selenide). Simultaneous reaction of the original compound reduction and reaction of oxidation of the reaction products causes bifurcation of the wave of depolarizer reduction in buffer media. The process of reduction proceeds without previous protonation. It is caused by the fact that the presence of a positive charge in the molecule prevents protonation due to a free electron pair of a nitrogen atom.

In the acid region of buffer solutions adsorption prewaves are observed in polarograms, they are caused by polynuclear adsorption of mercury sulphide or selenide on mercury dropping electrode. The mechanism of the electrode process is established. The number of electrons participating in electrode reaction is determined by means of calculations using Il'kovich equation and also by identification of the products of preparative electrolysis at the controlled potential of the limiting current of summary waves. Polarographic parameters of reduction over the whole range of buffer solutions are determined.

ლიტერატურა — REFERENCES

1. Песин В. Г. Успехи химии, 39, 1950 (1970).
2. Marquardt F. Diss. Abstr., 21, 3272 (1961).
3. Nunn A., Ralph J., J. Chem. Soc., 6769, (1965).
4. Nunn A., Ralph J. J. Chem. Soc., 1568, (1966).
5. Battergau M., Vechot J. Bull Soc. Chim., 37, 1271 (1923).
6. Цвениашвили В. Ш., Жданов С. И., Тодрес З. В. ХГС, 712, (1968).
7. Цвениашвили В. Ш., Гапринашвили В. Н., Цкаладзе Л. А., Сергеев В. А., ЖХ, 38, 1888 (1974).
8. Vlcek A. A., Chem. listy, 50, 400 (1956).
9. Гейровский Я., Кута Я. Основы полярографии. М., «Мир», 151, 1965.
10. Киселев Б. А., Жданов С. И. Электрохимия, 1, 159 (1965).
11. Жданов С. И., Киселев Б. А. ДАН СССР, 155, 651 (1964).
12. Трифонов А. Изв. хим. инст. Болг. АН, 4, 21 (1956).

УДК 551.574.1:551.509 6

Т. Г. ГЗИРИШВИЛИ, К. М. ЧОЧИШВИЛИ, Л. Ш. БИБИЛУРИ,
Т. Н. БАЛАХВАНЦЕВА

ИССЛЕДОВАНИЕ ЛЬДООБРАЗУЮЩЕЙ АКТИВНОСТИ МОДИФИЦИРОВАННОЙ САЖИ

Результаты исследования, проводившегося в течение последнего десятилетия, показали, что гетерогенное льдообразование определяется не только характеристиками кристаллической структуры ядра, но и целым рядом других факторов. В работах [1—4] на первое место выдвигается механизм молекулярного взаимодействия подложки и льда. Попытки проникнуть в механизм гетерогенной нуклеации делаются на основании исследования структуры, энергетики поверхности раздела и адсорбции. Явление гетерогенной нуклеации рассматривается с точки зрения структурного состояния и фазового перехода воды, адсорбированной на поверхности подложки.

В работе [5], авторы приходят к выводу, что центрами адсорбции на поверхности кристалла иодистого серебра служат химические неоднородности типа окислов и что концентрацию кислорода на поверхности следует связать с льдообразующей активностью. Причем оптимальной для льдообразования будет гидрофобная поверхность с центрами адсорбции, расположенными так, чтобы отсутствовало латеральное взаимодействие между адсорбированными молекулами в первом монослое. По мнению авторов, возникновение и рост ледяных кластеров на поверхности подложки в таких условиях будет энергетически облегчено. В ряде работ было показано, что вещество, модифицированное путем искусственного регулирования концентрации гидрофильных центров на гидрофобной матрице, приобретало свойство высокой льдообразующей активности. Так, например, чтобы повысить льдообразующую активность кремнезема, на поверхности которого при обычных температурах имеется большое количество гидроксилов, данное вещество подвергали нагреванию в условиях вакуума [5]. В результате этого с поверхности кремнезема удалялась часть гидроксилов, кремнезем становился частично гидрофобным и приобретал льдообразующую активность, близкую к активности AgJ. Авторы работы [6] добивались того же, только действуя в обратном направлении. А именно, на идеальной гидрофобной поверхности угля создавали центры адсорбции путем воздействия на нее неорганическими окислителями, частицы угля становились более гидрофильными и резко повышали свою льдообразующую активность.

В данной работе изложены некоторые результаты исследования льдообразующей активности модифицированного ядра сажи. В экспериментах были использованы два способа инициирования образования ледяной фазы.

Первый способ осуществляется при реализации контактного механизма нуклеации — когда частица сажи находится на поверхности капли в результате ее захвата каплей. Методика эксперимента в основном описана в литературе [7]. Величина влажности той среды, в которой



выдерживали ядра диаметром 0,1—5 мк до приведения их в контакт с переохлажденной каплей диаметром \approx 200 мк, регулировалась методикой, описанной в [8]. Окисление ядер производилось путем воздействия озоном [9]. Результаты экспериментов представлены в таблице 1.

Таблица 1

Влияние относительной влажности среды на льдообразующую активность модифицированного и не модифицированного ядер сажи

Состояние ядра	Относит. влажность ко льду, %	Температура замерзания, °C
не модифицированное ядро	70, 110	$-23,0 \pm 0,4$
модифицированное ядро	70	$-13,0 \pm 0,3$
" — "	110	$-8,0 \pm 0,4$

Как видно из таблицы, инактивность не модифицированной частицы сажи неизменна при увеличении влажности среды, тогда как в результате увлажнения модифицированного ядра существенно повышается его льдообразующая активность.

Второй способ инициирования образования ледяных кристаллов аэрозольными частицами осуществляется, когда частицы окружены влажным воздухом.

С целью исследования зависимости от температуры количества ядер кристаллизации, образовавшихся с 1 г порошка сажи, были проведены эксперименты в холодильной камере с использованием методики [8]. Для всех серий опытов выдерживался такой режим, чтобы среда оказывалась насыщенной относительно воды во всем интервале варьируемой температуры тумана. Воздействие не модифицированным реагентом сажи на переохлажденный туман не вызывало образования кристаллов льда в исследуемом диапазоне минусовых температур среды (самая низкая температура среды составляла -20°C). В то же время окисленные частицы сажи инициировали появление ледяных кристаллов в переохлажденном тумане уже при -6°C с величиной выхода кристаллов, равной около 10^{11} . При понижении температуры до -13°C величина выхода увеличивалась до 10^{12} (см. рис. 1).

Модифицированная частица сажи адсорбирует молекулы воды непосредственно из окружающей газовой среды. Адсорбция происходит на «центрах» поверхности сажи в виде двумерных островков воды, даже если давление пара в окружающей среде еще не велико. С увеличением давления эти участки разрастаются в многослойные трехмерные скопления. В случае недонасыщения относительно льда отсутствует условие разрастания скоплений молекул воды до размеров, на которых могут образоваться критические ледяные зародыши или, по крайней мере, упорядоченные льдоподобные участки, необходимые для проявления ядром льдообразующей активности [10, 11].

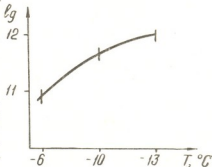


Рис. 1. Зависимость выхода ледяных кристаллов от температуры



Действительно, из результатов эксперимента видно (табл. 2) когда модифицированное ядро сажи выдерживалось в среде с влажностью, перенасыщенной ко льду, то нуклеация протекала при более высокой температуре (-8°C), чем когда среда была насыщена относительно льда. Если известна величина энергетической характеристики поверхности модифицированной частицы сажи, можно рассчитать критическое значение влажности среды, когда ядро может проявить льдообразующую активность при наиболее высоком значении пороговой температуры кристаллизации [12].

С помощью микрокалориметрических измерений удалось обнаружить, что температура плавления адсорбированной воды на поверхности модифицированного ядра сажи составляет около $-17,0^{\circ}\text{C}$ [13].

Эти результаты подтверждают вывод, что вода в адсорбированном состоянии принимает упорядоченную твердоподобную структуру и является наилучшей подложкой для льдообразования в объеме переохлажденной жидкости [14, 15].

Согласно существующей теории [16], нуклеацию льда можно рассматривать как функцию размера и формы аэрозольной частицы, а также как функцию характеристик межфазной границы раздела, совместно учтенных параметром m . Частицы сажи, используемые в нашем эксперименте, по всей вероятности, характеризуются полидисперсностью и неодинаковой степенью окисления, то есть различным значением параметра m .

Наблюдаемое в эксперименте явление увеличения выхода ледяных кристаллов с понижением температуры следует объяснить с точки зрения приведенной выше теории: чем меньше значения радиуса ядра и параметра m , тем более низкая температура необходима для проявления льдообразующего свойства частицы сажи.

Институт геофизики АН ГССР

Поступило 20.III.1978

Г. Абдуллаев, д. физ.-мат. наук, З. Абдурасулова, канд. физ.-мат. наук

Академик А. С. Сахаров, член-корреспондент Академии наук СССР

Литература

1. Абдуллаев Г. А., Абдурасулова З. А. Известия Академии наук СССР, Серия физическая, № 10, 1977 г.
2. Абдуллаев Г. А., Абдурасулова З. А. Вестник Академии наук СССР, № 10, 1977 г.
3. Абдуллаев Г. А., Абдурасулова З. А. Известия Академии наук СССР, Серия физическая, № 11, 1977 г.
4. Абдуллаев Г. А., Абдурасулова З. А. Вестник Академии наук СССР, № 11, 1977 г.
5. Абдуллаев Г. А., Абдурасулова З. А. Известия Академии наук СССР, Серия физическая, № 12, 1977 г.
6. Абдуллаев Г. А., Абдурасулова З. А. Вестник Академии наук СССР, № 12, 1977 г.
7. Абдуллаев Г. А., Абдурасулова З. А. Известия Академии наук СССР, Серия физическая, № 1, 1978 г.
8. Абдуллаев Г. А., Абдурасулова З. А. Вестник Академии наук СССР, № 1, 1978 г.
9. Абдуллаев Г. А., Абдурасулова З. А. Известия Академии наук СССР, Серия физическая, № 2, 1978 г.
10. Абдуллаев Г. А., Абдурасулова З. А. Вестник Академии наук СССР, № 2, 1978 г.
11. Абдуллаев Г. А., Абдурасулова З. А. Известия Академии наук СССР, Серия физическая, № 3, 1978 г.
12. Абдуллаев Г. А., Абдурасулова З. А. Вестник Академии наук СССР, № 3, 1978 г.
13. Абдуллаев Г. А., Абдурасулова З. А. Известия Академии наук СССР, Серия физическая, № 4, 1978 г.
14. Абдуллаев Г. А., Абдурасулова З. А. Вестник Академии наук СССР, № 4, 1978 г.
15. Абдуллаев Г. А., Абдурасулова З. А. Известия Академии наук СССР, Серия физическая, № 5, 1978 г.
16. Абдуллаев Г. А., Абдурасулова З. А. Вестник Академии наук СССР, № 5, 1978 г.

Г. Абдуллаев
З. Абдурасулова
Академик А. С. Сахаров

Г. Абдуллаев
З. Абдурасулова
Академик А. С. Сахаров

Г. Абдуллаев
З. Абдурасулова
Академик А. С. Сахаров



რობებში გამოკვლეული არამოდიფიცირებული მური არ აჩვენებდა აქტივობას უკელახ დაბალ ტემპერატურაზეც კი (-20°C). მაშინ, როდესაც დაჭარაშეული ნისლში იძლეოდა კრისტალებს და განვითარებული ნისლი — 6°C -ზე შეაღვენდა 10^{11} , ხოლო -13°C -ის დროს კი გამოსავალი იზრდებოდა 10^{12} -მდე.

ამ მოვლენის ახსნა შეიძლება შემდეგნაირად: მოდიფიცირებული ნაწილები შთანთქებს წყლის მოლეკულებს უშუალოდ გარემომცველი გარემოდან. აღსორებით მიმდინარეობს მურის შედაპირზე იმ დროსაც კი, როცა ორთქლის წნევა გარემომცველ გარემოში ჯერ კიდევ მცირეა. წნევის გადიდებისას პროცესი ინტენსიური ხდება, მაგრამ ვიღრე გარემო გაუჭერებელია ყინულის მომართ, ყინულწარმოქმნის აქტივობის გამოვლენა არ ხდება.

გამოსავალსა და ტემპერატურას შორის ჩვენს მიერ გამოვლენილი დამოკიდებულება შეიძლება ახსნას ფლეტჩერის თეორიით. რაც უფრო ნაკლებია ბირთვის რადიუსი და მარამეტრის სიღიდე, მით უფრო დაბალი ტემპერატურაა საჭირო მურის ნაწილების ყინულწარმოქმნელი უნარის გამოვლენისათვის.

T. G. GZIRISHVILI, K. M. CHOCHISHVILI, L. SH. BIBILURI,
T. N. BALAKHVENTSEVA

STUDIES OF ICE FORMING ACTIVITY OF MODIFIED SOOT

Summary

Studies of the contact mechanism of nucleation of the modified nucleus of soot show that ice forming activity considerably depends on the value of the humidity of the medium where the nucleus is before it contacts with the supercooled drop. Thus, for instance, when the medium is unsaturated with respect to ice and the relative humidity $E=70\%$, then the threshold temperature of crystallization (T) equals approximately -13°C ; at oversaturation above ice equal to 110% , $T=8.0^{\circ}\text{C}$.

At the same time oxidized particles of soot initiated the appearance of ice crystals in supercooled fog already at -6°C with the crystal yield equal to approximately 10^{11} . When temperature was lowered down to -13°C the yield was increased to 10^{12} .

ლიტერატურა — ЛИТЕРАТУРА — REFERENCES

1. Fucuta N. Proc. of the 8-th conference on nucleation. Gidromet. Moscow (1975).
2. Plummer P. L. M., Hall B. N. Proc. of the 8-th conference on nucleation, Gidromet, Moscow (1975).
3. Bachanova R. A., Kiselev V. I. Proc. of the 8-th conference on nucleation, Gidromet, Moscow (1975).
4. Morachevski V. G., Dubrovin N. A., Popov A. G., Potanin A. N. Proc. of the 8-th conference on nucleation, Gidromet, Moscow (1975).
5. Zettelmoyer G., Tchourekian N., Hosler C. ZAMP, 14 (1969).
6. Garten G. A., Head R. B. Nature, 205, n. 4967 (1965).



7. Гзиришвили Т. Г., Рижамадзе М. В., Харчилава Д. Ф., Балахванцева Т. Н. Сообщения АН ГССР, 77, 1 (1975).
8. Isaka H. Determination theorique et verification experimentale des conditions de formation de la glace dans l'atmosphere, Clermont, L'Universite de Clermont (1969).
9. Кобозев Н. И. Журнал физической химии, 49, 12 (1975).
10. Federer B. ZAMP, 19, 637 (1968).
11. Evans L. F. Nature, 213, 384 (1967).
12. Gzirishvili T. G., Kartsiavadze A. I., Balakhvantseva T. N. 9th International conference on atmospheric aerosols, condensation and ice nuclei, Galway, University College (1977).
13. Гзиришвили Т. Г., Харчилава Д. Ф. Известия АН СССР, Физика атмосферы и океана, 13, 1 (1977).
14. Габарашвили Т. Г., Глики Н. В. Известия АН СССР, Физика атмосферы и океана, 3, 5 (1967).
15. Edwards G. R., Evans L. F. J. Atm. Sci., 28, N 8, 1971.
16. Fletcher N. H. The physics of rain clouds, Cambridge Univ. Press (1962).

УДК 669.26

О. И. МИКАДЗЕ, Н. П. КЕШЕЛАВА

ВЛИЯНИЕ ГАФНИЯ НА ЖАРОСТОЙКОСТЬ ХРОМА

Металлы группы IV A, как известно, повышают высокотемпературную прочность хрома, если в последнем содержатся небольшие количества примесей внедрения [1, 2].

В этой связи в данной работе исследовано влияние небольших добавок гафния на кинетику и механизм окисления электролитического хрома марки ЭРХ (суммарное содержание примесей внедрения $\approx 0,02$ вес. %), в интервале температур 1100°C — 1400°C . Испытанию подверглись также сплавы хрома с редкоземельными металлами, полученные методом дуговой плавки с нерасходуемым электродом в атмосфере очищенного аргона. Кинетику изотермического окисления на воздухе изучали путем непрерывного взвешивания на термовесах фирмы «Сетарам». Структура и фазовый состав сплавов, окалины и прилегающих к ней слоев исследовали с помощью металлографического и микрорентгеноспектрального анализов.

Растворимость гафния в твердом хроме составляет менее 0,03 вес. %. Следовательно, из рассмотренных сплавов однофазным остается лишь один, в котором содержание гафния находится на уровне 0,01 вес. %. Структура остальных сплавов двухфазная. Причем избыточные фазы, представляющие собой нитриды и окислы гафния, располагаются в виде прослоек по границам зерен и обуславливают высокую хрупкость сплавов [3, 4]. Карбиды же гафния встречаются в основном в теле зерна в виде мелкодисперсных частиц [4]. Влияние добавок гафния на начальной стадии окисления хрома в интервале температур 1100°C — 1200°C незначительно (см. таблицу). Нейтрализация вредного влияния углерода, которая отмечалась в работе [4], по-видимому, компенсируется усилением азотирования. В структуре окисленных сплавов появляется чрезмерно хрупкий подокалинный слой (рис. 1), состоящий в основном из азотированного хрома, в который внедрены отдельные участки нитридов и окислов гафния.

В области таких высоких температур как 1300°C — 1400°C жаростойкость хрома, легированного гафнием, существенно ухудшается, при-

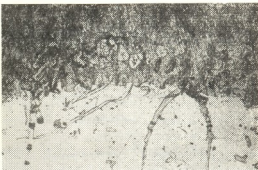


Рис. 1. Микроструктура сплава Cr+0,5% Hf, окисленного при 1200°C ($\times 100$)



чем выше предела растворимости в исследуемом концентрационном интервале она уже практически не зависит от содержания гафния и остается более менее защитной в течение одного часа, а после ее истощения формируется новая пленка, поэтому для сплавов системы Cr—Hf выше 1200°C характерны двухступенчатые кинетические кривые (рис. 2).

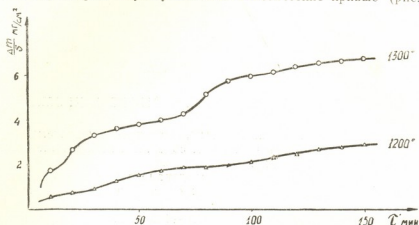


Рис. 2. Кинетика окисления сплава Ca—0,5% Hf.

При периодическом окислении сплавов хрома с гафнием было обнаружено уменьшение параметров окисления пропорционально содержанию гафния [4]. По-видимому, присутствие окислов гафния в подокалинной прослойке ослабляет последствия скальывающих термических напряжений, возникающих в процессе охлаждения, поэтому уменьшается количество осыпающейся окалины. Оптические исследования показали, что сформированная при окислении сплавов системы Cr—Hf окалина во время охлаждения растрескивается по ребрам образца, а по граням наблюдаются лишь незначительные локальные отслоения, в то время как окалина с поверхности нелегированного хрома почти целиком отслаивается.

Таблица 1
Увеличение массы образцов за 150 мин испытаний

Сплав	мг/см²			
	1100°C	1200°C	1300°C	1400°C
Cr	1,20	2,43	3,44	5,44
Cr+0,01% Hf	1,34	2,75	4,57	6,57
Cr+0,05% Hf	1,43	2,85	6,74	10,80
Cr+0,1% Hf	1,41	2,90	6,86	10,40
Cr+1,0% La	0,41	0,76	1,78	2,66
Cr+0,01% Hf+1,0% La	0,42	0,86	1,85	—
Cr+0,05% Hf+1,0% La	0,32	1,01	2,35	—
Cr+0,1% Hf+1,0% La	0,45	1,18	2,42	—
Cr+0,5% Hf+1,0% La	0,49	1,09	2,19	—

Некоторое повышение скорости окисления хрома при совместном легировании гафнием и РЗМ (см. таблицу и [4]) по сравнению с бинарными сплавами хрома с РЗМ объясняется изменением состава и свойств поверхностной окисной пленки, образующейся в процессе окисления этих сплавов.

Как известно, при высокотемпературном окислении двойных сплавов Cr-La и Cr-Y на поверхности образцов формируется легированная редкоземельными металлами пленка оксида хрома [5], обладающая высокими защитными свойствами. В окалине же тройных сплавов Cr-Hf-Y присутствие легирующих элементов не обнаруживается. Ускорение диффузионных процессов сквозь окисную пленку, а также ухудшение ее адгезионных свойств, по всей вероятности связано с отсутствием иттрия в окалине.



Рис. 3. Микроструктура сплава Cr-0,5% Ni-1,0% La, окисленного при 1200°C (<100).

При совместном легировании хрома гафнием и иттрием, так же как и в структуре двойного сплава хрома с иттрием, подокалинная прослойка не обнаруживается (рис. 3). Взамен ее образуются пограничные выделения гафния и иттрия, которые идентифицируются как самы эти элементов.

Таким образом, использование гафния в качестве легирующего элемента, с позиций жаростойкости хрома и его сплавов с редкоземельными металлами, нецелесообразно, а если такое введение необходимо по другим соображениям, следует ограничиться минимально возможным количеством гафния.

Институт металлургии АН ГССР им. 50-летия СССР

Поступило 18.V.1978

3. ՏԵՐԱՊԵԴԻ 6. ԳՈՐԾՎԱՅՐԸ

კავშირის გაცლენა კონაის მუზეუმის მიერ

Digitized by srujanika@gmail.com

შესწავლითა ჰაფნიუმით ლეგირების გაცლენა ქრომისა და ქრომ-ლანთანის შენაღნობების კანგვის საწყისი საფეხურის მიმდინარეობაზე 1100—1400° ტემპერატურულ ინტერვალში.

დაგენილია, რომ 0,1%-მდე პათნიტის შეუვანა ქრომში პრიტუკულად არ მოქმედებს მისი უანგვის კინეტიკურზე 1100—1200°-ის ფარგლებში, მაშინ, როდესაც უფრო მაღალი ტემპერატურების პირობებში ქრომის მხურვალ-მიღებობა არსებითად უარესდება.

ქრომ-ლანთან-ჰაერიუმბის სისტემის შენაღნობები მხოლოდ დღეგობით
ასაფენად მე ჩამორჩებიან ქრომ-ლანთანის სისტემის შესაბამის შენაღნობებს,
რაც დაკავშირებულია ამ შენაღნობების უანგვის პროცესში წარმოქმნილი
ზოთაპირობო თურნის შეინარჩუნობისა და თვითსებების შეკვლასთან.

ამგვარად, ქრომისა და ქრომის ფუძის შენაღნობების ჰაფნიუმით ლეგარება მხურვალედევნობის თვალსაზრისით არ არის მიზანშეწონილი; თუ კი ასეთი ლეგირება აუცილებელია სხვა მოსაზრებით, სასურველია ჰაფნიუმის, როგორც მაღლეგირებელი ელემენტის, რაოდნობის შეზღუდვა შესაძლო მინიჭებამარტ.

EFFECT OF HAFNIUM ON CHROMIUM HEAT RESISTANCE

Summary

The effect of addition of small amounts (0.03—0.5%) of hafnium on kinetics and the mechanism of undoped and doped RSE of chromium has been studied in this work in the temperature range from 1100 to 1400°C.

In the temperature range from 1100 to 1200°C hafnium slightly influences chromium oxidation. Some neutralization of harmful influence of admixed carbon is compensated by nitriding and a fragile subscale layer appears in the structure of oxidized alloys, consisting of nitrated Cr and nitrides. At a higher temperature (1300—1400°C) the heat resistance of Cr-Hf alloys considerably decreases and higher than the solubility limit it practically does not depend on hafnium content. Two step kinetic curves are characteristic of these conditions of oxidation.

When alloys Cr-Hf-La are oxidized an increase of the oxidation rate is observed in comparison with Cr-La binary alloys. It is related to a change of the composition and properties of the surface oxide film. The absence of doping elements in it causes an increase of diffusion processes and deterioration of scale adhesive properties and that strongly affects its protective properties.

It should be considered that from the point of view of heat resistance it is not expedient to use hafnium as a doping element and if its introduction is required due to some other reasons, it is necessary to use it in minimum amounts.

СПИСОК СОЧИГА — ЛИТЕРАТУРА — REFERENCES

1. Симс Ч., Хагель В. Жаропрочные сплавы, М., «Металлургия», 1976.
 2. Захаров М. В., Захаров А. М. Жаропрочные сплавы, М., «Металлургия», 1972.
 3. Ракицкий А. Н., Трефилов В. И. Сб. Металлофизика, вып. 50, «Наукова думка», Киев, 1974.
 4. Тавадзе Ф. Н., Микадзе О. И., Ракицкий А. Н., Домуховский В. П., Кешелава Н. П. Сообщения АН ГССР, т. 83, 2 (1976).
 5. Тавадзе Ф. Н., Микадзе О. И. Изв. АН ГССР, сер. химическая, т. 1, 1 (1975).
-

ТЕХНОЛОГИЯ

УДК 66.074.395.66.0973

В. Ш. БАХТАДЗЕ, Ц. З. ГИГИЛАШВИЛИ, Ц. Ш. САГАРЕШВИЛИ,
Л. П. ГУЛУА

КАТАЛИТИЧЕСКАЯ ОЧИСТКА ГАЗОВ ОТ ЦИАНИСТОГО ВОДОРОДА

Среди вредных выбросов химических предприятий особо токсичным является цианистый водород, содержащийся в выхлопных газах цеха циансолей в количестве от 0,6 до 30 мг/л. Отходящие газы в объеме 12—18 тысяч $\text{м}^3/\text{ч}$ поступают в атмосферу без предварительной очистки от цианистого водорода.

Одним из методов очистки абсорбционного газа цеха циансолей от цианистого водорода является поглощение его щелочью, но на практике осуществление такого процесса связано с трудностями.

Известен ряд способов каталитической очистки газовых смесей от цианистого водорода. Используемая в качестве катализатора окись железа на керамическом носителе [1] обеспечивает полную очистку газа от HCN при применении высококалорийного топлива для устойчивого горения смеси. Удаление цианистого водорода из смеси водорода и сероводорода осуществляется катализатором, содержащим окиси никеля, урана и тория, осаждение на γ -окиси алюминия [2]. Данный катализатор отличается дороговизной.

Таблица 1
Результаты опытов очистки абсорбционных газов от цианистого водорода на разных катализаторах

Наименование катализатора	Температура, $^{\circ}\text{C}$	Объемная скорость, ч^{-1}	Время восстановления, час	Средняя концентрация HCN за проксесс, $\text{мг}/\text{м}^3$	Срок работы катализатора до проскока цианистого водорода (часы)
Никельхромовый	200	1600	6	2,8	1200
Никельхромалюминиевый (TO)	200	1600	10	4,2	520

*) Проскоком считается показание индикатора с точностью 0,005 мг/л

Известен также метод разрушения HCN каталитическим горением [3], по которому происходит сжигание цианистого водорода до двуокиси углерода, азота и воды. Способ каталитической очистки газов от цианистого водорода основан на применении хромникелевого катализатора, отработанного в процессе деструктивного гидрирования гомологов метана [4]. Процесс ведется при температуре 250—450 $^{\circ}\text{C}$ и объемной скорости 1200—1400 ч^{-1} . При этом достигается полное уда-



ление цианистого водорода из выбросных газов, но продолжительность работы катализатора невелика (20 часов).

С целью подбора более активного и долгодействующего катализатора для очистки отходящих газов от цианистого водорода нами проводились лабораторные исследования, результаты которых приведены ниже. Опыты по испытанию катализаторов проводились на лабораторной проточной установке (рис. 1).

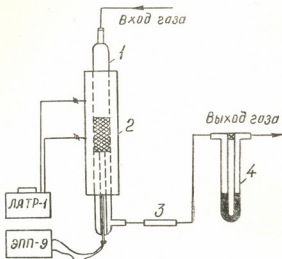


Рис. 1. Схема лабораторной проточной установки: 1 — реактор; 2 — электропечь; 3 — индикаторная трубка; 4 — реометр

Катализатор в количестве 20 мл помещался в реактор (1) из кварцевого стекла с диаметром 25 мм. Снаружи реактор обогревался электропечью (2), регулируемой лабораторным автотрансформатором ЛАТР-1. Температура в реакторе контролировалась хромель-алюмелевой термопарой и фиксировалась потенциометром ЭПП-9. Расход газа после реактора измерялся реометром (4).

Содержание HCN в газе до реактора определялось титриметрическим методом [5], а после реактора — индикаторной трубкой (3) до проскака с точностью 0,005 мг/л. Анализы на содержание в газе двуокиси углерода, кислорода, окиси углерода, водорода, метана и азота до и после реактора проводились на аппарате ВТИ-2 и на хроматографе ЛХМ-8МД.

Катализатор предварительно восстанавливали в токе водорода при температуре 250°C в течение 6 часов. На лабораторной установке были испытаны промышленный никельхромовый катализатор, марганцевый шлам из цеха перманганата калия Pd/Al₂O₃ с содержанием Pd — 0,2%, природные цеолиты Чиятурского месторождения, никельхромалюминиевый катализатор (ТО) [6] с содержанием никеля до 28 вес.%.

Наиболее активными из испытанных катализаторов оказались промышленный никельхромовый и никельхромалюминиевый катализаторы, на которых полная очистка абсорбционных газов от цианистого водорода достигается в широком интервале температур от 50 до 450°C. Максимальная продолжительность работы этих катализаторов при разных объемных скоростях газа достигается в интервале температур 190—210°C (рис. 2). Изменение объемной скорости от 1400 до 2000 ч⁻¹ (кривые А, В, С, и а, в, с) незначительно влияет на продолжительность



эффективной работы катализаторов, а увеличение объемной скорости до 3200 ч^{-1} (кривые D и d) приводит к резкому ее сокращению.

По данным таблицы 1 продолжительность работы никельхромового и никельхромалюминиевого катализаторов в оптимальных условиях $t=200^\circ \text{C}$ и $w=1400-1600 \text{ ч}^{-1}$ составляет 1200 и 500 часов соответственно.

Регенерация отработанных катализаторов проводится в токе водорода при температуре 250°C .

Продолжительность работы остальных катализаторов, образцы которых изучались в лабораторных условиях, не превышает 5 часов. Поэтому их дальнейшее исследование не представляет практического интереса.

В таблице 2 приведены результаты испытания катализатора ТО в процессе очистки абсорбционных газов при температуре 200°C и объемной скорости 1600 ч^{-1} . В очищеннем газе отсутствуют цианистый водород, кислород и окись углерода. Содержание водорода уменьшается от 10,5-16 до 1,5-2,7% (объемных). Одновременно наблюдается значительное увеличение содержания двуокиси углерода, метана и аммиака.

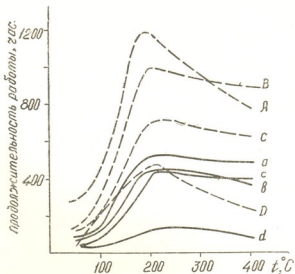


Рис. 2. Зависимость продолжительности работы никельхромового (A, B, C, D) и никельхромалюминиевого (a, b, c, d) катализаторов от температуры при разных объемных скоростях газа: A, a — 1400 ч^{-1} , B, b — 1600 ч^{-1} , C, c — 2000 ч^{-1} , D, d — 3000 ч^{-1}

Испытание никельхромалюминиевого катализатора (ТО) на лабораторной установке в процессе очистки абсорбционного газа от цианистого водорода ($w=1600 \text{ ч}^{-1}$, $T=200^\circ \text{C}$)

Состав газа, об.%

На входе в реактор							На выходе из реактора								
HCN мг/л	NH ₃	CO ₂	O ₂	CO	H ₂	CH ₄	N ₂	HCN мг/л	NH ₃	CO ₂	O ₂	CO	H ₂	CH ₄	N ₂
0,708	0,118	0,3	0,3	4,2	16	1,2	78	0	0,11	2,7	0	0	1,5	4,7	91,0
3,51	0,118	0,5	1,0	6,0	19,0	1,5	72	0,027	0,033	2,0	0	0	2,7	3,5	91,7
121,4	0,118	0,7	0,7	6,4	14,9	0,35	76,95	0	0,452	9,2	0	0	2,6	4,7	90,0
2,97	0,071	0,5	0,8	5,7	12,5	1,1	75,1	0	0,09	1,7	0	0	2,2	3,8	92,2
1,04	0,097	0,8	0,8	6,1	10,5	0,9	86,0	0	0,11	2,0	0	0	1,6	3,0	92,3

Наиболее вероятным механизмом процесса должно быть гидрирование окиси углерода до метана и частичное окисление до двуокиси углерода. Кроме того, происходит восстановление цианистого водорода до аммиака и метана.

С целью более точного выяснения химизма процесса, протекающего при каталитической очистке многокомпонентной газовой смеси от



цианистого водорода, проводились дополнительные опыты на чистых газовых смесях: $\text{Ar} + \text{HCN}$ и $\text{N}_2 + \text{H}_2 + \text{HCN}$.

Для получения смеси газов с цианистым водородом аргон или азотводородная смесь пропускалась через дрекель с цианистым водородом, погруженным в кристаллизатор со льдом. Как показали опыты, в инертном газе не происходит сколько-нибудь заметного превращения цианистого водорода, а в смеси с водородом он полностью превращается в аммиак и метан.

Известно [6], что при низких температурах ($40-80^\circ\text{C}$) легко идет реакция образования карбонила никеля — $\text{Ni}(\text{CO})_4$. Способность никелевых катализаторов образовывать с CO летучие карбонильные соединения может привести к потере активного компонента. Химические анализы отработанного катализатора показали уменьшение содержания никеля от 20 до 50%.

Согласно результатам проведенных опытов, полная очистка абсорбционных газов от цианистого водорода с образованием метана, аммиака и двуокиси углерода достигается при температуре 200°C .

Центральная заводская лаборатория
Руставского химического завода

Поступило 9.4.1979

В. БАКТАДЗЕ, Г. ГИГИЛАШВИЛИ, Т. САГАРЕИШВИЛИ, Л. ГУЛУА

Актуальна проблема очистки газов от цианистого водорода

რეზიუმე

ჩატარებულია თირთა ნარევის გაწმენდა ლაბორატორიულ დანადგარზე სამრეწველო ნიკელქრომისა და ნიკელქრომალუმინის კატალიზატორებზე. დადგენილია, რომ ციანწყალბადის სრული გარდაქმნა მიიღწევა ტემპერატურის ფართო ინტერვალში 50°C -დან 450°C -მდე სხვადასხვა მოცულობითი სიჩქარეების 1200—3000 სთ⁻¹ პირობებში. ნაჩვენებია, რომ ოპტიმალური რეაქციის დროს $190-210^\circ\text{C}$ -ზე და თირთა 1400—1600 სთ⁻¹ მოცულობით სიჩქარისას მუშაობის ხანგრძლივობანი არის ნიკელქრომის კატალიზატორისათვის 1200 სთ ხოლო ნიკელქრომალუმინის კატალიზატორისათვის 500 სთ. დადგენილია, რომ ციანწყალბადის გარდაქმნის პროცესში მეთანი, ამნიაკი და ნახშირორეანგი. ნაჩვენებია, რომ აღნიშნული კატალიზატორები ექვემდებარებიან რევენერაციას წყალბადის ნაკადით 250°C ტემპერატურის პირობებში.

V. SH. BAKHTADZE, TS. Z. GIGILASHVILI, TS. SH. SAGAREISHVILI, L. P. GULUA

CATALYTIC PURIFICATION OF GASES FROM CYAN HYDROGEN

S u m m a r y

A laboratory flow through unit was used for experiments on purification of gas mixtures from cyan hydrogen with commercial and nickel+chromium+aluminium catalysts. It was found that a complete conversion of cyan hydrogen is reached over a wide range of temperatures from 50° to 450°C and at different gas bulk speed 1200—3000 hour⁻¹.



It was shown that in the optimum regime 190—210°C and the gas hourly space speed 1400—1600 h⁻¹ the duration of the operation for the studied catalysts was 1200 and 500 hours, respectively.

It was established that the products of cyan hydrogen conversion were methane, ammonia and carbon dioxide. It was shown that the above mentioned catalysts were regenerated in the hydrogen flow at temperature of 250°C.

ЛІТЕРАТУРА — REFERENCES

1. Алексеев А. А., Степ Н. Я., Писаревский М. Х., Менкин Б. М., Алексеева Н. Г. Авт. свид. № 170476 «Бюлл. изобр. и тов. знаков», № 9, 1965.
2. Патент Великобритании по М. кл ВОI. № 1406802.
3. Destruction de HCV par combustion catalytique „Informes chim.“, № 125, 135 (Франция) 1973.
4. Табагари Ц. Ш., Конощенко Г. Т., Ротенберг М. В. Авт. свид. № 439302 «Бюлл. изобр. и тов. знаков», № 30, 1974.
5. Аналитический контроль производства в азотной промышленности, 13, М., Госхимиздат, 130, 1962.
6. Обзорная информация. Серия: «Азотная промышленность. Катализаторы азотной промышленности», М., НИИТЭИ, 58, 61, 1974.

УДК 669.893

А. Ш. АВАЛИАНИ, Л. Н. ШУЛАЯ, В. Ю. МИНДИН

ПОЛУЧЕНИЕ БАРИЯ ДИСТИЛЛЯЦИЕЙ СПЛАВА AI—Cu—Ba

Практика электровакуумной техники показала перспективность использования бария в качестве геттерного материала [1—3]. Однако трудности получения чистого металлического бария ограничивают эти возможности.

В связи с этим определенный интерес представляет дистилляция бария из сплава Al—Cu—Ba, полученного электролизом расплавов на

жидком медно-алюминиевом катоде [4]. Были изучены возможности и условия отгонки бария из сплава.

Схема дистилляционной установки показана на рис. 1. Аппарат представляет собой сосуд цилиндрической формы из нержавеющей стали марки 1Х18Н9Т. Снаружи реторты в верхней ее части имеется охлаждаемая водой рубашка, внутри помещается холодильник, вокруг которого прокладывается медная фольга в зоне холодильника.

Было исследовано влияние на процесс дистилляции сплава Al—Cu—Ba основных факторов — продолжительности опыта, температуры процесса и толщины слоя сплава.

Влияние продолжительности дистилляции. Так как в процессе отгонки бария из сплава его содержание непрерывно уменьшается, то можно предположить пропорциональность скорости отгонки бария его содержанию в сплаве.

Это условие приводит к следующему уравнению:

$$C_{\text{Ba}} = C_{\text{Ba}}^0 \exp(-K\tau) \quad (1)$$

где C_{Ba} — текущая концентрация бария, C_{Ba}^0 — начальная концентрация бария, K — постоянная.

Если указанная закономерность соответствует действительности, то в координатах $\lg C_{\text{Ba}} - \tau$ экспериментальные точки табл. I должны удовлетворительно лежать на прямую линию, что и имеет место в действительности (рис. 2). Расчет константы скорости процесса при-

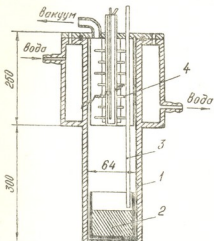


Рис. 1. Схема установки для получения металлического бария: 1 — корпус, 2 — сплав, 3 — термопара, 4 — конденсатор

тонки бария из сплава его содержание непрерывно уменьшается, то можно предположить пропорциональность скорости отгонки бария его содержанию в сплаве.

Это условие приводит к следующему уравнению:

$$C_{\text{Ba}} = C_{\text{Ba}}^0 \exp(-K\tau) \quad (1)$$

где C_{Ba} — текущая концентрация бария, C_{Ba}^0 — начальная концентрация бария, K — постоянная.

Если указанная закономерность соответствует действительности, то в координатах $\lg C_{\text{Ba}} - \tau$ экспериментальные точки табл. I должны удовлетворительно лежать на прямую линию, что и имеет место в действительности (рис. 2). Расчет константы скорости процесса при-



водит к величине $K=0,17$ час⁻¹. Полученное значение является сравнительно низким, что обусловлено малой активностью бария в сплаве.

Таблица 1

Зависимость скорости испарения от продолжительности процесса.

Условия опыта: $t=1100^\circ\text{C}$, масса сплава—200 г

Длительность процесса, ч	Скорость испарения, г/см ² мин	Чистота бария, масс. %	Примеси, масс. %	
			Al	K
2	0,0064	98,6	0,26	—
4	0,004	98,06	0,53	0,015
5	0,0034	97,4	0,81	0,027
6	0,0031	97,0	0,91	0,003

Влияние температуры. Определение зависимости скорости отгонки бария из тройного сплава от температуры позволяет не только более четко судить о характере процессов, протекающих при отгонке бария, но имеет существенное значение для практических целей. Полученные результаты сведены в табл. 2.

Таблица 2

Зависимость выхода бария от температуры. Условия опыта: длительность опыта—4 ч, масса сплава—200 г

Температура дистилляции, $^\circ\text{C}$	Скорость испарения, г/см ² мин	Выход бария, %	Чистота получ. бария, %	Примеси, масс. %	
				Al	K
1000	0,00136	17,5	97,0	0,33	0,03
1050	0,0023	33,5	97,8	0,37	0,037
1100	0,0040	50,0	97,2	0,51	0,01
1150	0,0052	60,0	96,8	0,86	0,038

Принимая для всех температур закономерным использование уравнения (!) для описания процесса, рассчитываем соответствующие константы скорости процесса испарения (табл. 3).

Таблица 3

Зависимость константы скорости испарения бария от температуры

Температура, $^\circ\text{C}$	1000	1050	1100	1150
Константа скорости, час ⁻¹	0,047	0,1	0,17	0,18

В координатах « $\lg K-T$ » полученные значения удовлетворительно ложатся на прямую линию (рис. 3). Вследствие этого можем рассчитать энергию активации процесса испарения бария из тройного сплава Al—Cu—Ba. Расчет дает следующее значение:

$$E=200 \text{ КДж/моль} \approx 48 \text{ ккал/моль.}$$

Влияние толщины слоя сплава. При промышленном осуществлении процесса отгонки бария из тройного сплава наиболее рационально проводить в аппаратах непрерывного действия. Как следует из экспериментальных результатов (табл. 4), скорость испарения бария для



исследованных пределов не зависит от толщины слоя сплава. Наиболее сильное влияние толщины оказывается на содержании алюминия в конденсате. Уменьшение толщины слоя сплава вызывает увеличение концентрации алюминия в конденсате при прочих равных условиях.

Следует отметить, что присутствие алюминия в сплаве не является

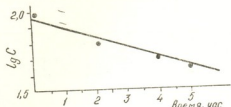


Рис. 2. Зависимость концентрации бария в сплаве от продолжительности опыта

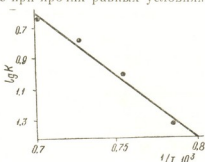


Рис. 3. Зависимость логарифма константы скорости процесса испарения бария из тройного сплава от температуры

помехой для его применения в качестве геттер-материала, т. к. практика электровакуумной техники доказала, что содержание алюминия допустимо даже до 49 масс. %:

Таблица 4

Зависимость скорости испарения бария от толщины слоя испаряемого металла.
Условия опыта: температура—1100°C, время дистилляции—4 часа.

Толщина слоя сплава, мм	Скорость испарения, г/см ² -мин	Чистота бария, масс. %	Примеси, масс. %	
			Al	K
10	0,004	96,1	0,9	0,03
15	0,0038	96,7	0,53	0,04
20	0,004	98,1	0,50	0,015
25	0,004	97,1	0,35	0,035

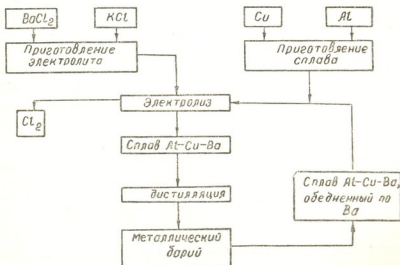


Рис. 4. Технологическая схема получения металлического бария

На основе опытов по отгонке бария из тройного сплава Al—Cu—Ba можно предложить следующую технологическую схему получения таллического бария (рис. 4).

Институт неорганической химии
и электрохимии АН ГССР

Поступило 12.IV.1978

А. АВАЛИАНИ, Л. ШУЛЯДА, В. МИНДИН

РАБОТА ОБОЗНАЧЕНИЕ АЛЮМИНИЯ И ДИСТИЛЛАЦИИ

Резюме

Зависимость бария из сплава Al—Cu—Ba-й с алюминием и медью в расплавленном состоянии на жидкой медно-алюминиевой катоде определена. Установлено, что при температуре 1100°С и времени выщелачивания 10—100 секунд, в результате дистилляции из сплава Al—Cu—Ba-й с алюминием и медью в расплавленном состоянии на жидкой медно-алюминиевой катоде определена.

Установлено, что при температуре 1100°С и времени выщелачивания 10—100 секунд, в результате дистилляции из сплава Al—Cu—Ba-й с алюминием и медью в расплавленном состоянии на жидкой медно-алюминиевой катоде определена.

Для определения концентрации бария в сплаве Al—Cu—Ba-й с алюминием и медью в расплавленном состоянии на жидкой медно-алюминиевой катоде определена. Установлено, что при температуре 1100°С и времени выщелачивания 10—100 секунд, в результате дистилляции из сплава Al—Cu—Ba-й с алюминием и медью в расплавленном состоянии на жидкой медно-алюминиевой катоде определена.

Установлено, что при температуре 1100°С и времени выщелачивания 10—100 секунд, в результате дистилляции из сплава Al—Cu—Ba-й с алюминием и медью в расплавленном состоянии на жидкой медно-алюминиевой катоде определена.

A. SH. AVALIANI, L. N. SHULAYA, V. Yu. MINDIN

BARIUM OBTAINING BY DISTILLATION OF THE ALLOY Al—Cu—Ba

Summary

Distillation of barium from a triple alloy Al—Cu—Ba, obtained by electrolysis of melts on a liquid copper-aluminium cathode, has been studied.

The effect of the experiment duration, process temperature and the thickness of the melt Al—Cu—Ba on the rate of barium removal from it have been investigated.

It is shown that relatively low rate of barium removal is caused by a decrease of its activity in the alloy due to its interaction with the alloy components. The activation energy of the process of barium evaporation from the triple alloy is determined (It is about 48kcal/mol).



The method was developed for obtaining raw material for metallic barium getter material with the purity of 98% by distillation of copper-aluminum-barium alloys. The optimum temperature of distillation is 1100°C at the residual pressure 10^{-2} — 10^{-3} mm of Hg.

ЛІТЕРАТУРА — REFERENCES

1. Основы металлургии. Изд-во литературы по черной и цветной металлургии, М., т. III, 1963, 484.
 2. Morrison I., Zetterstrom R. B. J. App. physica, 26(4), (1955).
 3. Иванов А. А. Электровакуумная технология. Госхимиздат, М.-Л. 1944.
 4. Авалиани А. Ш., Шуляя Л. Н. Сообщения АН ГССР, т. 67, № 2, 349, (1972).
-

КРАТКИЕ СООБЩЕНИЯ

УДК 547.918

Т. А. ПХЕИДЗЕ, Э. М. ЛЕСЕЛИДЗЕ, Б. Л. ГРИГОЛАВА,
Э. П. КЕМЕРТЕЛИДЗЕ

ВЛИЯНИЕ УСЛОВИЙ СУШКИ НА СОДЕРЖАНИЕ ТИГОГЕНИНА В ЛИСТЬЯХ *YUCCA GLORIOSA* L.

Для синтеза стероидных гормональных препаратов предложено новое сырье — стероидный сапогенин тигогенин, получаемый из вечнозеленого растения — юкки славной. Тигогенин признан важным сырьем для синтеза почти всех групп стероидных гормонов [1, 2].

Разработана технология получения тигогенина из юкки славной [3] и разрешены вопросы возделывания растения в промышленном масштабе [4—6].

В настоящей работе описаны опыты по подбору оптимальных условий сушки листьев юкки славной.

Для опытов листья собирали с плантаций юкки славной, созданных на Тбилисском и Ширакском опытных полях лекарственных растений Института фармакохимии им. И. Г. Кутателадзе АН ГССР в 1973—75 годах.

Таблица 1

Выход тигогенина (в %) из листьев юкки славной с Тбилисского опытного поля
лекарственных растений, высушенных в различных условиях

Дата сбора листьев	Условия сушки							
	На солнце		В тени		При 37°		Высохшие на растении (отмирающие)	
	цельные листья	измельченные листья	цельные листья	измельченные листья	цельные листья	измельченные листья		
25.07.73	0,90	0,40	0,90	0,40	1,39	0,70	—	
25.07.73	0,75	0,40	0,70	0,45	1,35	0,65	1,60	
4.12.74	—	—	1,40	0,50	1,70	0,90	2,00	
28.10.74	—	—	1,60	0,85	2,15	1,15	2,00	
30.05.75	0,90	0,40	0,95	0,40	2,25	1,60	—	
4.09.75	1,65	0,80	1,60	0,90	2,30	1,55	—	
10.09.75	1,10	0,55	1,20	0,65	1,35	0,60	1,50	

Сушку листьев проводили на солнце, в тени, в термостате при 37°, в помещении (при проветривании), под навесом и под целофаном. Эксперименты ставили на цельные и измельченные листья. Исследовались также высохшие (отмирающие) на растениях листья. Образцы для проведения опытов в разных условиях брали с одного и того же растения.

Анализ проводили следующим образом: 100 г воздушно-сухих измельченных листьев предварительно экстрагировали хлороформом, за-



тем гидролизовали 4 ч серной кислотой в присутствии 5% бутилата на кипящей водяной бане в течение 3-х часов. Реакционную массу охлаждали, фильтровали, остаток промывали водой и нейтрализовали 5% раствором бикарбоната натрия, высушивали, экстрагировали петролейным эфиром, извлечения сгущали; выпавшие при этом кристаллы отфильтровывали под вакуумом, сушили и взвешивали. Выход тигогенина пересчитывали на абсолютно сухой вес сырья. По выходу продукта судили о влиянии условий сушки на содержание тигогенина в сырье [7]. Результаты сведены в табл. 1 и 2.

Таблица 2
Выход тигогенина (в %) из листьев юкки славной с Ширакского опытного поля лекарственных растений, высущенных в различных условиях

№№ растений	Дата сбора листьев	Условия сушки							
		На солнце		Под навесом		В помещении		Под целофаном	
		цельные листья	измельченные листья						
30	29.07.73	1,10	0,40	1,30	0,35	0,75	0,50	1,00	0,58
34	29.07.73	1,10	0,30	1,50	0,20	1,30	0,58	—	—
39	6.08.73	1,00	0,50	—	—	—	—	—	—

Как видно из таблиц 1 и 2, измельчение свеже-собранного сырья во всех случаях отрицательно влияет на содержание тигогенина, почти в два раза снижается его выход. В листьях, высушенных в тени и на солнце, содержание тигогенина примерно одинаково. Но при сушке сырья на солнце хорошо разрушается хлорофилл, что облегчает процесс выделения тигогенина. Во время высушивания листьев при 37° выход тигогенина значительно увеличивается. По-видимому, такая температура создает благоприятные условия для синтеза стероидов после сбора сырья. Обращает на себя внимание высокое содержание тигогенина в отмирающих листьях.

Таким образом, для производства тигогенина листья юкки славной следует сушить в неизмельченном виде на солнце. Высококондиционное сырье можно получить во время сушки при 37°. Однако рентабельность этого способа требует экономического обоснования. Для получения тигогенина могут быть также использованы высохшие на живом растении (отмирающие) листья юкки.

Институт фармакохимии
им. И. Г. Кутателадзе АН ГССР

Гоступило 28.VI.1978

О. ЧЕЧЕНДЗО, О. МАКАРОВО, В. ЗЕНОНЦУАВА, О. ДОВОРИДЗО

Члены жюри конкурса за заслуги в области фармацевтики
Ю.Г.Макаров, Ю.А.Левин, А.И.Корниенко, А.И.Лебедев

65 № 07 33

Следующее упоминание о юкке в арабской литературе встречается в 8-м веке в книге Абуль-Фадля аль-Бади, в которой описывается юкка как растение, которое используется для лечения различных заболеваний. В дальнейшем юкка становится важным источником медицинских препаратов в различных странах мира.



ნაჩვენებია მცენარის ფოთლების შრობის სხვადასხვა პირობების ზე-
ვაელენა მათში ტიგოგენინის შემცველობაზე.

იუკას ფოთლები შეგროვილი იყო საქ. სსრ მეცნიერებათა აკადემიის
ი. ქუთაოელაძის სახ. ფარმაციოქიმიის ინსტიტუტის სამკურნალო მცენარეთა
საცდელ ნაკვეთზე (თბილისი, შირაკი). მთლიანი და დაწვრილმანებული ფოთ-
ლები შრებოდა მზეზე, ჩრდილში, თერმოსტატში. მაღალკონციციური ნედლე-
ული მიიღება 37° გაშრობისას. კარგ შედეგებს იძლევა ფოთლების მზეზე გშ-
რობა. დადგენილია, რომ ტიგოგენინის მაღალი შემცველი ნედლეულის მისა-
ღებად საჭიროა მცენარის მთლიანი ფოთლების გაშრობა. დაწვრილმანებული
ფოთლების გაშრობისას, ყველა შემთხვევაში ტიგოგენინის რაოდენობა დაა-
ლოებით 50%-ით კლებულობს. თვით მცენარეზე შემხმარი ფოთლები ხასიათ-
დებიან ტიგოგენინის დიდი შემცველობით.

T. A. PKHEIDZE, E. M. LESELIDZE, B. L. GRIGOLAVA, E. P. KEMERTELIDZE INFLUENCE OF THE CONDITIONS OF DRYING ON THE CONTENT OF TIGOGENIN IN YUCCA GLORIOSA LEAVES

S u m m a r y

A new raw material is proposed for the synthesis of steroid hormonal preparations, it is sapogenin tigogenin obtained from *yucca gloriosa* leaves.

The results of drying leaves under different conditions are given in the paper and the influence of these conditions on the quantitative content of tigogenin.

The raw material was collected on the experimental areas of the Institute of Pharmacological in Shiraki and Tbilisi. Drying of whole leaves and ground ones was conducted in the sun, in shade and in a thermostat at 37° .

The carried out experiments have shown that the content of tigogenin in leaves dried in the sun and in shade is approximately the same, while at drying at 37° the yield of tigogenin is considerably increased, since favourable conditions for the synthesis of steroids are created. Grinding of raw material in all cases of drying negatively influences the content of tigogenin, its yield becomes almost twice smaller.

It is established that leaves dried on the living plant (dying off leaves) *yucca gloriosa* can be used for tigogenin obtaining since they have high content of tigogenin.

ლიტერატურა — ЛИТЕРАТУРА — REFERENCES

1. Кемертелидзе Э. П., Пхейдзе Т. А. Химико-фармацевтический журнал, 6, 12, 44—47 (1972).
2. Меньшова Н. И., Сорокина Н. П., Гриненко Г. С., Суворов Н. Н., Гуревич Ю. В., Кемертелидзе Э. П., Пхейдзе Т. А. Химико-фармацевтический журнал, 8, 7, 15—17 (1974).
3. Кемертелидзе Э. П., Пхейдзе Т. А., Каражадзе М. Г., Бочоришвили Б. С. Сообщения АН ГССР, 66, 3, 605—608 (1972).
4. Джорбенадзе А. М., Штромберг А. Я., Какулия Д. В. Сообщения АН ГССР, 54, 2, 365—368 (1969).
5. Штромберг А. Я., Джорбенадзе А. М. Растительные ресурсы, 6в, 1, 97—103 (1970).
6. Пхейдзе Т. А., Кереселидзе Е. В., Кемертелидзе Э. П. В сб. Биологически активные вещества флоры Грузии, «Мечниреба», Тбилиси, 1976, 35—43.
7. Пхейдзе Т. А., Мадаева О. С. ХПС, 6, 355—357 (1968).

УДК 541.14

А. В. ДОЛИДЗЕ, М. В. КОДАНАШВИЛИ, Х. И. АРЕШИДЗЕ

О ПОЛУЧЕНИИ 1,2-ДИМЕТИЛЦИКЛОБУТЕНА

Изучение превращений циклобутеновых углеводородов интересно вследствие возможности получения ценной информации о свойствах этих сравнительно мало изученных соединений, а также выяснения механизма ряда практически важных процессов, в частности, диспропорционирования олефинов [1—3].

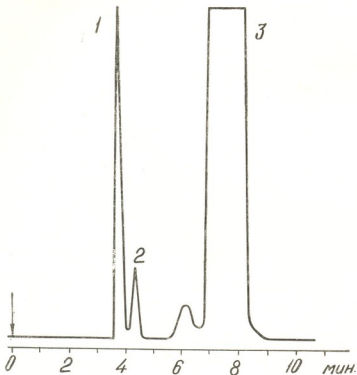


Рис. 1. Примерная хроматограмма реакционной смеси после облучения. 1. 1,2-диметилциклообутен, 2. 2,3-диметилбутадиен-1,3, 3. н. октан

Перспективным методом получения циклобутеновых углеводородов является их фотохимический синтез из соответствующих диенов [4]. Для наших дальнейших исследований наиболее интересным объектом представляется 1,2-диметилциклообутен, получению которого посвящено настоящее сообщение.

Препаративное получение 1,2-диметилциклогексана проводили в реакторе из оптического кварца с центральным расположением ртутно-кварцевой лампы ПРК-2, которая интенсивно охлаждалась водой. В реакторе было два отвода — один для обратного холодильника, другой — для отбора проб специальным шприцем. Полезный объем реактора составлял 0,6 литра. В качестве растворителя был использован н-октан, в отличие от предыдущих авторов [5, 6], применивших пентан, эфир и др. В реактор загружали 1—2% раствор 2,3-диметилбутадиена-1,3, чистота которого определялась хроматографически. Исходный диен получали из пинакона бромистоводородной кислотой, а пинакон — из пинаконгидрата по известным методикам [7].

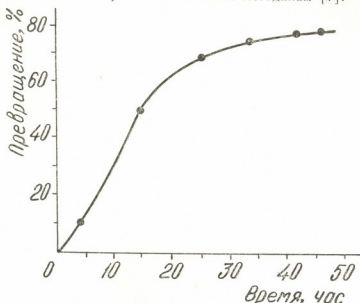


Рис. 2. Зависимость образования 1,2-диметилциклогексана из 2,3-диметилбутадиена-1,3 от продолжительности облучения

Реакцию проводили в атмосфере инертного газа. За ходом реакции следили по данным ГЖХ. Использовались набивные колонки длиной 3 метра, диаметром 3 мм. В качестве неподвижной фазы применялся дибутират триэтиленгликоля на хроматоне N—AW—HMDS. Одна из хроматограмм приведена на рис. 1.

Изучена зависимость образования 1,2-диметилциклогексана от продолжительности облучения диена (см. рис. 2). Данные рис. 2 показывают, что после 40-часового облучения степень превращения диена в 1,2-диметилциклогексан достигала ~ 80%.

Таким образом, при применении более высококипящего растворителя — н-октана достигнуты сравнимые с другими исследованиями результаты. Отделение же целевого продукта от ранее предложенных более низкокипящих растворителей связано с большими потерями, чем при использовании в качестве растворителя предложенного нами н-октана.

Институт физической и органической
химии им. П. Г. Меликишвили АН ГССР

Поступило 27.11.1979

რეზიუმე

ფოტოქიმიური სინთეზის მეთოდით 2,3-დიმეთილბუტადიენ-1,3-დან მიღებულია 1,2-დიმეთილციკლობუტენი. რეაქციის მსვლელობა მოწმდებოდა აირ-თხევადი ქრომატოგრაფიის მეთოდით. ნაჩვენებია, რომ 40-სათიანი დასხელების შემდეგ დიენის სამიზნო პროცესტად გარდაქმნის ხარისხი აღწევს 80%. ნაცვლად ადრე მოწოდებულისა, გამხსნელად გამოყენებულია ნ-ოქტანი.

A. V. DOLIDZE, M. V. KODANASHVILI, KH. I. ARESHIDZE

ON OBTAINING OF 1,2-DIMETHYLCYCLOBUTENE

Summary

1,2-dimethylcyclobutene has been obtained from 2,3-dimethylbutadiene using the method of photochemical synthesis. The course of the reaction was followed using GLCh. It is shown that after 40-hour irradiation the degree of diene conversion into the purpose product reaches 80%. A solvent with a high boiling point, n-octane, is proposed instead of previously used solvents.

ლიტერატურა — REFERENCES

1. Mol J. C., Monlijn J. A., Boelhouwer C. J. Catalysis, **11**, 87 (1968).
2. Crain D. L. J. Catalysis, **13**, 110 (1969).
3. Mol J. C., Visser F. R., Boelhouwer C. J. Catalysis, **17**, 114 (1970).
4. Srinivasan R. J. Am. Chem. Soc., **84**, 4141 (1962).
5. Saltiel J., Coates R. M., Dauben W. G. J. Am. Chem. Soc., **88**, 2475 (1966).
6. Cromley K. J. Tetrahedron, **21**, 1001 (1965).
7. Сб. Синтезы органических препаратов, Изд. ИЛ, М., т. 3, 187 (1952).

УДК 661.871.16

Л. И. БАЦАНАДЗЕ, Э. Э. САРДЖВЕЛАДЗЕ, Л. Д. ДОЛИДЗЕ

ВЛИЯНИЕ ИОНОВ КАЛИЯ НА КАЧЕСТВО ЭЛЕКТРОЛИТИЧЕСКОЙ ДВУОКИСИ МАРГАНЦА

При приготовлении электролита для производства электролитической двуокиси марганца (ЭДМ) выщелачиванием руды раствором серной кислоты или отработанным электролитом в раствор наряду с другими примесями ионов металлов переходят в ионы-калия, наличие которых оказывает влияние на электрохимические свойства ЭДМ-2 [1, 2].

Очистка раствора от примесей калия значительно затруднена, а в зависимости от состава руды и числа корректировок отработанного электролита концентрация этого элемента в электролите будет увеличиваться.

В данной работе исследовано влияние ионов калия на процесс получения двуокиси марганца и на качество продукта. Во всех опытах плотность анодного тока составляла 100 А/м², температура электролита 95—98°. Анодами служили титановые стержни, катодами — графитовые.

С целью установления влияния концентрации ионов калия на показатели процесса и качество осадка, в подкисленный раствор сульфата марганца ($MnSO_4$ — 110—120 г/л, H_2SO_4 — 20 г/л) перед электролизом добавлялось от 1,5 г/л до 50 г/л сульфата калия.

Таблица 1
Влияние ионов калия на показатели электролиза и состав осадка

Концентрация K_2SO_4 в электролите, г/л		Напря- жение на вание, В	Выход MnO_2 по току, %	Состав осадка, %			Модифи- кация
до опыта	после опыта			Мп общ.	MnO_2	К	
1,5	1,2	2,1	94,0	59,45	89,2	0,20	7
2,5	2,2	"	92,5	59,0	88,3	0,24	"
3,5	3,0	"	92,0	59,0	87,8	0,31	"
5,0	4,0	"	92,5	58,5	88,5	0,34	"
10,0	8,6	"	91,5	59,0	87,8	0,60	"
15,0	12,0	"	90,2	59,1	86,6	0,63	"
20,0	14,7	"	89,4	58,5	86,3	0,67	"
25,0	19,5	"	89,2	58,3	87,0	0,67	"
50,0	34,6	"	88,4	58,5	85,7	0,74	7+α прим

Оказалось, что при получении ЭДМ-2 сульфат калия не оказывает существенного влияния в пределах добавляемых концентраций на показатели процесса (напряжение, выход по току) (табл. 1).

Анализы проб растворов до и после опыта (табл. 1) показали, что концентрация сульфата калия в растворе электролита в процессе элек-

тролиза уменьшилась, что отчасти вызвано переходом калия в анодный осадок. После промывки последнего содержание сульфата калия в продукте уменьшается.

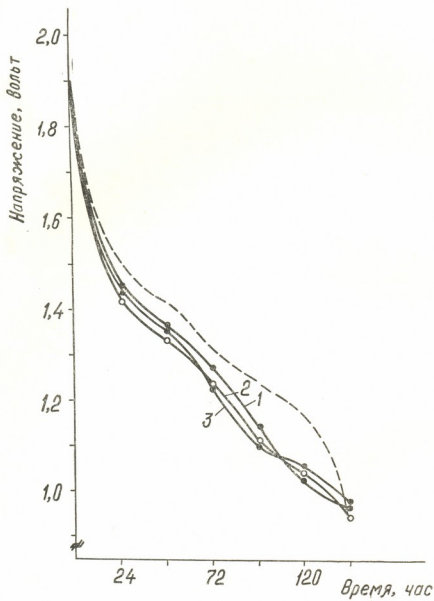


Рис. 1. Кривые разряда элементов 336 на 117 Ом. ---- ЭДМ, полученная из чистого электролита. 1 — ЭДМ, полученная из электролита, содержащего K_2SO_4 — 5 г/л. 2 — ЭДМ, полученная из электролита, содержащего K_2SO_4 — 25 г/л. 3 — ЭДМ, полученная из электролита, содержащего K_2SO_4 — 50 г/л

Как показал рентгенографический анализ, структура двуокиси марганца, полученной из растворов, содержащих сульфат калия в количестве от 1,5 г/л до 25 г/л, представляет собой γ -модификацию, и лишь при концентрации 50 г/л K_2SO_4 появляются примеси α -модификации.



Результаты испытания элементов МЦ-336 при разряде на постоянное внешнее сопротивление 117 Ом приведены на рис. 1.

Как видно из этого рисунка, с увеличением содержания ионов калия в осадке емкость элементов уменьшается, хотя и соответствует требованиям ТУ на ЭДМ-2.

Институт неорганической химии
и электрохимии АН ГССР

Поступило 26.VI.1978

Л. БАТСАНАДЗЕ, Е. САРДЖВЕЛАДЗЕ, Л. ДОЛИДЗЕ

Кафедра физической химии и технологии материалов Университета Тбилиси

Л. БАТСАНАДЗЕ

Фактически, при получении осадка из электролита, содержащего ионы калия, количество осажденного марганца уменьшается. При этом концентрация ионов калия в осадке остается постоянной, равной 0,74%.

При получении осадка из электролита, содержащего ионы калия, количество осажденного марганца уменьшается. При этом концентрация ионов калия в осадке остается постоянной, равной 0,74%, а при получении осадка из электролита, не содержащего ионов калия, количество осажденного марганца уменьшается.

L. I. BATSANADZE, E. E. SARDZHVELADZE, L. D. DOLIDZE

INFLUENCE OF POTASSIUM IONS ON THE QUALITY OF ELECTROLYTIC MANGANESE DIOXIDE

Summary

It is established that while obtaining electrolytic manganese dioxide potassium ions present in electrolyte affect the amount of the precipitate. With an increase of the concentration of potassium ions in electrolyte, its amount in the precipitate increases. The products obtained from the electrolyte contains 0.74% of potassium. The roentographic analysis shows that in the product obtained under these conditions, in addition to γ -MnO₂, an admixture α -MnO₂ appears. With an increase of the content of potassium ions the electrochemical activity of the product decreases, though it corresponds to the requirements specified by the technical conditions.

ЛІТЕРАТУРА — REFERENCES

- Kosawa A., Vosburg W. S. J. Electrochemical Soc., Japan, 22, 569 (1954).
- Kosawa A., Vosburg W. S. J. Electrochemical Soc., v. 105, 2, 59 (1958).

УДК 662.7, 622.8

И. Г. ИОСАВА, К. К. ДЖАПАРИДЗЕ

ИССЛЕДОВАНИЕ СМОЛ БЕНЗОЛЬНЫХ ЭКСТРАКТОВ КЕРОГЕНОВЫХ ТЕРМОПЛАСТИФИКАТОВ

Исследование подвергались смолы экстрактов термопластифицированного до температуры максимальной пластификации (420°) керогена-70 — продукта обогащения сланцев Гдовского месторождения Ленинградской области.

Бензольные экстракти керогеновых термопластификаторов различной степени пластификации обрабатывались петролейным эфиром (т. к. к. 70°), в результате чего из экстрактов осаждались асфальтены [1, 2]. В растворе петролейного эфира оставались вещества группы масел и смол. Характеристика масел и смол экстрактов после отгонки растворителя и доведения их до постоянного веса дается в таблице 1.

Таблица 1
Характеристика масел и смол экстрактов

Температура термопластификации керогена-70, °C	Общая продолжительность времени пластификации, мин	Бензольный экстракт термопластификатора				
		Выход, %	выход из экстрактов, %	Π_D^{20}	d_4^{20}	молекулярная масса
360	45,0	1,31	61,9	1,5368	1,0171	400
380	47,5	3,50	53,6	1,5315	0,9992	366
400	50,0	9,20	45,4	1,5280	0,9911	341
420	52,5	50,60	26,1	1,5313	0,9736	341

Разделение масел и смол осуществлялось методом адсорбционной хроматографии на окиси алюминия [1]. Отношение адсорбента к разделяемому продукту составляет 10:1.

Элюирование масел из хроматографической колонки было проведено петролейным эфиром. Для десорбции смол колонка с адсорбентом промывалась бензолом, ацетоном, хлороформом и этиловым спиртом. Впоследствии эти элюаты смол одного и того же экстракта объединялись и подвергались дальнейшему исследованию.

ИК-спектры смол (см. рис. 1), снятые на приборе UR-20 в области $700-1800\text{ cm}^{-1}$, характеризуются наличием интенсивных полос алифатических структур в виде CH_2 и CH_3 (1470 cm^{-1} , 1385 cm^{-1}). При 1720 cm^{-1} наблюдается интенсивная полоса C=O группы. В длинноволновой части спектра смол ($730-900\text{ cm}^{-1}$) отчетливо видны полосы C—H замещенных и конденсированных ароматических структур.

В таблице 2 приводятся результаты исследования смол бензольных экстрактов керогеновых термопластификаторов.

Из данных таблиц 1 и 2 видно, что выход масел и смол бензольных экстрактов керогеновых термопластификаторов с повышением температуры термической обработки керогена до 420° уменьшается. Уменьшаются также молекулярная масса, коэффициент преломления и плотность масел и смол.

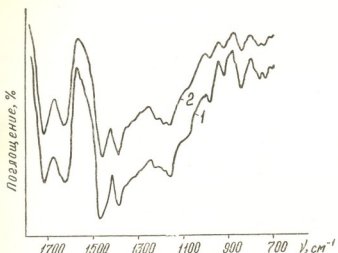


Рис. 1. ИК-спектры смол экстрактов пластификаторов, полученных: 1 — при 400°, 2 — при 420°.

Подобным же образом происходит изменение вышеуказанных показателей смол с повышением температуры термической пластификации керогена-70. В частности, выход и молекулярная масса смол уменьшаются. В отличие же от плотности масел и смол экстракта, с повышением температуры термической обработки керогена-70 плотность смол экстрактов термопластификаторов увеличивается. Увеличивается в них и процентное содержание углерода.

Характеристика смол

Таблица 2

Темп-ра термической пластификации керогена-70, °С	Выход смол из смеси масел и смол экстракта термопластификатора, %	С м о л ы						Элементный анализ, %		
		молекулярная масса	d_4^{20}	кислотное число	эфирное число	бромное число по методу Кноппа	C	H	O+N+S (по разности)	
380	63,4	386	0,9854	6,02	128	100	75,51	10,68	13,81	
400	59,5	370	0,9881	6,25	107	109	76,83	10,91	12,26	
420	58,1	348	0,9939	8,54	141	110	76,97	10,68	12,35	

Повышение n_D^{20} для последней строки табл. 1, по-видимому, вызвано высоким значением температуры и резким уменьшением выхода данной фракции, что привело к качественному изменению ее состава.



Это в определенной мере видно и по большому увеличению числа (табл. 2) для смол, количество которых заметно превышает количество масел.

Институт физической и органической химии им. П. Г. Меликишвили АН ГССР

Поступило 13.II.1979

О. ИОСАВА, К. К. ЯПАРИДЗЕ

ГАРМОНИЧЕСКАЯ ТЕХНОЛОГИЯ ИСКУССТВЕННЫХ ШАХТЕРСКИХ СМЕСЕЙ

69 № 17 39

Гаражные смолы из фракции керогена-70 (кероген-70) получены из фракции керогена-70-10 с температурой плавления 360°C. Кероген-70-10 получают из фракции керогена-70 с температурой плавления 360°C.

Наибольшие выходы смол получены при температуре плавления 360°C. Кероген-70-10 получают из фракции керогена-70 с температурой плавления 360°C. Кероген-70-10 получают из фракции керогена-70 с температурой плавления 360°C.

I. G. IOSAVA, K. K. JAPARIDZE

STUDIES OF RESINS OF BENZENE EXTRACTS OF KEROGEN THERMOPLASTICIZERS

Summary

Resins of benzene extracts thermoplasticized to the temperature of maximum plasticization (to 420°C) of kerogen-70 have been studied. Kerogen-70 is a product of shale concentration, shales are from Gdovski deposit of the Leningrad region.

It is shown that the yield and molecular mass of resins decrease with an increase of temperature at thermal treatment of kerogen, while resin density and the per-cent content of carbon in them are increased.

ЛИТЕРАТУРА — REFERENCES

1. Рыбак Б. М. Анализ нефти и нефтепродуктов. М., «Гостоптехиздат», 466, 527, 1962.
2. Корчагина Ю. И., Четверикова О. П. Методы исследования рассеянного органического вещества осадочных пород, М., Изд. «Недра», 79, 1976.

Цена 70 коп

0.187
/49

76-203
26.10.69-20
Библиотека